



جمهورية العراق
وزارة التعليم العالي والبحث العلمي
جامعة كربلاء
كلية التربية للعلوم الصرفة
قسم الكيمياء

دراسة إزالة صبغتي Methyl Red و Safranin من محاليلها المائية
بامتزازها على صخور البورسيلينات العراقية وشكلها المحور

رسالة مقدّمة إلى

مجلس كلية التربية للعلوم الصرفة - جامعة كربلاء
وهي جزء من متطلبات نيل درجة الماجستير في علوم الكيمياء

من قبل الطالب

علي حسين جفات

(بكالوريوس/ كيمياء - جامعة كربلاء - 2017)

بإشراف

أ.د. منير عبد العالي عباس الدعيمي

بِسْمِ اللَّهِ الرَّحْمَنِ الرَّحِيمِ

قَالَ رَبِّ اشْرَحْ لِي صَدْرِي [25] وَيَسِّرْ
لِي أَمْرِي [26] وَأَخْلِلْ عُقْدَةً مِنْ
لِسَانِي [27] يَفْقَهُوا قَوْلِي [28]

صدق الله العلي العظيم

"سورة طه"

الإهداء

إلى من تنتظر الخلائق طلعتة شوقاً.....
"صاحب الزمان عجل الله فرجه "

إلى صاحب القلب الكبير وصاحب الوجه النضر، وتاج الزمان ياسندي يا
أمان.....
"أبي العزيز "

إلى الزهرة التي تفتحت لتروينا بعطر صفائها الزاكي
"أمي الحنونة"

إلى من ملؤا حياتي بالبهجة والسرور حفظهم الله من كل شرور.....
"أخي وأخواتي وزوجتي وطفلي "

إلى كل من مدّ لي يد العون وساعدني لكم مني جميعا الثناء والشكر
الجزيل.....

إلى كل قطرة دم سقت نخيل الوطن فارتفع شامخاً، وكلّ روح شهيد كسرت
قيود الطواغيت، وكل يتيم غسل بدموعه جسد أبيه الموسّم بالدماء ، وكل
أم ما زالت عيناها تراقب الباب منتظرة اللقاء.....
أهدي إليهم جميعاً جهدي المتواضع

علي

شكر وتقدير

الحمد لله الذي عَمَّ بالقلم عَمَّ الانسان ما لم يعلم ، والصلاة والسلام على البشير النذير ، والمعلم الخبير خاتم الأنبياء والمرسلين محمد وعلى آله أقمار الدياجير الذين أذهب الله عنهم الرجس وطهرهم تطهيرا .

أشكر الله تعالى على فضله إذ اعانني على انجاز هذا العمل ، فله الحمد أولاً وآخراً، ثم أشكر أولئك الأخيار الذين مدّوا لي يد المساعدة طوال مدة البحث ، وفي مقدمتهم أستاذي المشرف على الرسالة الأستاذ الدكتور/ **منير عبد العالي عباس الدعي** لاقتراحه موضوع الرسالة ومتابعته المستمرة ولما بذله من جهدٍ في مساعدتي مع تمنياتي له بالنجاح الدائم والعطاء المستمر .

وأقدم بخالص شكري وتقديري إلى عمادة كلية التربية للعلوم الصرفة متمثلة بعميدها الاستاذ الدكتورة **حميدة عيدان سلمان** ورئاسة قسم الكيمياء المتمثلة برئيسها الاستاذ المساعد الدكتور **ساجد حسن كزار** لما أبدوه من مساعدة في توفير متطلبات انجاز هذه الرسالة .

وأقدم بخالص شكري وتقديري إلى الأستاذة الدكتورة **ايمان طالب كريم** في كلية العلوم لما قدمته لي من إرشادات وتوجيهات علمية ، وفقها الله لكل خير وجعل ما قدمته في ميزان اعمالها ، وأيضاً إلى الست **الاء هادي حسين** .

والى عائلتي التي لولا جهودهم المبذولة لما تمكنتُ من مواصلة الطريق. واشكر كل من ساندني، وعلمني فجزاهم الله عني كل خير

علي

إقرار المشرف

أقر بأن إعداد الرسالة الموسومة:
(دراسة إزالة صبغتي Methyl Red و Safranin من محاليلها المائية بامتزازها
على صخور البورسيلينات العراقية وشكلها المحور)
قد جرى تحت اشرافي في قسم الكيمياء /كلية التربية للعلوم الصرفة / جامعة كربلاء
وهي جزء من متطلبات نيل شهادة الماجستير في الكيمياء (الكيمياء التحليلية)

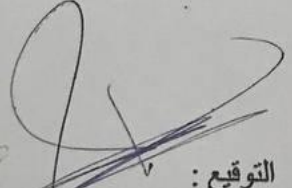
التوقيع : 

المشرف : أ.د. منير عبد العالي عباس الدعيمي

إقرار رئيس لجنة الدراسات العليا ورئيس القسم

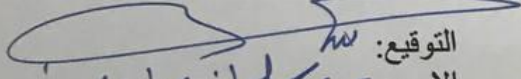
بناءً على التوصيات المقدمة من قبل السيد المشرف أشرح هذه الرسالة للمناقشة

رئيس لجنة الدراسات العليا
ورئيس قسم الكيمياء

التوقيع : 
الاسم : أ.م.د. ساجد حسن كزار
التاريخ : 2022 / 6 / 12

إقرار المقوم اسغوي

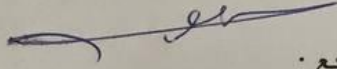
أقر بأن رسالة الماجستير الموسومة:
(دراسة إزالة صبغتي Methyl Red و Safranin من محاليلها المائية بامتزازها
على صخور البورسيلينات العراقية وشكلها المحور).
التي تقدم بها الطالب علي حسين جفات
قد جرى تقويمها لغوياً بأشرافي وهي جزء من متطلبات نيل شهادة الماجستير في
الكيمياء (الكيمياء التحليلية).

التوقيع: 
الاسم: ٢٠٢٣ سليمان صالح محمد
المرتبة العلمية: مدرس مساعدا
مكان العمل: جامعة كركوك - كلية التربية
التاريخ: ٢٠٢٢ / ١٥ / ١٥
للتعلم الإلكتروني

إقرار المقوم العلمي

أقر بأن رسالة الماجستير الموسومة :
(دراسة إزالة صبغتي Methyl Red و Safranin من محاليلها المائية بامتزازها
على صخور البورسيلينات العراقية وشكلها المحور).

التي تقدم بها الطالب علي حسين جفات
قد جرى تقويمها علميا بإشرافي وهي جزء من متطلبات نيل شهادة الماجستير في
الكيمياء (الكيمياء التحليلية).



التوقيع :

الاسم : د. زينا محمد كاظم

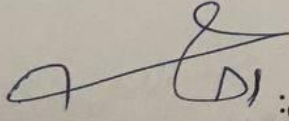
المرتبة العلمية: أستاذ

مكان العمل: جامعة القادسية / كلية العلوم

التاريخ : 2022/ /

إقرار المقوم العلمي

أقر بأن رسالة الماجستير الموسومة:
(دراسة إزالة صبغتي Methyl Red و Safranin من محاليلها المائية بامتزازها
على صخور البورسيلينات العراقية وشكلها المحور).
التي تقدم بها الطالب علي حسين جفات
قد جرى تقويمها علميا بإشرافي وهي جزء من متطلبات نيل شهادة الماجستير في
الكيمياء (الكيمياء التحليلية).



التوقيع:
الاسم : د. احمد سعدون عباس
المرتبة العلمية: أستاذ مساعد
مكان العمل: جامعة بابل / كلية العلوم
التاريخ: 2022/6/1

أقرار لجنة المناقشة

نشهد بأننا أعضاء لجنة المناقشة إطلعنا على هذه الرسالة الموسومة (دراسة إزالة صبغتي Safranin و Methyl Red من محاليلها المائية بامتزازها على صخور البورسيلينات العراقية وشكلها المحور) وقد ناقشنا الطالب علي حسين جفات ووجدناه جدير بالقبول لنيل درجة الماجستير في الكيمياء/ كيمياء تحليلية وبتقدير (ممتاز)

رئيس اللجنة



التوقيع:

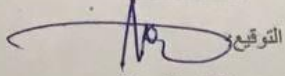
الاسم : د. قاسم كاظم محمد

المرتبة العلمية : أستاذ

العنوان : كلية الطوسي الجامعة

التاريخ: / / ٢٠٢٢

عضو اللجنة



التوقيع:

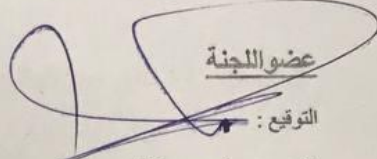
الاسم: د. قاسم خلف هاشم

المرتبة العلمية: أستاذ مساعد

العنوان: جامعة القاسم الخضراء/ كلية علوم البيئة

التاريخ: / / ٢٠٢٢

عضو اللجنة



التوقيع:

الاسم: د. ساجد حسن كزار

المرتبة العلمية: أستاذ مساعد

العنوان: جامعة كربلاء / كلية التربية للعلوم الصرفة

التاريخ: / / ٢٠٢٢

عضو اللجنة (المشرف)



التوقيع:

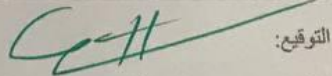
الاسم : د. منير عبد العالي عباس

المرتبة العلمية : أستاذ

العنوان : جامعة كربلاء / كلية التربية للعلوم الصرفة

التاريخ: / / ٢٠٢٢

مصادقة عمادة كلية التربية للعلوم الصرفة



التوقيع:

الاسم: د. حميدة عيدان سلمان

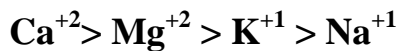
المرتبة العلمية : أستاذ

العنوان : جامعة كربلاء / كلية التربية للعلوم الصرفة

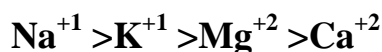
التاريخ: / / ٢٠٢٢

الخلاصة :-

تضمنت هذه الرسالة دراسة أمتزاز صبغتي Methyl Red و Safranin على سطح صخور البورسيلينات العراقية وشكلها المحور. تم معالجة صخور البورسيلينات العراقية مع الميلايين لتحضير معقد البورسيلينات-ميلايين ثم تمت عملية البلمرة للمعقد مع الفورمالديهايد لتحضير بوليمر البورسيلينات-ميلايين-فورمالديهايد (PMFP). تم تشخيص صخور البورسيلينات العراقية وشكلها المحور باستخدام تقنيات الأشعة تحت الحمراء (FT-IR)، حيود الأشعة السينية XRD وتم تعيين المظهر الخارجي باستخدام مجهر المسح الإلكتروني (SEM)، بالإضافة إلى التشخيص بمجهر القوى الذرية (AFM) للسطح. أجريت سلسلة من التجارب وتم دراسة متغيرات تجريبية عدة تضمنت :- زمن الاتزان ، وزن السطح الماز ، الدالة الحامضية pH، تأثير الشدة الأيونية ، تأثير درجة الحرارة (الايروثيرمات). أظهرت النتائج أن الاتزان يحصل لصبغة Methyl Red عند زمن اتزان 20 min ووزن السطح الماز 0.02 g وعند دالة حامضية pH=4.4 بالنسبة لصخور البورسيلينات العراقية، بينما كان زمن الاتزان 10 min ووزن السطح الماز 0.01 g وعند pH=4.4 بالنسبة للشكل المحور لصخور البورسيلينات العراقية. أما بالنسبة لصبغة Safranin أظهرت النتائج أن الاتزان يحصل عند زمن 20 min ووزن السطح الماز 0.02 g ودالة حامضية pH=8 بالنسبة لصخور البورسيلينات العراقية، بينما كان زمن الاتزان 10min ووزن السطح الماز 0.01 g عند pH=8 بالنسبة للشكل المحور لصخور البورسيلينات العراقية. أما الشدة الأيونية إذ تشير نتائج دراسة تأثير الشدة الأيونية على امتزاز صبغتي Methyl Red و Safranin على صخور البورسيلينات العراقية وشكلها المحور الى نقصان سعة الامتزاز مع زيادة الشدة الأيونية، وايضا اشارت نتائج الدراسة إلى اختلاف تأثير الأملاح المستخدمة المختلفة في الشحنة و الحجم على الصبغتين إذ نلاحظ أنه كلما يكون الايون أكبر شحنة وأكبر حجم يتداخل أكثر في الامتزاز مع صبغة Methyl Red بحسب الترتيب الآتي



حيث تكون النسبة المئوية لازالة صبغة Methyl Red مع ملح كلوريد الصوديوم أعلى من النسبة المئوية مع ملح كلوريد الكالسيوم ، بينما يكون تأثير هذه الأملاح مع صبغة Safranin على العكس تماما من صبغة Methyl Red ويكون ترتيب تأثير الايونات على النحو الآتي:



ويكون تأثير تركيز هذه الأملاح على صبغتي Methyl Red و Safranin حيث كلما كانت زيادة في تركيز الملح يقابلها نقصان في النسبة المئوية للإزالة.

تم حساب قيم الدوال الترموديناميكية وهي ($\Delta G, \Delta H, \Delta S$) من خلالها تبين أنّ عملية الامتزاز لصبغتي Methyl Red, Safranin على سطح صخور البورسيلينات العراقية وشكلها المحور هي عملية تلقائية، باعثة للحرارة ونقصان في العشوائية من خلال القيم السالبة لطاقة كبس والقيم السالبة للتغير في الانتالبي والانتروبي. تمت دراسة إزالة صبغتي Methyl Red, Safranin, على سطح صخور البورسيلينات العراقية وشكلها المحور كسطوح مازة بدرجات حرارية مختلفة (298-338K) لتعيين ايزوثيرمات الامتزاز والدوال الترموديناميكية.

تم استعمال فرضيات ايزوثيرمات لانكماير، فرنشلش وتمكن من أجل وصف ايزوثيرمات التجريبية وثوابت ايزوثيرمات، أظهرت بيانات الاتزان لصبغتي Methyl Red و Safranin بأنها تتفق بشكل جيد مع فرضية ايزوثيرم فرنشلش ولانكماير أكثر من تمكن على سطح صخور البورسيلينات العراقية وشكلها المحور. وشكل ايزوثيرم لكلا الصبغتين يأخذ شكل حرف S_4 طبقاً لتصنيف جيلز. تم مقارنة بين استخدام كلا السطحين لأمتزاز صبغتي Safranin و Methyl Red وقد وجد أن أمتزاز صبغتي Safranin و Methyl Red على السطح المحور لصخور البورسيلينات العراقية كانت أفضل من استخدام سطح صخور البورسيلينات العراقية العادية.

المحتويات

| الصفحة | العنوان | ت |
|----------------------------------|---|-------|
| I - II | الخلاصة | |
| III-V | قائمة المحتويات | |
| VI -VII | قائمة الجداول | |
| VIII-X | قائمة الاشكال | |
| XI | قائمة الرموز والمختصرات | |
| الفصل الأول /الجزء النظري | | |
| 1 | التمهيد | 1.1 |
| 2 | الامتزاز وانواع الامتزاز | 2.1 |
| 4 | الامتزاز الفيزيائي | 1.2.1 |
| 4 | الامتزاز الكيميائي | 2.2.1 |
| 8 | الامتزاز الموقعي وغير الموقعي | 3.2.1 |
| 8 | الامتزاز في المحلول | 3.1 |
| 9 | العوامل المؤثرة في عملية الامتزاز | 4.1 |
| 9 | طبيعة المادة الممتز | 1.4.1 |
| 9 | طبيعة المادة المازة | 2.4.1 |
| 9 | تركيز المادة الممتزة | 3.4.1 |
| 10 | الدالة الحامضية | 4.4.1 |
| 10 | درجة الحرارة | 5.4.1 |
| 11 | الشدة الايونية | 6.4.1 |
| 11 | المذيب و قاعدة تروبي | 7.4.1 |
| 13 | ايزوثيرمات الامتزاز | 5.1 |
| 14 | نظريات الامتزاز | 6.1 |
| 15 | معادلة لانكماير للامتزاز | 1.6.1 |
| 16 | معادلة فرنشل للامتزاز | 2.6.1 |
| 18 | معادلة تمكن للامتزاز | 3.6.1 |
| 19 | السطح الماز (صخور البورسيلينات العراقية) | 7.1 |
| 21 | التلوث بالصبغات | 8.1 |
| 22 | صبغة Methyl Red | 1.8.1 |
| 23 | صبغة Safranin | 2.8.1 |
| 24 | المسح في الأدبيات لصبغتي ال Methyl Red و Safranin | 9.1 |
| 24 | المسح في الأدبيات لصبغة Methyl Red | 1.9.1 |
| 28 | المسح في الأدبيات لصبغة Safranin | 2.9.1 |
| 34 | الهدف من الدراسة | 10.1 |

الفصل الثاني / الجزء العملي

| | | |
|----|--|---------|
| 35 | الأجهزة المستعملة | 1.2 |
| 36 | المواد الكيميائية | 2.2 |
| 36 | تحضير المحاليل القياسية لصبغتي Methyl Red , Safranin | 3.2 |
| 37 | تحضير محاليل الأملاح | 4.2 |
| 37 | تعيين الطول الموجي الأعظم ومنحني المعايرة لكل صبغة | 5.2 |
| 40 | السطح الماز | 6.2 |
| 40 | صخور البورسيلينات العراقية | 1.6.2 |
| 41 | السطح المحور | 2.6.2 |
| 41 | تحضير معقد بورسيلينات – ميلامين | 1.2.6.2 |
| 41 | تحضير بوليمر (بورسيلينات – ميلامين – فورمالديهايد) | 2.2.6.2 |
| 41 | تعيين زمن الاتزان لأنظمة الامتزاز | 7.2 |
| 42 | أيزوثيرمات الامتزاز | 8.2 |
| 43 | العوامل المؤثرة في عملية الامتزاز | 9.2 |
| 43 | تأثير وزن السطح الماز | 1.9.2 |
| 43 | تأثير الدالة الحامضية | 2.9.2 |
| 43 | تأثير الشدة الأيونية | 3.9.2 |
| 44 | تأثير درجة الحرارة | 4.9.2 |

الفصل الثالث / النتائج والمناقشة

| | | |
|----|--|--------|
| 45 | إزالة صبغتي Safranin , Methyl Red من محاليلها المائية باستعمال سطح صخور البورسيلينات العراقية | 3A |
| 45 | تشخيص صخور البورسيلينات العراقية | 1.3A |
| 45 | تشخيص طيف الأشعة تحت الحمراء | 1.1.3A |
| 46 | تشخيص حيود الأشعة السينية | 2.1.3A |
| 47 | تشخيص مجهر المسح الإلكتروني | 3.1.3A |
| 48 | تشخيص مجهر القوة الذرية | 4.1.3A |
| 48 | دراسة العوامل المؤثرة في إزالة صبغتي Safranin , Methyl Red من المحاليل المائية باستعمال صخور البورسيلينات العراقية | 2.3A |
| 49 | زمن الاتزان | 1.2.3A |
| 50 | أيزوثيرمات الامتزاز | 2.2.3A |
| 60 | تأثير وزن السطح الماز | 3.2.3A |
| 61 | تأثير الدالة الحامضية | 4.2.3A |
| 63 | تأثير الشدة الأيونية | 5.2.3A |
| 65 | تأثير درجة الحرارة | 6.2.3A |

| | | |
|----|---|--------|
| 68 | إزالة صبغتي Safranin , Methyl Red من محاليلها المائية على سطح صخور البورسيلينات العراقية المحور (بوليمر صخور البورسيلينات العراقية – ميلامين – فورمالديهايد) | 3B |
| 68 | تشخيص السطح | 1.3B |
| 68 | تشخيص طيف الأشعة تحت الحمراء | 1.1.3B |
| 69 | تشخيص حيود الأشعة السينية | 2.1.3B |
| 70 | تشخيص مجهر المسح الإلكتروني | 3.1.3B |
| 71 | تشخيص مجهر القوة الذرية | 4.1.3B |
| 72 | دراسة العوامل المؤثرة في إزالة صبغتي Safranin, Methyl Red من المحاليل المائية باستعمال صخور البورسيلينات العراقية المحورة | 2.3B |
| 72 | زمن الاتزان | 1.2.3B |
| 74 | أيزوثيرمات الامتزاز | 2.2.3B |
| 83 | تأثير وزن السطح الماز | 3.2.3B |
| 85 | تأثير الدالة الحامضية | 4.2.3B |
| 86 | تأثير الشدة الأيونية | 5.2.3B |
| 88 | تأثير درجة الحرارة | 6.2.3B |
| 90 | مقارنة بين سطح البورسيلينات العراقية وشكلها المحور (بوليمر صخور البورسيلينات العراقية - ميلامين- فورمالديهايد) في إزالة صبغتي Safranin, Methyl Red | 3.3 |
| 92 | الاستنتاجات | 4.3 |
| 92 | التوصيات | 5.3 |
| 93 | المصادر | |
| | الخلاصة باللغة الانجليزية | |

| رقم الجدول | عناوين الجداول | الصفحة |
|------------|---|--------|
| 1.1 | مقارنة بين الأمتزاز الفيزيائي والأمتزاز الكيميائي | 7 |
| 2.1 | انواع الايزوثيرمات | 14 |
| 3.1 | مقارنة بين مكونات البورسيلينات من مناطق مختلفة من العالم | 20 |
| 4.1 | تصنيف الصبغات | 21 |
| 5.1 | مسح ادبيات صبغة Methyl Red | 25 |
| 6.1 | مسح ادبيات صبغة Safranin | 29 |
| 1.2 | الأجهزة المستعملة في هذه الدراسة | 35 |
| 2.2 | بعض صفات المواد الكيميائية | 36 |
| 3.2 | التحليل الكيميائي لصخور البورسيلينات العراقية | 40 |
| 1.3A | النسب المئوية لإزالة صبغتي Safranin, Methyl Red من المحاليل المائية باستعمال سطح صخور البورسيلينات العراقية وعند أزمان مختلفة في درجة الحرارة 298K. | 50 |
| 2.3A | قيم الامتزاز لصبغتي Safranin, Methyl Red على سطح صخور البورسيلينات العراقية في درجات حرارة ضمن المدى (298K-338). | 51 |
| 3.3A | البيانات الخاصة بامتزاز صبغتي Safranin, Methyl Red على سطح صخور البورسيلينات العراقية بدرجات حرارية مختلفة على وفق تطبيق معادلة لانكماير . | 53 |
| 4.3A | البيانات الخاصة بامتزاز صبغتي Safranin, Methyl Red على سطح صخور البورسيلينات العراقية بدرجات حرارية مختلفة على وفق تطبيق معادلة فرنديش | 55 |
| 5.3A | البيانات الخاصة بامتزاز صبغتي Safranin, Methyl Red على سطح صخور البورسيلينات العراقية بدرجات حرارية مختلفة على وفق تطبيق معادلة تمكن. | 57 |
| 6.3A | قيم ثوابت لانكماير، فريندلش وتمكن ومعاملات الارتباط لامتزاز صبغتي Safranin, Methyl Red على سطح صخور البورسيلينات العراقية عند درجات حرارة مختلفة . | 59 |
| 7.3A | النسب المئوية لإزالة محاليل صبغتي Safranin, Methyl Red من المحاليل المائية باستعمال أوزان مختلفة من سطح صخور البورسيلينات العراقية وعند درجة حرارة 298K . | 61 |
| 8.3A | تأثير الدالة الحامضية في النسبة المئوية لإزالة صبغتي Safranin, Methyl Red عند درجة حرارة 298K . | 63 |
| 9.3A | تأثير الشدة الايونية في النسبة المئوية لإزالة صبغتي MethylRed عند pH=4.4 Safranin عند pH=8 عند درجة حرارة 298K. | 65 |
| 10.3A | قيم ثوابت التوازن لازالة لصبغتي Safranin, Methyl Red باستعمال سطح صخور البورسيلينات العراقية في درجات حرارة ضمن المدى (298K-338). | 67 |
| 11.3A | الدوال الترموداينمكية ΔG ، ΔH ، ΔS لازالة صبغتي Safranin , Methyl Red على سطح صخور البورسيلينات العراقية عند درجات حرارة مختلفة | 67 |

| | | |
|----|--|-------|
| 73 | النسب المئوية لإزالة صبغتي Safranin, Methyl Red من المحاليل المائية باستعمال سطح PMFP عند درجة حرارة 298K | 1.3B |
| 74 | قيم سعة الامتزاز لصبغتي Safranin, Methyl Red على سطح صخور البورسيلينات العراقية المحور PMFP ضمن درجات حرارية (338-298K) | 2.3B |
| 77 | البيانات الخاصة بامتزاز صبغتي Safranin, Methyl Red على سطح صخور البورسيلينات العراقية المحور PMFP بدرجات حرارية مختلفة بتطبيق معادلة لانكماير | 3.3B |
| 79 | البيانات الخاصة بامتزاز صبغتي Safranin, Methyl Red على سطح صخور البورسيلينات العراقية المحور PMFP بدرجات حرارية مختلفة بتطبيق معادلة فرنديش | 4.3B |
| 81 | البيانات الخاصة بامتزاز صبغتي Safranin, Methyl Red على سطح صخور البورسيلينات العراقية المحور PMFP بدرجات حرارية مختلفة بتطبيق معادلة تمكن | 5.3B |
| 83 | قيم ثوابت لانكماير، فرنديش وتمكن ومعاملات الارتباط لامتزاز صبغتي Safranin, Methyl Red على سطح PMFP عند درجات حرارية مختلفة | 6.3B |
| 84 | النسب المئوية للإزالة محاليل صبغتي Safranin, Methyl Red من المحاليل المائية باستخدام اوزان مختلفة من سطح PMFP عند درجة حرارة 298K | 7.3B |
| 86 | تأثير الدالة الحامضية في النسبة المئوية لإزالة صبغتي Safranin, Methyl Red على سطح PMFP عند درجة حرارة 298K | 8.3B |
| 88 | تأثير الشدة الايونية في النسبة المئوية لإزالة صبغة Methyl Red عند pH=4.4 و Safranin عند pH=8 على سطح PMFP عند درجة حرارة 298K | 9.3B |
| 89 | قيم ثابت التوازن لإزالة صبغتي Safranin, Methyl Red على سطح PMFP عند درجات حرارية مختلفة | 10.3B |
| 89 | الدوال الترمودينمكية الحرارية ΔG و ΔH و ΔS لإزالة صبغتي Safranin, Methyl Red من محاليلها المائية باستعمال سطح PMFP عند درجات حرارية مختلفة | 11.3B |
| 91 | مقارنة بين سطح صخور البورسيلينات العراقية وشكلها المحور في إزالة صبغتي Safranin, Methyl Red من محاليلها المائية | 12.3B |

| رقم الشكل | عنوان الشكل | الصفحة |
|-----------|--|--------|
| 1.1 | عملية الامتزاز والامتصاص | 3 |
| 2.1 | الامتزاز الفيزيائي و الكيميائي | 5 |
| 3.1 | تحول الامتزاز من الفيزيائي إلى الكيميائي عند ارتفاع درجات الحرارة | 6 |
| 4.1 | قاعدة تروبي | 12 |
| 5.1 | الأصناف المختلفة من الايزوثيرمات الامتزاز حسب تصنيف Giles | 13 |
| 6.1 | a- ايزوثيرم لانكماير b- العلاقة الخطية لايزوثيرم لانكماير | 16 |
| 7.1 | a- ايزوثيرم فرنديش b- العلاقة الخطية لايزوثيرم فرنديش | 17 |
| 8.1 | a- ايزوثيرم تمكن b- العلاقة الخطية لايزوثيرم تمكن | 18 |
| 9.1 | صخور البورسيلينات العراقية | 20 |
| 10.1 | الصيغة التركيبية لصبغة Methyl Red | 22 |
| 11.1 | الصيغة التركيبية لصبغة Safranin | 24 |
| 1.2 | طيف الامتصاص للأشعة فوق البنفسجية – المرئية لمحلول صبغة Methyl Red ذي تركيز 12mg/L عند pH=4.4 | 38 |
| 2.2 | طيف الامتصاص للأشعة فوق البنفسجية – المرئية لمحلول صبغة Safranin ذي تركيز 9mg/L عند pH=8 | 38 |
| 3.2 | منحني المعايرة لتقدير صبغة Methyl Red في المحلول المائي | 39 |
| 4.2 | منحني المعايرة لتقدير صبغة Safranin في المحلول المائي | 39 |
| 1.3A | طيف الأشعة تحت الحمراء FT-IR لصخور البورسيلينات العراقية | 46 |
| 2.3A | طيف X-RD لسطح صخور البورسيلينات العراقية | 47 |
| 3.3A | صورة مجهر المسح الالكتروني SEM لسطح صخور البورسيلينات العراقية | 47 |
| 4.3A | صورة AFM لسطح صخور البورسيلينات العراقية | 48 |
| 5.3A | تأثير زمن الاتزان في إزالة صبغتي Safranin, Methyl Red باستعمال سطح صخور البورسيلينات العراقية في درجة حرارة 298K | 49 |
| 6.3A | أيزوثيرمات الامتزاز لصبغة Methyl Red باستعمال 0.02g من لسطح صخور البورسيلينات العراقية عند زمن اتزان 20min عند درجات حرارية مختلفة | 52 |
| 7.3A | أيزوثيرمات الامتزاز لصبغة Safranin باستعمال 0.02g من سطح صخور البورسيلينات العراقية عند زمن اتزان 20min عند درجات حرارية مختلفة | 52 |
| 8.3A | أيزوثيرمات لانكماير لامتزاز صبغة Methyl Red على سطح صخور البورسيلينات العراقية عند درجات حرارية مختلفة | 54 |
| 9.3A | أيزوثيرمات لانكماير لامتزاز لصبغة Safranin على سطح صخور البورسيلينات العراقية عند درجات حرارية مختلفة | 54 |

| | | |
|----|---|-------|
| 56 | أيزوثيرمات فرندلش لامتزاز لصبغة Methyl Red على سطح صخور البورسيلينات العراقية عند درجات حرارية مختلفة | 10.3A |
| 56 | أيزوثيرمات فرندلش لامتزاز لصبغة Safranin على سطح صخور البورسيلينات العراقية عند درجات حرارية مختلفة | 11.3A |
| 58 | أيزوثيرمات تمكن لامتزاز صبغة Methyl Red على سطح صخور البورسيلينات العراقية عند درجات حرارية مختلفة | 12.3A |
| 58 | أيزوثيرمات تمكن لامتزاز صبغة Safranin على سطح صخور البورسيلينات العراقية عند درجات حرارية مختلفة | 13.3A |
| 60 | تأثير وزن سطح صخور البورسيلينات العراقية في النسبة المئوية لإزالة صبغتي Safranin, Methyl Red عند درجة حرارة 298K | 14.3A |
| 62 | تأثير الدالة الحامضية في نسب إزالة صبغتي Safranin, Methyl Red على سطح صخور البورسيلينات العراقية عند درجة حرارة 298K | 15.3A |
| 64 | تأثير الشدة الايونية في النسبة المئوية لإزالة صبغتي Safranin, Methyl Red عند درجة حرارة 298K | 16.3A |
| 66 | قيم $\ln K_{eq}$ مقابل $1/T$ لامتزاز صبغتي Safranin, Methyl Red على سطح صخور البورسيلينات العراقية عند درجات حرارية (298-338K) | 17.3A |
| 69 | طيف الاشعة تحت الحمراء FT-IR لسطح الماز PMFP | 1.3B |
| 70 | طيف X-RD لسطح الماز PMFP | 2.3B |
| 70 | صورة SEM لسطح الماز PMFP | 3.3B |
| 71 | صورة AFM للسطح الماز PMFP | 4.3B |
| 72 | تأثير زمن الاتزان في إزالة صبغتي Safranin, Methyl Red باستعمال سطح صخور البورسيلينات العراقية المحور في درجة الحرارة 298K | 5.3B |
| 75 | أيزوثيرمات الامتزاز لصبغة Methyl Red باستعمال 0.01g على سطح صخور البورسيلينات العراقية المحور عند زمن اتزان 10min عند درجات حرارية مختلفة | 6.3B |
| 75 | أيزوثيرمات الامتزاز لصبغة Safranin باستعمال 0.01g على سطح صخور البورسيلينات العراقية المحور عند زمن اتزان 10min عند درجات حرارية مختلفة | 7.3B |
| 78 | أيزوثيرمات لانكماير لامتزاز صبغة Methyl Red على سطح صخور البورسيلينات العراقية المحور عند درجات حرارية مختلفة | 8.3B |
| 78 | أيزوثيرمات لانكماير لامتزاز صبغة Safranin على سطح صخور البورسيلينات العراقية المحور عند درجات حرارية مختلفة | 9.3B |
| 80 | أيزوثيرمات فرندلش لامتزاز صبغة Methyl Red على سطح صخور البورسيلينات العراقية المحور عند درجات حرارية مختلفة | 10.3B |

| | | |
|----|--|-------|
| 80 | أيزوثيرمات فرندلش لامتزاز صبغة Safranin على سطح صخور البورسيلينات العراقية المحور عند درجات حرارية مختلفة | 11.3B |
| 82 | أيزوثيرمات تمكن لامتزاز صبغة Methyl Red على سطح صخور البورسيلينات العراقية المحور عند درجات حرارية مختلفة | 12.3B |
| 82 | أيزوثيرمات تمكن لامتزاز صبغة Safranin على سطح صخور البورسيلينات العراقية المحور عند درجات حرارية مختلفة | 13.3B |
| 84 | تأثير وزن سطح صخور البورسيلينات العراقية المحور في النسبة المئوية لإزالة صبغتي Safranin, Methyl Red عند درجة حرارة 298K | 14.3B |
| 85 | تأثير الدالة الحامضية في نسب إزالة صبغتي Safranin, Methyl Red على سطح صخور البورسيلينات العراقية المحور عند درجة حرارة 298K | 15.3B |
| 87 | تأثير الشدة الايونية في النسبة المئوية لإزالة صبغتي Safranin, Methyl Red على سطح صخور البورسيلينات العراقية المحور عند درجة حرارة 298K | 16.3B |
| 88 | قيم $\ln K_{eq}$ مقابل $1/T$ لامتزاز صبغتي Safranin, Methyl Red على سطح صخور البورسيلينات العراقية المحور عند درجات حرارية (338-298K) | 17.3B |

قائمة الرموز والمختصرات

| الرمز | التعريف |
|--------------------|---|
| a , b | ثوابت ايزوثيرم لانكماير |
| AFM | مجهر القوى الذرية |
| A _T , B | ثوابت ايزوثيرم تمكن |
| C | التركيز |
| C.I.No. | درجة شدة اللون |
| C ₀ | التركيز الابتدائي للمادة الممتزة |
| Ce | تركيز المادة الممتزة في المحلول عند الاتزان |
| Fe-PSA | رماد قشرة الفول السوداني المشرب بالحديد |
| FT - IR | تحويل فورييه - طيف الاشعة تحت الحمراء |
| L.O.I | المواد المتبقية المحترقة |
| MR | المثيل الأحمر |
| n , Kf | ثوابت ايزوثيرم فرنشلش |
| PH | الدالة الحامضية |
| PMC | بورسيلينات - ميلامين - معقد |
| PMFP | بورسيلينات - ميلامين - فورمالديهايد بوليمر |
| ppm | جزء من مليون جزء |
| Qe | السعة الوزنية للمادة الممتزة |
| R | ثابت العام للغازات |
| R% | النسبة المئوية للازالة |
| r ² | معامل الارتباط |
| rpm | دورة لكل دقيقة |
| SEM | المجهر المسح الالكتروني |
| SF | سفرانين |
| T | درجة الحرارة المطلقة بالكلفن |
| t | الزمن |
| V _{sol} | الحجم الكلي لمحلول المادة الممتزة |
| XRD | حيود الاشعة السينية |
| Z | شحنة الأيون |
| ΔG | التغير في طاقة كبس |
| ΔH | التغير في الانتالبي |
| ΔS | التغير في الانتروبي |
| λ max | الطول الموجي الأعظم للامتصاص |
| μ | الشدة الأيونية |

الفصل الأول

المقدمة

Preface تمهيد (1-1)

يعد الماء من أبرز النعم التي أنعم الله تعالى علينا بها وذلك لأنه أساس الحياة ، لقد اثبت علم الخلية أنّ الماء هو المكون المهم في تركيب مادتها حيث أنّ الخلية وحدة البناء في تركيب الكائن الحي سواء كان نباتاً او حيواناً . ويشكل الماء المساحة الأكبر من الكرة الأرضية تقدر بنسبة 71% من مساحتها الكلية إذ يتضمن هذا الجزء البحيرات والبحار والمحيطات والأنهار [1] لقد اتفق عدد من العلماء على تعريف التلوث المائي بأنه عبارة عن اضافة مواد او طاقة كافية من قبل الانسان الى البيئة المائية كافية لأحداث ضرر في صحة الانسان او المواد الحية والانظمة البيئية ، هناك الكثير من الظواهر التي تحدث في المياه من خلالها يمكن التنبؤ عن تلوث تلك المياه مثل قلة الاوكسجين المذاب ، زيادة المواد المغذية الذائبة ، زيادة الاجسام المعلقة بالماء (الكدرة) وتأثيراتها على تخلل الضوء ، تغير خواص القاع ووجود فضلات سمية وكذلك زيادة في حرارة الماء [2] . ان من الطرق التي تؤدي الى حدوث التلوث في البيئة المائية هي طرح المنتجات الصناعية او مخلفاتها عن طريق رميها بشكل مباشر في الانهار والبحار ، طرح مخلفات الصرف الصحي ، تسرب المواد التي تستخدم في الغابات والزراعة الى الاراضي ، وكحالة اعتيادية جارية في الوقت الحاضر عمليات التفريغ للمواد الملوثة من البواخر ، كذلك عمليات الاستثمار التي تحدث في قاع البحر للنفط والمعادن وقد يحدث التلوث نتيجة سقوط مواد ملوثة من الجو للمياه زد على ذلك التجارب والمعامل والانفجارات الذرية [3][4] .

تم استخدام تقنيات مختلفة لمعالجة تلوث المياه مثل الترسيب والامتصاص والأكسدة والأوزون والتخثر والطرق البيولوجية ،التبادل الأيوني والامتزاز في وقت الضرورة للتخلص من الصبغات والنفايات العضوية السائلة التي تنتجها الصناعات [5] . تستخدم الصبغات على نطاق واسع لأغراض التلوين وقد تم اعتبار العديد من الصبغات خطرة وسامة يستهلك منها 2% بعد انتاجها الى مياه الصرف الصحي ويستهلك منها 10% اخرى اثناء عملية تلوين النسيج [6] . تعتبر تقنية الامتزاز من التقنيات التي استخدمت في معالجة تلوث المياه لكفاءتها العالية وسهولة استعمالها اذا ما قورنت بالتقنيات الاخرى اذ ان تقنية الامتزاز ذات كلفة اقتصادية مناسبة او قليلة . حيث نلاحظ ان اغلب الباحثين اتجه الى تطوير مواد مازة مستحدثة بالاستعانة بالمواد الطبيعية التي يمكن استخدامها كسطوح مازة امثال الطين ونفايات بعض النباتات وكذلك الفحم وغيرها

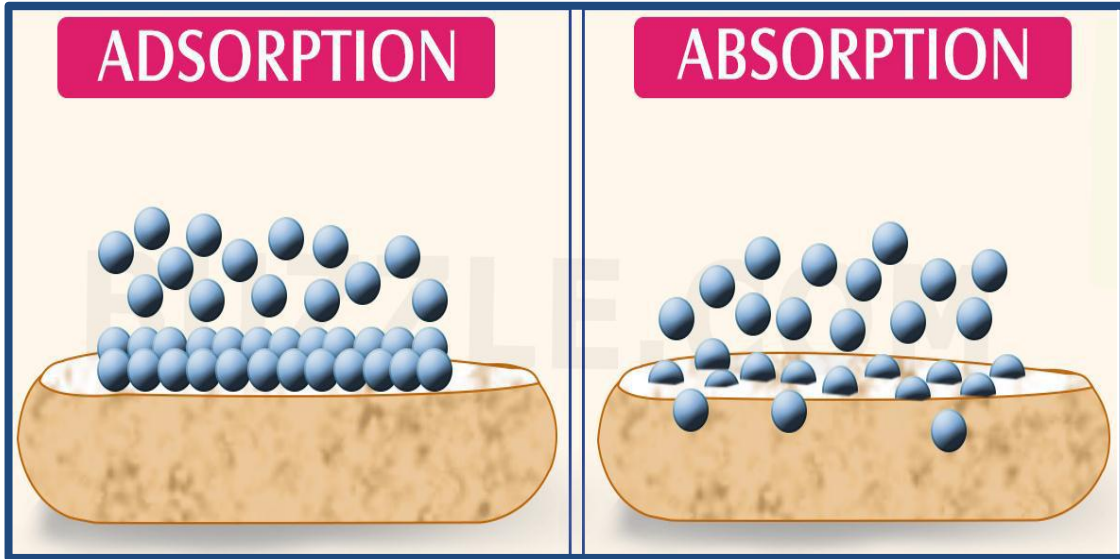
[8,7]

(2-1) الامتزاز وانواع الامتزاز Adsorption and Types of Adsorption

يعرف الامتزاز بأنه قدرة المواد الصلبة او السائلة على جذب جزيئات الغاز او المحاليل السائلة على تماس مباشر معها [9],[10] يطلق على المادة التي توفر سطحاً للامتزاز Adsorbent بينما يطلق على المادة التي تمتز على سطح صلب ب(Adsorbate)ويطلق على الجزيئة التي تكون عرضة للامتزاز (Adsorptive) [11]. يتضح إن عملية الامتصاص تختلف عن عملية الامتزاز حيث الامتصاص يخترق إلى داخل الجسم لكن الامتزاز يتجمع على سطح الجسم [12] إذ أنّ الامتزاز ظاهرة سطحية بينما الامتصاص يشمل الحجم الكامل للمادة كما في الشكل (1-1)، على الرغم من أنّ الامتزاز يسبق الامتصاص غالباً ويشمل الامتصاص كلا العمليتين بينما الأبتزاز (desorption) عكس ذلك ، على غرار التوتر السطحي فان الامتزاز هونتيجة للطاقة السطحية [13]. يوجد الامتزاز في العديد من الأنظمة الطبيعية والفيزيائية والبيولوجية والكيميائية ويستخدم على نطاق واسع في التطبيقات الصناعية مثل المحفزات غير المتجانسة ، الفحم النشط ، والتقاط واستخدام الحرارة المهدرة لتوفير الماء البارد لتكييف الهواء ومتطلبات العمليات الأخرى (مبردات الامتزاز) ، الراتنجات الاصطناعية ، زيادة سعة تخزين الكربون المشتق من الكريبيد وتنقية المياه[14]. ان من مزايا الامتزاز الذي يعتبر من العمليات المفضلة لإزالة الصبغات هو استخدام الطرق التقليدية بسبب كفاءتها العالية وتشغيلها السريع والسهل التصميم علاوة على ذلك يمكن استعادة المواد الماصة بسهولة واعادة استخدامها [15]. يستخدم الامتزاز على نطاق واسع لإزالة ملوثات النسيج من المياه بسبب انخفاض التكلفة وسهولة المقارنة بالطرق الأخرى ،تستخدم طريقة الامتزاز مواد بسيطة مثل الأسطح الممتصة لإزالة الملوثات من المحاليل المائية بما في ذلك طين البنتونيت ، قشر الأرز ، قشر الموز ، قشور البيرتقال، الامتزاز هو التخلص من ملوثات المياه من النفايات الصناعية وجعلها صالحة للاستعمال ويتم ذلك عن طريق استخدام أسطح ماصة قادرة على امتصاص الملوثات من محلولها المائي [16]. الامتزاز هو عملية تلقائية تحدث عند ظروف مناسبة من ضغط ودرجة حرارة أي ان الطاقة الحرة سالبة (-) ΔG كما يصاحب الامتزاز نقصان في الانتروبي (-) ΔS الجزيئات التي عانت امتزازاً اصبحت مقيدة بسبب ارتباطها بالسطح (Adsorbente) وبالتالي سوف تقل عشوائيتها

أو درجة حرارتها إذا ما قورنت قبل عملية الامتزاز وحسب علاقة كبس فان عملية الامتزاز تكون باعثة للحرارة (Exothermic) [17].

$$\Delta G = \Delta H - T\Delta S \dots\dots\dots (1.1)$$



شكل(1-1) عملية الامتزاز والامتصاص

يصنف الامتزاز اعتمادا على نوع القوى الرابطة بين السطح ألاماز و المادة الممتزة إلى نوعين:-

1- الامتزاز الفيزيائي (PHysical adsorption (PHysisorption)

2- الامتزاز الكيميائي (Chemical adsorption (Chemisorption)

PHysical Adsorption (PHysisorption) (1-2-1) الامتزاز الفيزيائي

هناك بعض السطوح خاملة في عملية الامتزاز ويعود سبب ذلك الى التشبع الالكتروني لذراتها وينتج هذا التشبع بسبب تكون روابط تحدث بين هذه الذرات الغير المشبعة مع الذرات الاخرى المجاورة للسطح نفسه حيث يتم الامتزاز على مثل هذه السطوح من خلال التجاذب الطبيعي والتي تكون مشابهة للقوى المسببة للانحراف او الحيود الغازات الحقيقية عن الغاز المثالي . أن سبب اسالة الغازات يعود لهذا النوع من القوى ويطلق على هذا النوع من الامتزاز بالامتزاز الطبيعي او الفيزيائي وتكون قوى رابطة هي قوة فاندرفالز [18].

إن الامتزاز الطبيعي لا يتميز بالخصوصية (Non – Specific) ويعود سبب عدم الخصوصية للذرة او الجزيئة في هذا النوع من الامتزاز لعدم ارتباطها كيميائياً بذرات السطح الماز ولكن تشغل جزء معين من السطح ويعتمد هذا الجزء المشغول من قبل الجزيئة او الذرة الممتزة على حجمها . ويجب الانتباه إلى أن الذرة أو الجزيئة التي تم امتزازها طبيعياً على السطح لها القدرة على الحركة ضمن مساحة محددة من السطح ولكن هذه الحركة للذرات أو الجزيئات أقل من حركة الذرات والجزيئات في الحالة السائلة [19]. ومن الملاحظ في هذا النوع من الامتزاز لاتوجد سطوح مختصة به أي يحدث على سطح أي مادة بشرط أن تكون درجة غليان السطح (Adsorbente) أقل أو تقترب من درجة غليان المادة الممتزة (Adsorbate) [20].

Chemical Adsorption (Chemisorption) (2-2-1) الامتزاز الكيميائي

السطوح التي تكون نشطة اثناء عملية الامتزاز تمتاز بعدم تشبع ذراتها الكترونياً أي اغلفة التكافؤ لم تصل الى حد الاشباع وبالتالي الاستقرار وكما قلنا سابقاً في الامتزاز الفيزيائي بأن الذرات تكون روابط مع الذرات الاخرى فعلى الرغم من ذلك تبقى ذرات هذه السطوح غير مشبعة الكترونياً لذلك تشارك او تكون هذه الذرات او الجزيئات روابط كيميائية مع الذرات او الجزيئات التي تم امتزازها مع السطح ويطلق على هذا النوع من الامتزاز بالامتزاز الكيميائي [21]. هناك ثلاثة أنواع من الامتزاز الكيميائي اعتماداً على درجة الحرارة الى :-

النوع الأول : يتضمن ارتباط قوه للمادة الممتزة بالسطح الماز ويحدث هذا النوع في درجات الحرارة المنخفضة والمعتدلة .

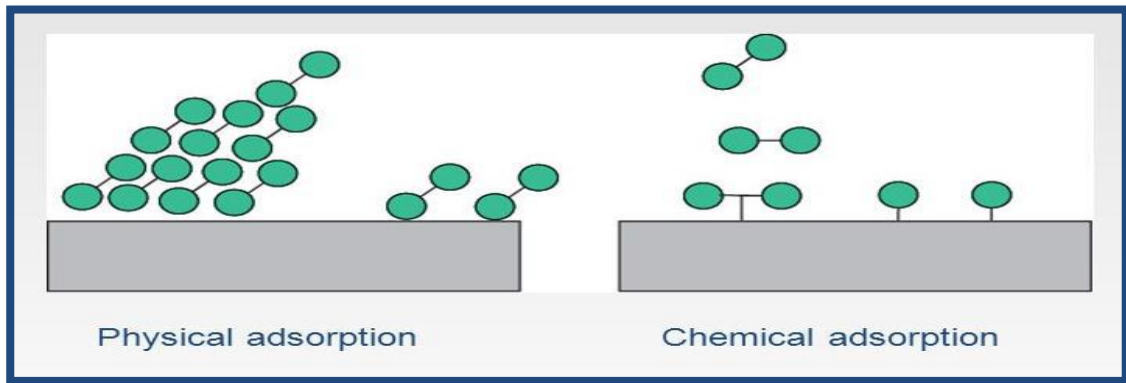
النوع الثاني : أيضا يتضمن ارتباط قوه للمادة الممتزة بالسطح الماز في درجات حرارة التي تزيد على 100°C .

النوع الثالث : يكون اضعف من النوعين السابقين ويحدث في درجات الحرارة المنخفضة حيث ان الحرارة المصاحبة لتكوينه تكون اعلى بقليل من حرارة الامتزاز الطبيعي .

أن النوع الأول يحتاج حدوث طاقة تنشيط كبيرة لأنه من المفترض تفكك الجزيئة قبل الامتزاز . اما النوع الثاني فان الجزيئات فيه متأينة جزئياً وقد حدث فيها انتقال الالكترونات من غلاف التكافؤ (S) الى الغلاف (d) الخالي للسطح الذي يحدث عليه الامتزاز لذلك هذا النوع يحتاج الى طاقة تنشيط اقل لحدوث الامتزاز .

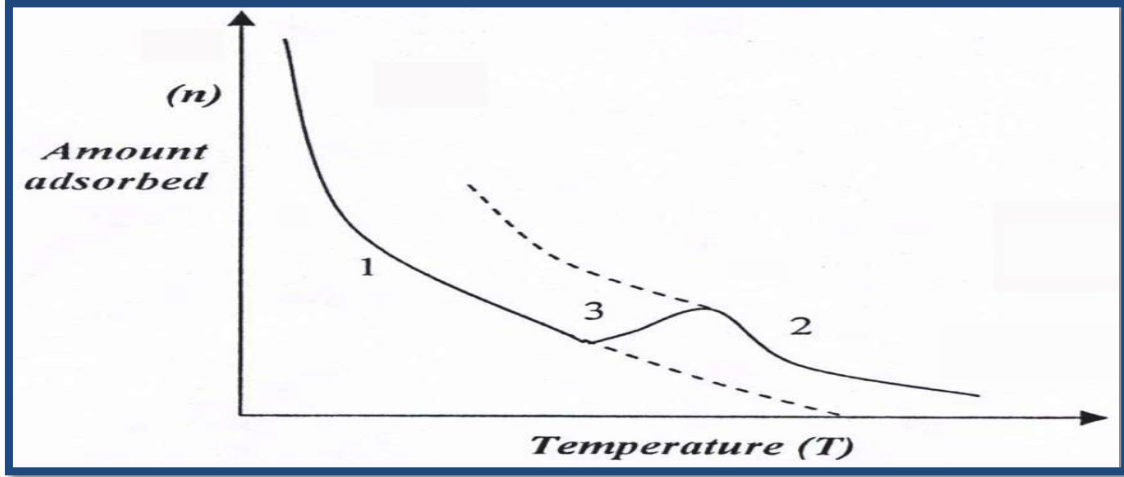
ومن الجدير بالذكر هنا ان الامتزاز الكيميائي يحدث على السطوح معينة في ظروف معينة وقد لا يحدث على سطوح اخرى عند الظروف نفسها وقد لا يحدث على السطوح نفسها عند تغير الظروف لذلك يعتبر امتزاز انتقائي, الشكل (2-1) يوضح الامتزاز بنوعيه الفيزيائي والكيميائي

[22]



شكل (2-1) الامتزاز الفيزيائي و الكيميائي

أنَّ درجة الحرارة ونوع الامتزاز يؤثران على الامتزاز بشكل عام كما موضح في الشكل (3-1) حيث أنَّ الامتزاز الفيزيائي يحدث في درجات حرارة منخفضة أما الامتزاز الكيميائي يحدث في درجات حرارة عالية .



الشكل (3-1) تحول الامتزاز من الفيزيائي إلى الكيميائي عند ارتفاع درجات الحرارة.

المنحني (1): نقصان الامتزاز الفيزيائي مع درجة الحرارة ،

المنحني (2): الامتزاز الكيميائي

المنحني (3): يوضح منطقة التحول من الامتزاز الفيزيائي إلى الكيميائي .

ونستطيع أن نستنتج مقارنة بين الأمتزاز الفيزيائي والكيميائي بحسب جدول

(1-1)

جدول (1-1) مقارنة بين الامتزاز الفيزيائي والامتزاز الكيميائي [23][24].

| الامتزاز الفيزيائي | الامتزاز الكيميائي | ت |
|--|---|---|
| الروابط بين جزيئات المادة الممتزة و سطح الامتزاز روابط طبيعية | الروابط بين جزيئات المادة الممتزة و سطح الامتزاز روابط كيميائية تتضمن انتقال الالكترونات | 1 |
| حرارة الامتزاز أقل من 40KJ/mol | حرارة الامتزاز أكثر من 80KJ/mol | 2 |
| يحدث مع انظمة الغاز الصلب شرط توافر الظروف المناسبة من الضغط ودرجة الحرارة وهو نوع اختياري | يحدث فقط في حالة امكانية الانتقال للإلكترونات بين الغاز و السطح الصلب وهو نوع اختياري | 3 |
| يحدث بطريقة انعكاسية | يحدث بطريقة غير انعكاسية. | 4 |
| من الممكن ان يكون عديد الطبقات Multimolecular Adsorption | تتكون طبقة واحدة فقط على السطح الماز و يطلق عليه امتزاز احادي الجزيئة Unimolecular Adsorption | 5 |
| يكون محسوس عند درجات الحرارة المنخفضة والضغط العالي | يحدث عند درجات الحرارة العالية و يقل معدله بزيادة درجة الحرارة العالية | 6 |
| لا يحتاج الى طاقة تنشيط كما في حالة تكثيف بخار السائل | يحتاج الى طاقة تنشيط لانه يعتبر الخطوة الأولى في التفاعل الكيميائي | 7 |
| لا يمتاز الامتزاز الفيزيائي بالخصوصية | يمتاز بالخصوصية اذ انه يحدث في ظروف معينة ولا يحدث على سطح اخر عند نفس الظروف المناسبة من ضغط ودرجة حرارة | 8 |
| يزداد معدل الامتزاز مع زيادة ضغط الغاز الممتز | يقل معدل الامتزاز مع زيادة ضغط الغاز الممتز | 9 |

Localized and Non- Localized (3-2-1) الامتزاز الموقعي والغير موقعي**Adsorption****Localized Adsorption****الامتزاز الموقعي**

عندما تتغير المواقع على السطح سوف تتأرجح الطاقة الكامنة على تلك المواقع فعندما تكون الطاقة محسوسة فان النقاط الصغرى للطاقة الكامنة تعبر عن مواقع الامتزاز (Adsorption Sites) يطلق على هذا النوع الامتزاز الموقعي Localized Adsorption [25].

Non- Localized Adsorption**الامتزاز الغير الموقعي**

إذا كانت تغيرات الطاقة الكامنة على السطح صغيرة وغير محسوسة هنا يعتبر السطح غير محتوي على مواقع الامتزاز وبالتالي يطلق على هذا النوع الذي يحدث على هذه السطوح الامتزاز الغير الموقعي Non-Localized Adsorption [26]. ومن الجدير بالذكر اذا كان فرق الطاقة بين موقعين على السطح مقداراً ثابتاً وان مواقع الامتزاز عند نفس المستوى من الطاقة الكامنة هنا يطلق على السطح الناتج سطح متجانس (Homogeneous) او منتظم (Uniform) أما إذا كانت الطاقة الكامنة غير منتظمة بسبب اختلاف مواقع الامتزاز يدعى السطح غير متجانس (Heterogeneous) أو غير منتظم (Non-Uniform) [27], [28].

Adsorption In Solution**(3-1) الامتزاز في المحلول**

ان السطوح الصلبة لها القابلية على امتزاز الغازات وكذلك المواد الذائبة في المحاليل .على سبيل المثال حامض الايثانويك مع الكربون المنشط فان جزء من الحامض يمكن ان يستهلك على سطح الكربون وهذا يؤدي الى نقص في تركيز المحلول وهناك امثلة اخرى على ذلك حيث يمكن للكربون المنشط ان يزيل النوشادر من محلول NH_4OH [29].

إن ظاهرة الامتزاز يمكن ان تلاحظ في التحليل الكمي فمثلاً راسب $AgCl$ المحضر حديثاً سوف تمتاز على سطحه ايونات الفضة او ايونات الكلوريد وهذا يعتمد على نسبة تواجدهم في المحلول وكذلك الحال في راسب كبريتيد الزرنيخ يميل الى امتزاز الكبريتيد [30], [31]. إن الامتزاز في المحاليل يكون مشابهة للامتزاز في الغازات حيث يتضمن اتزاناً بين الكمية الممتزة على السطح وتركيز المادة في المحلول . إذ أن مساحة السطح وخفض درجة الحرارة تساعدان على الامتزاز [32].

(4-1) العوامل المؤثرة في عملية الامتزاز

Factors Influencing of Adsorption Process

(1-4-1) طبيعة المادة الممتزة Natural of Adsorbate

إنّ عملية الامتزاز تتأثر بطبيعة المادة الممتزة إذ أنّ عملية الامتزاز تتأثر بالخصائص الفيزيائية للمادة الممتزة اذ يزداد الامتزاز بزيادة الكتلة المولية وكذلك تتأثر بالخصائص الكيميائية للمادة الممتزة فان وجود المواقع الفعالة في تركيب المادة الممتزة له دور في عملية الامتزاز مقارنة من عدم وجودها. اذ ان السطح الماز يميل الى امتزاز المكون الاكثر قطبية في المحلول ومن ناحية اخرى فان سعة الامتزاز تزداد بزيادة تركيز المادة الممتزة [33].

(2-4-1) طبيعة المادة المازة Natural of Adsorbent

تؤثر طبيعة المادة المازة على عملية الامتزاز، وهذا التأثير يعتمد على طبيعة السطح، اذ ان السطح التي تحتوي في تركيبها على جزيئات قطبية تميل الى المكون الاكثر قطبية في المحلول كما ان وجود المسامات على سطح المادة المازة له دور في زيادة سعة الامتزاز بالاضافة الى ذلك فان زيادة المساحة السطحية للسطح أو المادة المازة أيضا يزيد من سعة الامتزاز. من الجدير بالذكر هنا أنّ سعة الامتزاز هي كمية المادة الممتزة لكل وحدة كتلة او حجم من المادة المازة والتي بدورها تعتمد على تركيز المادة الممتزة في المحلول [34]، [35] من المهم ذكره هنا أنّ معظم أنظمة الامتزاز تستخدم الفحم المنشط Activated carbon الذي هو مادة مسامية على هيئة متبلورة حيث ان فيها خلافا في تركيبها البلوري اثناء انتاجها وكذلك نقص في هيدروجينها وهو على نوعين الفحم المنشط الحبيبي Granular Activated carbon والفحم المنشط المسحوق powderd Activated carbon حيث يمتاز بمساحته السطحية الكبيرة الناتجة من وجود مسامات كبيرة [36]، [37].

(3-4-1) تركيز المادة الممتزة Concentration of adsorbate

كلما زاد تركيز المادة الممتزة (adsorbate) زادت عملية الامتزاز على السطح الماز أي زيادة سعة المادة الممتزة على السطح وبالتالي حصول الانتقال لكتلة المادة الممتزة على ذلك السطح وفي بعض الحالات تتوقف عملية الامتزاز عندما تتكون طبقة واحدة من المادة الممتزة

على السطح الا انه قد يستمر في حالات اخرى ليكون عدة طبقات من المادة الممتزة على سطح المادة المازة وعندما تكون كمية المادة الممتزة اكبر من الأمتزاز احادي الطبقة إنَّ الشكل الذي يوضح العلاقة بين كمية المادة الممتزة وتركيز الاتزان يسمى ايزوثيرم الأمتزاز (Adsorption Isotherm) ومن شكل الأيزوثيرم نستطيع التنبؤ بعلاقة كمية الأمتزاز مع تركيز المادة الممتزة [38].

(4-4-1) الدالة الحامضية pH Value

قيمة PH تؤثر على مواقع الامتزاز الفعالة على السطح الماز فإذا كان السطح يحتوي على مواقع مشحونة جزئياً بالشحنة الموجبة واخرى مشحونه بالشحنة السالبة اذ في الوسط الحامضي تزداد عدد الايونات الموجبة التي ستتوجه الى الشحنات السالبة بالسطح فتكون معه اصرة تعيق ارتباط المادة الممتزة بالسطح وبالتالي يقل الامتزاز ونفس المبدأ في الوسط القاعدي [39] وبالتالي يمكن ان يزيد مدى الامتزاز او ينقص او يبقى دون تغير نتيجة تغير الاس الهيدروجيني حيث يمكن ان تتضمن هذه العملية عدة متغيرات مثل الحالة الفيزيائية للمادة الممتزة والسطح الماز وهنا المنافسة مطلوبة بين $[H^+]$ او $[OH^-]$ بالتفاعل مع المذاب او المذيب او السطح [40][41].

(5-4-1) درجة الحرارة Temperature

تأثير درجة الحرارة على سعة الأمتزاز يعتمد على نوع الامتزاز وطبيعة كل من الممتزات والسطح الماز [42]. عادة ما تكون عملية الأمتزاز هي عملية باعثة للحرارة وبالتالي وفقاً لقاعدة لي شاتلي (Le-chatelier's) فان انخفاض درجة حرارة النظام يؤدي الى زيادة في سعة الأمتزاز [43] مثلاً في الأمتزاز الفيزيائي اذ ان الانخفاض في درجة الحرارة تزيد من سعة الامتزاز. أمّا في الأمتزاز الكيميائي فان سعة الأمتزاز قد تزداد او تنخفض مع ارتفاع درجة الحرارة اعتماداً على نوع التفاعل والترابط بين السطح والجزئيات الممتزة. من ناحية اخرى فان زيادة الأمتزاز مع ارتفاع درجة الحرارة يعني ان العملية هي ماصة للحرارة [44].

(6-4-1) الشدة الايونية

Ionic Strength

يعتمد تأثير الشدة الأيونية في عملية الأمتزاز على طبيعة المادة الممتزة وكذلك السطح الذي تجري عليه عملية الأمتزاز [45]. في بعض الاحيان اذا كانت ذوبانيه الاملاح المستخدمة أعلى من ذوبانيه المادة الممتزة في المذيب فالقوة الأيونية تؤثر في الامتزاز وتؤدي الزيادة سعة الامتزاز ،اما اذا كانت المادة الممتزة أيونية فأنها تؤدي الى زيادة ذوبان المادة الممتزة وبالتالي تقل سعة الامتزاز [46]. اما في حالة تكوين معقد تناسقي بين الأيونات المضافة في المحلول والمادة الممتزة فان ذلك يؤثر على عملية الأمتزاز التي تعتمد بشكل اساسي على ذوبانية المعقد المتكون وشحنته [47]. ان تأثير الشدة الايونية يعتمد على قطبية او عدم قطبية الأسطح المازة ففي حالة الأسطح غير القطبية لا يوجد تأثير للشدة الأيونية على تلك الاسطح . وفي حالة الاسطح الأيونية هناك تأثير على المواقع الفعالة الموجودة على السطح حيث يحدث تنافس بين الايونات الممتزة مع المواقع الفعالة في السطح ومن جانب اخر بين الأيونات المضافة والمواقع الفعالة وبالتالي هذا التنافس يؤدي الى تقليل عملية الأمتزاز على السطح الماز [48]. وبأستخدام المعادلة الاتية يمكن حساب القوة الايونية .

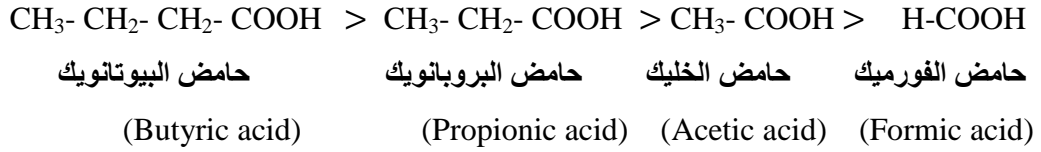
$$\mu = 1/2 \sum C_i Z_i^2 \dots\dots\dots(1-2)$$

حيث ان : μ :- تمثل الشدة الايونية ، C_i :- تركيز الأيون ، Z_i :- شحنة الأيون.

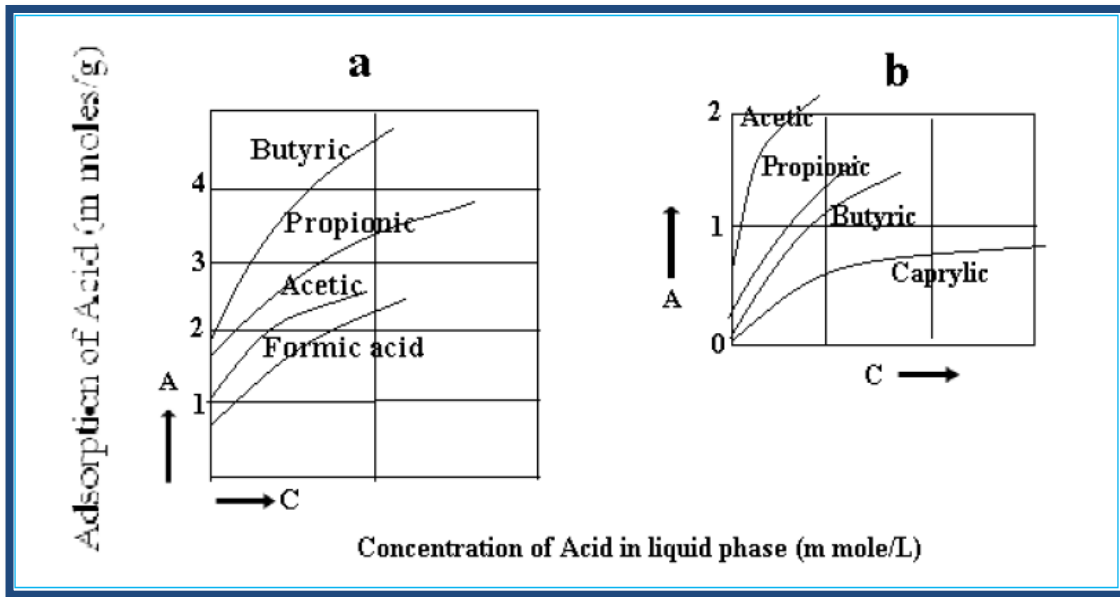
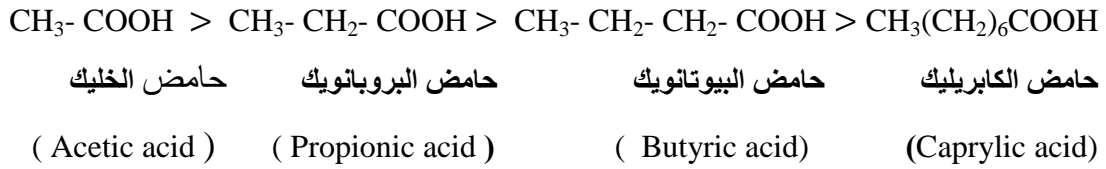
(7-4-1) المذيب و قاعدة تروبي

Solvent and Traube' s Rule

إنَّ المواقع الفعالة الموزعة على أسطح المواد المازة يحدث عليها تنافس من قبل جزيئات المذيب والمذاب وان هذه المنافسة معتمدة بشكل اساسي على المذيب والمذاب والسطح الماز من جانب ومن جانب اخر بين المذاب والمذيب على الطبقة الممتزة في السطح [49]. وهنا يجب ان نشير إلى ان قابلية ذوبان الممتز (المذاب) إذا كانت قليلة في المذيب فان سعة الأمتزاز سوف تزداد . ان قاعدة تروبي (Traubes Rule) هي احد الدراسات التي بينت تأثير نوعية المذيب إذ أنَّ القاعدة تنص (تزداد كمية الأمتزاز للمواد العضوية في محاليلها المائية زيادة منتظمة بزيادة طول السلسلة الهيدروكاربونية [50]. يوضح الشكل (4-1a) تطبيقاً لقاعدة تروبي (Traubes Rule) إذ يوضح الشكل امتزاز سلسلة من الحوامض الكربوكسيلية في محاليلها المائية على سطح الفحم الحيواني حيث وجد ان زيادة الأمتزاز تكون على النحو الآتي:



كما يوضح الشكل (4-1b) تطبيقاً لقاعدة تروبي (Trouwes Rule) إذ يوضح امتزاز سلسلة من الحوامض الكربوكسيلية على سطح هلام السليكا من التلوين إذ نلاحظ استخدام مذيب لاقطبي واستخدام سطح قطبي فإن سعة الأمتزاز للحوامض الكربوكسيلية تكون بالشكل الآتي [50].

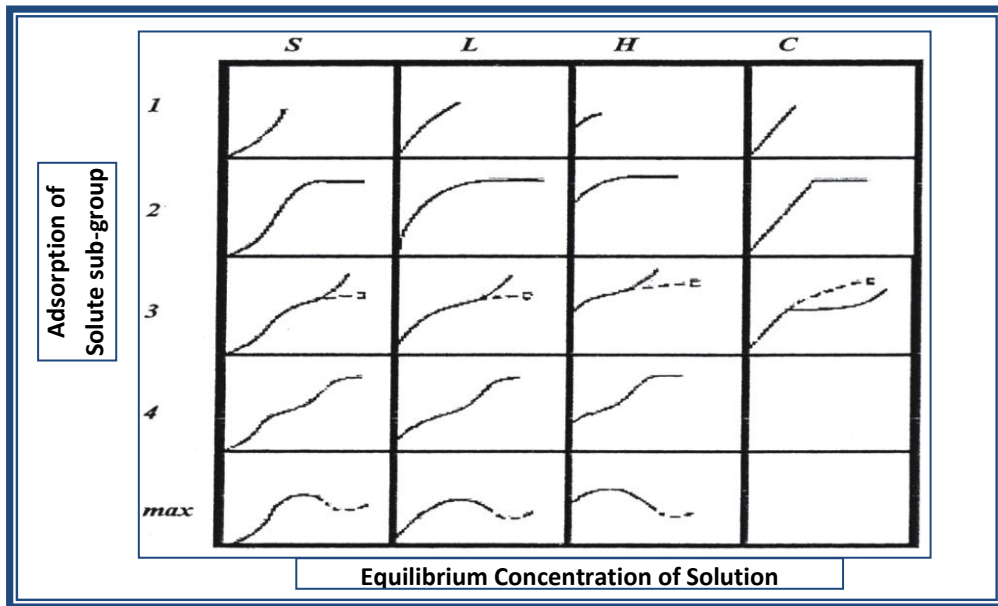


الشكل (4-1) قاعدة تروبي

- (a) امتزاز احماض كاربوكسيلية من محاليل مائية على سطح الفحم الحيواني (الكارون) .
(b) امتزاز احماض كاربوكسيلية من التلوين على سطح هلام السليكا .

(5-1) ايزوثيرمات الامتزاز Adsorption Isotherms

الغاز الذي يعاني عملية امتزاز على سطح معين في حرارة معينة فإنه يحدث في اكثر الاحيان اتزان بين كمية الغاز التي عانت عملية امتزاز على السطح والكمية التي بقيت في الحالة الغازية ،نستنتج من ذلك ان سعة الامتزاز في درجة حرارة ثابتة تصبح في حالة اتزان مع ضغط الاتزان للغاز الذي لم يعاني اتزان وعند حدوث سعة امتزاز اكبر سوف يحصل اتزان جديد عند نفس درجة الحرارة بين الكمية الجديدة للامتزاز والضغط الجديد للغاز الذي بقي في حالة حرة ،اذن هناك كميات اتزان متعاقبة على السطح وتكون مناظرة للضغوط المختلفة من ذلك يمكن القول ان كمية الامتزاز تعتمد على ضغط الاتزان عند ثبوت درجة الحرارة .إنّ مثل هذه العلاقة تسمى بالايزوثيرم [51] ويعرف الايزوثيرم أيضا بأنه العلاقة بين كمية المادة الممتزة على السطح والضغط (في حالة الغاز) وتركيز الاتزان (في حالة المحلول) للمادة الممتزة عند درجات حرارة ثابتة . وقد قام (Giles) [52] وجماعته على وضع تصنيف للايزوثيرمات يعتمد على هيئة المقاطع الابتدائية للايزوثيرمات للمساعدة في فهم عمليات الامتزاز واعطى هذا التصنيفات رموزا هي (S, L, H, C) و توجد ضمن الأصناف الرئيسة أصناف ثانوية يشار إليها بـ (1,2,3,4,and max) و كما موضح في الشكل (5-1).



الشكل (5-1): الاصناف المختلفة من الايزوثيرمات حسب تصنيف Giles .

(1) **الصف S** :- يوضح هذا الشكل أن المذيب يعاني امتزازاً شديداً على السطح الماز ويكون توجه الجزيئات الممتزة على السطح الماز عمودياً او مائلاً ويكون فيه الايزوثيرم متخذاً شكل S – Shape

(2) **الصف L** :- يكون فيه توجه الجزيئات الممتزة نحو السطح بصورة افقية كما ان الامتزاز احادي الطبقة وهذا الصف خاص بنوع ايزوثيرمات لانكماير (Langmuir) .

(3) **الصف H** :- يمكن ملاحظة هذا الصف في المحاليل المخففة جداً عندما تكون الجزيئات الممتزة الكبيرة جداً مثل البوليمرات .

(4) **الصف C** :- يشير هذا الصف إلى حصول امتزاز كيميائي كما يشير إلى وجود معامل توزيع (Partition constant) بين المادة الممتزة من جهة والمحلول مع السطح الماز من جهة اخرى .

(6-1) نظريات الامتزاز Theories of Adsorption

لوصف عملية الامتزاز وشكل الايزوثيرم الناتج اقترحت فرضيات واشكال عدة كما موضحة في الجدول (2-1) .

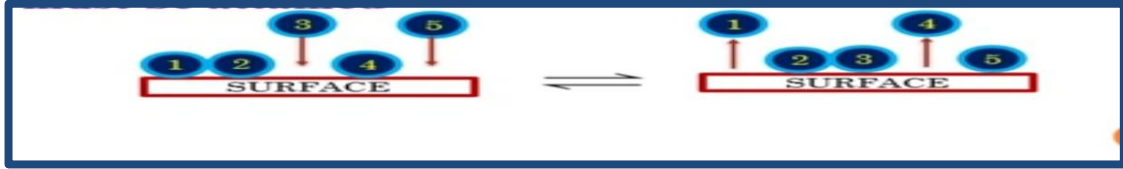
جدول (2-1) انواع الايزوثيرمات

| Isotherm | Application | Equation |
|----------------------------------|------------------------------------|---|
| Langmuir ^[53] | PHysical and chemical Adsorption | $Q_e = \frac{a b C_e}{1 + b C_e}$ |
| Freundlich ^[54] | PHysical and chemical Adsorption | $Log Q_e = Log K_f + \frac{1}{n} Log C_e$ |
| Temkin ^[55] | Chemical adsorption | $Q_e = B \ln A_T + B \ln C_e$ |
| Redlich-Peterson ^[56] | PHysical and chemical Adsorption | $Q_e = \frac{Kp}{1+apg}$ |
| Toth ^[57] | Multimolecular PHysical Adsorption | $Q_e = \frac{aC_e}{(K_T + C_e^n)^{1/n}}$ |

يعد ايزوثيرم لانكماير وفريندلش وتمكن أكثر أنواع الايزوثيرمات استعمالاً لذلك سنتحدث بشيء من التفصيل عن هذه الايزوثيرمات.

(1-6-1) معادلة لانكماير للإمتزاز (Langmuir adsorption equations)

وضع العالم لانكماير Langmuir في عام 1916 نموذج لعملية الأمتزاز في حالة الاتزان الكيميائي^[58] وقد بنى هذا النموذج على فرضيات منها، ان جميع المناطق النشطة للسطح لها نفس الطاقة^[59]، وان الغازات الممتزة على سطح صلب عند ضغط منخفض تكون طبقة واحدة ، وقد وضح لانكماير ان في أي نقطة على السطح يحصل اتزان ديناميكي أي يحدث امتزاز (Adsorption) وفي نفس الوقت يحدث الأبتزاز (Desorption) بنفس المعدل^[60] .



حيث نلاحظ ان الشكل اعلاه ان الجزيئات ① و ② و ④ قد عانت امتزاز (Adsorption) وفي المقابل نلاحظ ان جزيئات ① و ④ حدث فيها (Desorption) في الرسم الاخر ، بحيث ان نفس عدد الجزيئات سوف تمتز على السطح وهذا يعني انه اتزان ديناميكي. وقد افترض لانكماير ان السطح الماز يكون متجانس، وكذلك افترض ان الجزيئات الممتزة على السطح لا يحصل تفاعل بينهما ، وكذلك ان حرارة الأمتزاز لاتعتمد على الجزء المغطى (θ) من السطح نتيجة الأمتزاز (ΔH in dependent on θ) .

يمكن كتابة معادلة لانكماير للإمتزاز من المحلول بالصورة الاتية :

$$Q_e = \frac{x}{M} = \frac{abC_e}{1+bC_e} \dots \dots \dots (1 - 3)$$

حيث ان

Q_e : كمية المادة الممتزة بوحدات (mg/g).

C_e : تركيز المذاب (الممتز) عند الاتزان بوحدات (mg/L).

a : سعة الامتزاز العظمى عندما يتشبع سطح الامتزاز كليا بوحدات (mg/g) .

b : ثابت لانكماير يرتبط بطاقة الامتزاز او ثابت الاتزان بوحدات (mg/ L)

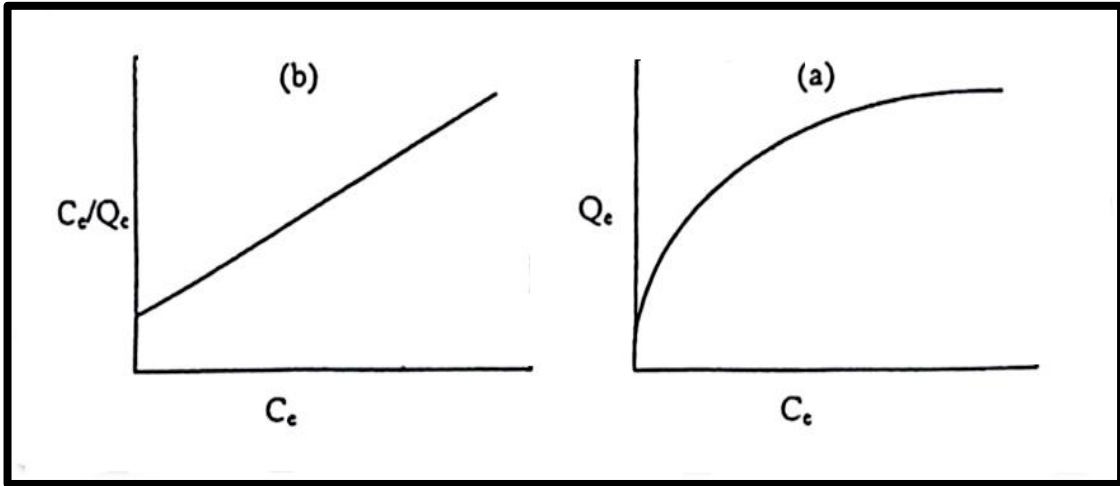
X : كمية المادة الممتزة بوحدة (mg)

m : وزن المادة المازة (g)

يمكن كتابة المعادلة (1-3) بالصورة الخطية بالشكل الآتي لغرض الرسم:

$$\frac{C_e}{x/m} = \frac{C_e}{Q_e} = \frac{1}{ab} + \frac{C_e}{a} \dots\dots\dots (1-4)$$

وعند رسم C_e/Q_e مقابل C_e فإن الميل يساوي $1/a$ وتقاطعه يساوي القيمة $1/ab$ كما في الشكل (6-1) [61] ،



شكل (6-1) (a) ايزوثيرم لانكماير (b) العلاقة الخطية لايزوثيرم لانكماير

Freundlich adsorption Equation (2-6-1): معادلة فرنديش للإمتزاز

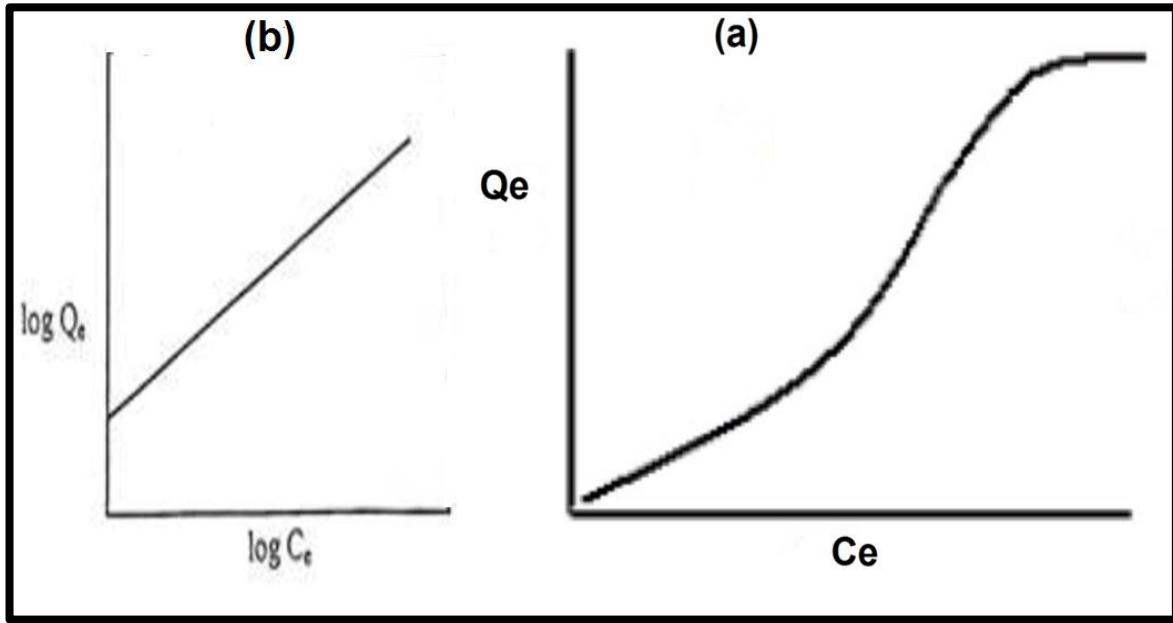
اقترح العالم فرنديش Freundlich في عام 1909 نموذج لتفسير الأمتزاز الأيزوثيرمي وذلك باستخدام معادلة تربط كمية الغاز الممتز على سطح ماز صلب والضغط وتسمى هذه المعادلة Freundlich Equation وهذه المعادلة لقيت قبول ونجاح كبير في حالة الأمتزاز من المحلول فهناك سطوح غير متجانسة (Heterogeneous) وبالتالي فإن تغيرات الطاقة الكامنة تكون غير منتظمة بسبب اختلاف مواقع الامتزاز مما يؤدي الى اختلاف مستويات الطاقة [62] ان معادلة فرنديش تمثل التغير في مقدار المادة الممتزة (Q_e) في وحدة المساحة او كتلة المادة المازة مع تركيز الأتزان (C_e). المعادلة العامة لـ (Freundlich) هي [62]

$$Q_e = K_f C_e^{\frac{1}{n}} \dots\dots\dots (1-5)$$

ويمكن الحصول على العلاقة الرياضية التالية وذلك بأخذ Log لطرفي المعادلة

$$\log Q_e = \log K_f + \frac{1}{n} \log C_e \dots\dots\dots (1-6)$$

حيث (K_f, n) ثوابت فرندلش التجريبية (n مقياس لشدة الإمتزاز، بينما K_f مقياس لكمية الإمتزاز). ويرسم العلاقة بين $\log Q_e$ على محور y مقابل $\log C_e$ على محور x نحصل على خط مستقيم



الشكل (7-1) (a) أيزوثيرم فرندلش (b) العلاقة الخطية لايزوثيرم فرندلش

ميله $\frac{1}{n}$ وتقاطعها $\log K_f$ وقيم الثوابت تعتمد على طبيعة كل من المادة الممتزة والسطح الماز ودرجة الحرارة [64].

Temkin adsorption Equation (3-6-1) معادلة تمكن للإمتزاز

نموذج تمكن يقترح أنّ الحرارة المرتبطة مع عملية الامتزاز لجميع الجزيئات في الطبقة سوف تنخفض خطيا مع تغطية السطح بسبب التفاعلات بين المادة الممتزة (Adsorbate) والسطح الماز (Adsorbent)^[65]. ايزوثيرم تمكن يمثل بواسطة المعادلة التالية:

$$q_e = B_T \ln (A_T \cdot C_e) \dots\dots\dots(1-7)$$

حيث ان :-

A_T : هو ثابت توازن الامتزاز يمثل اقصى طاقة الامتزاز

B_T : ثابت ايزوثيرم تمكن الذي يمكن حسابه كالآتي :-

$$B_T = \frac{RT}{b}$$

R : يمثل ثابت العام للغازات (8.314J/mol.K).

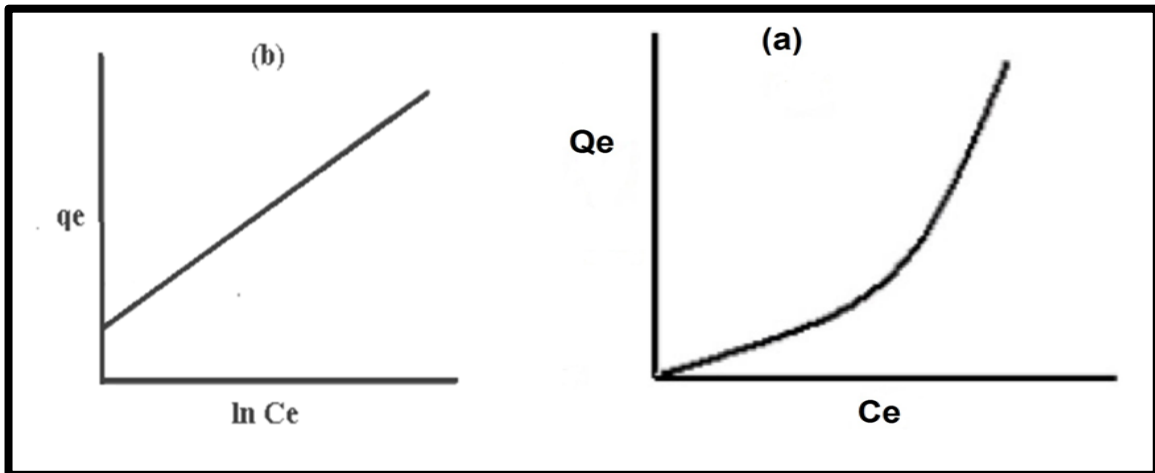
T : تمثل درجة الحرارة المطلقة (K).

b : ثابت حرارة الامتزاز (J/mol).

الشكل الخطي للمعادلة تمكن هو :-

$$q_e = B_T \ln A_T + B_T \ln C_e \dots\dots\dots(1-8)$$

قيم (A_T ، B_T) يمكن ان تحسب عن طريق الميل ، والقطع بواسطة الرسم البياني (q_e) مقابل $\ln C_e$ كما موضح بالشكل (8-1)



الشكل (8-1) (a) ايزوثيرم تمكن (b) العلاقة الخطية لايزوثيرم تمكن

Adsorbent surface

(7-1) السطح الماز

(1-7-1) صخور البورسيلينات العراقية Iraqi Porcelanite Rocks

البورسيلينات هي إحدى الصخور الرسوبية الصناعية المهمة . حيث تم تصنيفها تحت أكثر من اسم مختلف ، والعديد منها عبارة عن علامات تجارية مثل : الدياتومي (diatomite) ، تراب دياتومي (diatomaceous earth) ، سيلانيت (celite) ، فيلتاك (filtac) وغيرها ..

وقد عرف مصطلح البورسيلينات من قبل العديد من المؤلفين ، حيث أن أفضل تعريف يعتمد على الملمس والتركيب حيث طبقه Jabboory عام 1999 بأن البورسيلينات عبارة عن صخور رسوبية تتكون من 50 % على الأقل من الكريستوبولايت (Cristobalite) والتريدمايت (Tridymite) وهو منتج متطور للسليكا . و تستخدم Cristobalite و Tridymite لصناعة المرشحات بسبب تركيبها البلوري ونفاذيتها العالية اذ تتميز بتركيب بلوري مفتوح يحتوي على قنوات بلورية تسمح بامتزاز ايونات كبيرة الحجم [66]. تتميز البورسيلينات بالوزن الخفيف واللمعان الترابي المتصلب وقد يكون ذو ملمس ناعم ، و يتراوح لون البورسيلينات من الأبيض الى الاصفر الى الباهت في بعض العينات [67]. وقد أجريت دراسة عديدة لتقييم كفاءة صخور البورسيلينات العراقية كوسيط مرشح في تصفية مياه الشرب اذ يمكن استخدام هذه الصخور كوسط مرشح من المرشحات الثنائية الوسط وبالأشتراك مع الرمل ومن ثم مقارنته مع المرشحات الاعتيادية الحاوية على الرمل فقط [68]. إذ تم الاستنتاج بأن مرشحات البورسيلينات أو المرشحات ثنائية الوسط يمكن استخدامها بدلاً من المرشحات الرملية المستخدمة حالياً في منظومات ومحطات معالجة المياه المحلية للحصول على كفاءة افضل بسبب كفاءة الأداء المتوقع للبورسيلينات وبدون اجراء أي تغييرات ميكانيكية للمرشحات الحالية [69]. كذلك استخدمت صخورالبورسيلينات العراقية في صنع القواشط والصواقل لامتلاكها المواصفات الكيميائية والفيزيائية التي تجعلها صالحة لهذه الاغراض. إنَّ البورسيلينات هو مصطلح يستخدمه الجيولوجي العراقي للتعرف على الصخور السيليسية التي تشبه الدياتومايت اذ تم العثور على هذه الصخور في العراق في اماكن مختلفة في مناطق الصحراء الغربية [70]، [71]. اذ تم العثور على رواسب الدياتومايت حيث تختلف في جودتها واستخداماتها من منطقة إلى أخرى، في الولايات المتحدة الامريكية ، المانيا ، طرابلس في الجزائر . تعتبر الولايات المتحدة الامريكية اكبر دولة في انتاج وتصدير الدياتومايت في العالم واستخداماته الرئيسة في التصفية في صنع المرشحات

ومن الجدير ذكره هنا أنّ الصخور العراقية تمتاز باحتوائها على نسب أقل من أكاسيد الحديد اذا ما قورنت مع الصخور الامريكية والجزائرية كما موضح في الجدول (3-1).

جدول (3-1) مقارنة بين مكونات البورسيلينات من مناطق مختلفة من العالم^[72]

| Constituent % | IRAQ | R.U | U.S.A | ALGERIA |
|--------------------------------|-------|-------|-------|---------|
| SiO ₂ | 74.03 | 79.92 | 89.70 | 58.4 |
| Al ₂ O ₃ | 3.65 | 6.58 | 3.72 | 1.66 |
| TiO ₂ | 0.17 | 0.48 | 0.10 | 0.10 |
| P ₂ O ₅ | 1.16 | 0.01 | 0.10 | 0.20 |
| CaO | 5.62 | 1.43 | 0.30 | 13.80 |
| Na ₂ O | 0.06 | 0.65 | 0.31 | 0.96 |
| K ₂ O | 0.17 | 0.71 | 0.41 | 0.51 |
| Fe ₂ O ₃ | 0.97 | 3.56 | 1.09 | 0.79 |
| Others | 10.42 | 4.91 | 3.70 | 17.48 |



الشكل (9-1) صخور البورسيلينات العراقية.

(8-1) التلوث بالصبغات The Pollution by Dyes

تعتبر الصبغات من بين الملوثات التي تؤثر في النظام البيئي المائي لأنها تتكون من عدد كبير من المواد الكيميائية الضارة، إنَّ صناعة النسيج أحد الأسباب التي تزيد من مشكلة تلوث البيئة إذ أنَّ صناعة النسيج تستهلك كميات كبيرة من المياه وبالتالي سوف تنتج كميات كبيرة من المياه الملوثة بالصبغات المختلفة، ان الصعوبات التي تواجه معالجة المياه الملوثة بالصبغات يعود للصبغات نفسها إذ ان هذه الصبغات العضوية وتراكيبها الجزيئية المعقدة وامتلاكها وزن جزيئي عالي (كتلة مولية) كان احد الأسباب لبروز مشكلة وصعوبة معالجة المياه الملوثة بهذه الصبغات [73]. إنَّ الصبغات تستخدم في كثير من الصناعات مثل المنسوجات، الورق، المطاط، البلاستيك، مستحضرات التجميل وغيرها لتلوين منتجاتها إذ أنَّ هذه الصبغات موجودة بشكل ثابت في النفايات الصناعية وبالتالي يتم تصريفها في موارد المياه السطحية، حيث ان المواد لا تسبب مشكلة من الناحية الجمالية للماء فقط بل تمنع دخول ضوء الشمس وبالتالي تقلل من تفاعل التمثيل الغذائي وبالنظر لثباتية الصبغات الحديثة اصبحت طرق المعالجة الفيزيائية والكيميائية التقليدية غير فعالة في ازلتها [74]، [75] مثل التخثر والتلبد.

تصنف الصبغات إلى عدة أنواع بالأعتماد على التركيب الكيميائي منها الحامضية والقاعدية والمباشرة والفعالة والدهنية وكما موضح حسب الجدول (4-1).

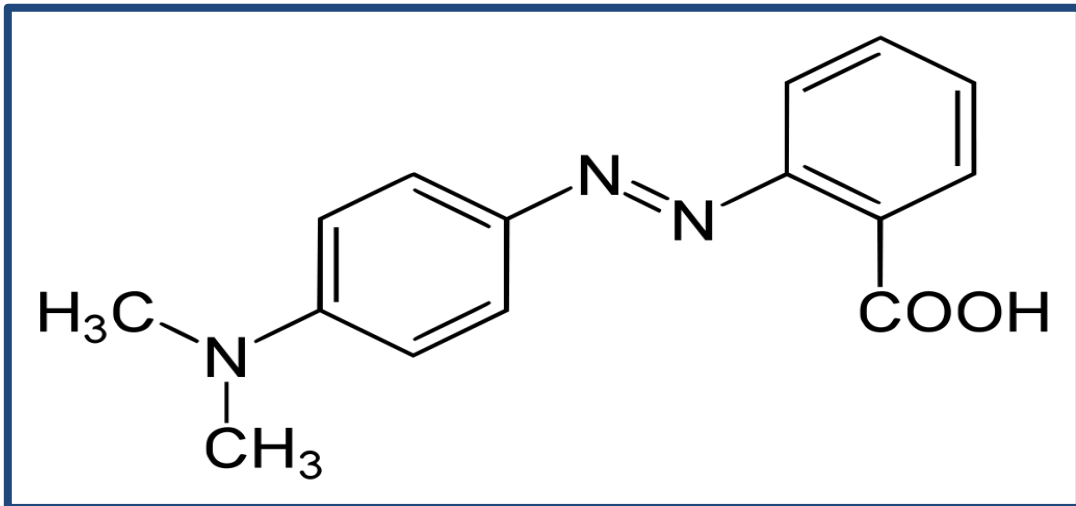
الجدول (4-1) تصنيف الصبغات [76]

| نوع الصبغة | مثال | التطبيقات |
|------------------|---|--|
| الصبغات الحامضية | Methyl orange, Methyl red, and CBB-G250 Congo red | الصوف، الحرير، الياف البولي يورثين، النايلون . |
| الصبغات القاعدية | Aniline yellow, Safranin, and Malachite green | البولي استرات الصيدلانية، القطن، الورق . |
| الصبغات المباشرة | Martius yellow and Congo red | القطن، الصوف، الحرير، النايلون |
| الصبغات الفعالة | Procion dye (2,4,6-tri chloro 1,3,5-triazine) | القطن، الصوف، الحرير . |
| الصبغات الدهنية | Indigo, Benzanthro and Tyrian purple | الصوف، عامل تلوينا في الغذاء |

إنَّ معظم الصبغات خاملة غير سامة وبالمقابل هناك صبغات سامة ذات تأثير سمي على الانسان مثل (Benzidine) وهناك اصباغ لها تأثيرات ملحوظة على البيئة الحياتية [77] وقد وضع العلماء العديد من الطرق لتخلص من هذه الاصباغ والتي تكون من اهمها الأمتزاز والأكسدة الكيميائية والمعاملة بالأوزون والضغط الازموزي العكسي والطرق البايولوجية [78]. ان الكربون الفعال من اكثر المواد شيوعاً لتخلص من الصبغات [79]. يعتبر الأمتزاز من الطرق المهمة او نستطيع القول من اهم الطرق المستخدمة لتخلص من الصبغات اذ ان معظم الدراسات التي تناولت موضوع الأمتزاز كانت مهتمة بالسطوح الكربون المنظمة غير القطبية، ونتيجة لتطور التحليلات الطيفية واستخدام سطوح اخرى غير الكربون مثل الزيولايت واطيان الكاوولين والبنتونايت [80].

صبغة (1-8-1) Methyl Red

صبغة المثيل الأحمر (MR) هي صبغة حامضية أحادية الأزو شائعة الاستخدام في الاختبارات المعملية والمنسوجات وغيرها من المنتجات التجارية قابلة للذوبان في الماء والكحول ؛ ومع ذلك ، فإنه قد يسبب حساسية للعين والجلد وتهيج البلعوم أو الجهاز الهضمي إذا تم استنشاقه أو ابتلاعه .كذلك تستخدم صبغة (MR) كمؤشر للأس الهيدروجيني؛ إنه أحمر في درجة الحموضة أقل من 4.4 ، أصفر في درجة حموضة أعلى من 6.2 ، وبرتقالي بينهما [81].



الشكل (10-1) الصيغة التركيبية لصبغة Methyl Red [82]

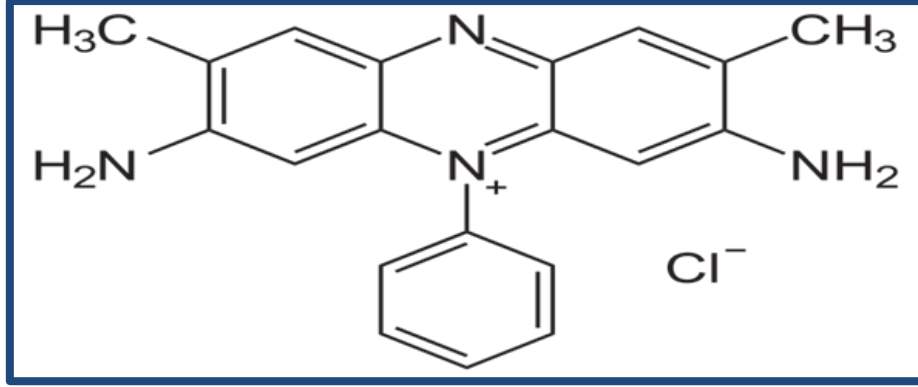
كصبغة أزو ، يمكن تحضير الميثيل الأحمر بواسطة ديازوتيزيشن من حمض أنثراينيليك ، متبوعاً بتفاعل مع ثنائي ميثيل انيلين. للميثيل الأحمر استخدام خاص في علم التشريح المرضي لإظهار الطبيعة الحمضية للأنسجة ووجود كائنات حية ذات جدران خلوية حمضية طبيعية^[83] ، يحتوي الميثيل الأحمر أيضاً على تطبيقات مهمة، مثل التحديد الطيفي الضوئي للبروم ، وهو مفيد جداً للتحكم في تركيز هذا الهالوجين. وتجدر الإشارة إلى أن البروم موجود خاصة في مختبرات النشاط الحيوي الكيميائي وكذلك في النفايات المتبقية الناتجة عن المعامل التي تنتج و تصنع المواد الكيميائية للاستخدام الصيدلاني التي تشتمل على البروم كعنصر كيميائي رئيسي. بالإضافة إلى ذلك ، فقد تم استخدامه كنموذج لتقييم عمل جسيمات السيليكا النانوية التي يمكن أن تعمل على تحلل المخلفات التي تحتوي على أصباغ الأزو. تم استخدام الميثيل الأحمر في العديد من التحقيقات ، من أجل إيجاد حل ممكن لتطهير مصادر المياه التي تستقبل النفايات السامة الناتجة عن صناعات النسيج ، والتي تستخدم أصباغ أزو المختلفة. من ناحية أخرى ، يتم التحقيق في مؤشر الأس الهيدروجيني هذا باعتباره مادة مفيدة محتملة في تدمير الهيدروكربونات الكلورة بالعوامل الكهروكيميائية. هذا مهم للغاية ، لأن الهيدروكربونات الكلورة هي مركبات سامة تضر بالبيئة^[84] .

(2-8-1) صبغة Safranin

هو صبغة حيوية قابلة للذوبان في الماء تستخدم في علم الأنسجة وعلم الخلية. حيث يستخدم السفرانين كصبغة تباين في بعض بروتوكولات الصباغة إذ يصبغ نواة الخلية بلون أحمر. وهو يعتبر صبغة تباين كلاسيكية تستخدم في صبغ الأبواغ الداخلية. وهو يستخدم للكشف عن الغضاريف ، وبروتين المومين الذي تنتجه خلايا النسيج الطلائي، ويستخدم للكشف عن حبيبات الخلايا الصارية^[85]،

السفرانين هو أحد الاصباغ الكاتيونية الأكثر استخداماً التي تضر بالإنسان يمكن أن يسبب تهيج العين والجلد وتهيج الجهاز التنفسي كما يمكن أن يسبب إصابة دائمة في القرنية والملتحمة عند الإنسان. بشكل نموذجي السفرانين يمتلك تركيباً كيميائياً كالموضح في الشكل(1-11) لذا يوصف أحيانا بأنه ثنائي ميثيل سفرانين. هناك أيضاً ثلاثي ميثيل سفرانين الذي يمتلك مجموعة ميثيل مضافة على الموقع أورثو من الحلقة السفلى. كلا المركبين السابقين يسلكان بشكل أساسي سلوكاً مماثلاً في تطبيقات الصبغ الحيوي، ومعظم منتجي السفرانين وأصحاب المصانع

والمعامل التي تنتجها لا تميز أو تفرق بين المركبين. تحضير السفرائين للأغراض التجارية عادة ما يحتوي على خليط ومزيج من المركبين السابقين [86]



الشكل (11-1) الصيغة التركيبية لصبغة Safranin [87]

السفرائين هو عامل ملوث ويستخدم على نطاق واسع كصبغة في الصناعات النسيجية والجلود والورق وكذلك في الأبحاث المتعلقة بالنسيج وعلم الجراثيم. وهي كذلك صبغة الفينازين التي تم استخدامها محسس ضوئي في تفاعلات نقل الإلكترون والطاقة وتستخدم على نطاق واسع كمؤشر الأكسدة والاختزال في الكيمياء التحليلية. بالإضافة الى ذلك استعملت ككاشف تحليلي لتحديد النتريت في الوسط الحمضي؛ تفاعل سفرائين مع النتريت لتكوين كاتيون الديازونيوم، مما تسبب في تغيير اللون البرتقالي المحمر لمحلول الصبغة إلى اللون الأزرق [88].

(9-1): المسح في الأدبيات The Literature Survey

أصبح الإمتزاز اليوم علماً واسع التطبيق، إذ فتح أفقاً جديدة في مختلف العلوم ومجالات الحياة وهو في تقدم مستمر، إذ استعملت طريقة الإمتزاز كإحدى الحلول الناجحة في معالجة مشكلات تلوث المياه الناتجة من مخلفات المياه الصناعية ولاسيما مخلفات مصانع الصباغة، والنسيج.

1.9.1 المسح في الأدبيات لصبغة Methyl Red

The Literature Survey of Methyl Red dye

هناك الكثير من الباحثين عملوا على إزالة صبغة Methyl Red من محاليلها المائية باستخدام اسطح امتزاز مختلفة وقاموا بدراسة الظروف الفضلى لعملية الازالة المتمثلة بزمن الاتزان، كمية السطح الماز، الدالة الحامضية، درجة الحرارة، الشدة الايونية وكذلك حساب الدوال الترموديناميكية لعملية الازالة وايزوثيرمات الامتزاز. كما موضح في الجدول (1-5).

جدول (5-1) مسح ادبيات صبغة Methyl Red

| المصادر | Model | ظروف الامتزاز | السطح الماز | اسم الباحث | ت |
|---------|--|---|-----------------------|--|---|
| [89] | Langmuir and Freundlich متوافقة مع Langmuir | في هذه الدراسة استخدم الفحم من قشرة الكاكو في ازالة صبغة MR وجد وقت التوازن عند 40 دقيقة، كانت السعة القصوى للامتصاص 12.2343 mg/g | الفحم من قشرة الكاكو | Kouadio, D.L., Dalogo, K. A. P., Vroh, B. T. P., Diarra, M., Dongui, B. K., Mamadou, K., | 1 |
| [90] | Langmuir and Freundlich متوافقة مع Langmuir | في هذه الدراسة تم استخدام مسحوق قشر البيض (ESP) لازالة صبغة MR أظهرت دراسات الامتزاز أن مسحوق قشر البيض أزال ما يقارب 82% من صبغة MR في الظروف المحسنة عند درجة حموضة 2 وتركيز الصبغة الأولي 20mg/L، ووقت التلامس 180 دقيقة ودرجة حرارة 25 درجة مئوية. ومن خلال دراسة الدوال الديناميكية تبين ان العملية ماصة للحرارة وهنالك زيادة في العشوائية بين السطح الماز والمادة الممتزة | مسحوق قشر البيض (ESP) | Rajoriya, S., Saharan, V.K., Pundir, A. S., Nigam, M., Roy, K | 2 |
| [91] | Freundlich and Halsey and Dubinin-Radushkevich and Langmuir متوافقة مع Freundlich and Halsey | في هذه الدراسة تم استخدام هيدروكسيباتيت كمتز لازالة صبغة MR، عملية الامتزاز أجريت بأربع تجارب مختلفة الأولى عند 90 دقيقة كانت نسبة الازالة 97%، الثانية نفس الزمن عند PH=4 كانت النسبة 91.6%، الثالثة عند نفس الظروف السابقة مع تغير تركيز الصبغة وجدت النسبة 94.6%، الرابعة عند تغير جرعة الممتزات وجد أن جرعة الامتصاص هي 2g بنسبة ازالة 94.6 % | هيدروكسيباتيت | Ali, D. A., Shawky, M. S., & Elsaywy, H.A | 3 |

| | | | | | |
|------|--|--|---|---|---|
| [92] | Langmuir and Freundlich متوافقة مع Langmuir | استخدم سطح معادن الطين الطبيعية لازالة صبغة MR كان وقت التلامس 5 دقائق كتل المواد الماصةالأفضل 0.25g، 0.5 عند PH=7 و PH=5 على التوالي، نسبة الازالة %98 كانت العملية ماصة للحرارة تلقائية. | معادن الطين الطبيعية raw(ANb) and purified clays (Anp) | Romdhane, D.F., Satlaoui, Y., Nasraoui, R., Charef, A., & Azouzi, R | 4 |
| [93] | Langmuir and Freundlich متوافقة مع Freundlich | في هذه الدراسة استخدم مسحوق قشرة الارز لازالة صبغة MR بينت التجارب ان وقت التلامس كان 100 دقيقة عند دالة حامضية 10 في 303K كان التركيز الابتدائي للصبغة 50mg/L عند 1g من الجرعة الماصة تم حساب الدوال الثرموديناميكية H,G النتائج الي حصلوا عليها تشير إلى الطبيعة التلقائية والباعثة للحرارة لعملية الامتزاز | مسحوق قشور الأرز (RHP) | Omokpariola, D. O., & Otusorochi, J. N | 5 |
| [94] | | في هذا البحث تم استخدام الكيتوزان والبنتونيت كان معدل الإزالة ل MR هو الأفضل؛ كمية المادة الماصة المستخدمة هي 0.7mg للوصول إلى التشبع | الكيـــــــــــــــــتوزان والبنتونيت | Xiang,P., Deng, C., Liu, L., & Huang, Y | 6 |
| [95] | Langmuir and Freundlich متوافقة مع Langmuir | استخدمت في هذه الدراسة انواع مختلفة من معادن الطين هي Zemero, Mehal, Seladengay تم تعديل أسطحها بشكل منفصل بحمض H ₂ SO ₄ وحمض HNO ₃ وحمض HCl على التوالي بنسب مقدارها. اظهرت النتائج أن معدن الطين Zemero كان أكثر كفاءة في ازالة صبغة MR مقارنة مع Mehal و Seladengay المنشط بنسبة ازالة بلغت 99.33% | معادن الطين الطبيعية المعدلة وهم Zemero, Seladengay Mehal | Shiferaw, Y., Yassin, J. M., Tedla, A | 7 |

| | | | | | |
|------|--|--|---|--|----|
| [96] | Langmuir and Freundlich متوافقة مع Langmuir | Lysinibacillus fusiformis W1B6 أعلى إزالة ملونة لحوالي 96% من الميثيل الأحمر خلال ساعتين. تم تحقيق إزالة اللون الأمثل عند درجة الحموضة 7.5، عند 30 درجة مئوية | Lysinibacillus fusiformis W1B6 | Sari, I. P., & Simarani, K | 8 |
| [97] | Langmuir and Freundlich Koble-Corrigan متوافقة مع Langmuir and Koble-Corrigan | في هذا البحث تم استخدام الكربون المنشط المستند إلى أوراق الليمون (LGLAC) لوحظ إمتزاز صبغة الميثيل الحمراء يزداد مع زيادة تركيز الصبغة الأولي ووقت التلامس ودرجة حرارة المحلول لوحظت النسبة المثلى من صبغة الميثيل الحمراء المزالة عند الرقم الهيدروجيني 2 | الكربون المنشط المستند إلى أوراق الليمون (LGLAC) | Ahmad,M.A Ahmed,N.A B., Adegoke, K. A., & Bello, O. S | 9 |
| [98] | Langmuir and Freundlich Temkin متوافقة مع Langmuir Freundlich | في هذا البحث تم استخدام الكيتوزان المعدل بالثيوسيميكاربازيد كمنزج جديد لإزالة صبغة MR، تم العثور على أقصى نسبة إزالة لـ MR بحوالي 91% عند PH=5 تم تحديد الدوال الديناميكية الحرارية بما في ذلك G و H تظهر النتائج أن عملية الامتصاص كانت تلقائية وممتص للحرارة | الكيتوزان المعدل بالثيوسيميكاربازيد | Mozaffari,M Emami, M. R. S., & Binaeian, E | 10 |
| [99] | Langmuir and Freundlich متوافقة مع Langmuir and Freundlich | تمت دراسة إزالة صبغة MR باستخدام الرماد المتطاير للفحم المتولد من محطة توليد الطاقة الحرارية القائمة على الفحم إزالة الصبغة تزداد بزيادة جرعة الممتزات ، تركيز الصبغة الأولي. ووقت التلامس كان 120 دقيقة | الرماد المتطاير للفحم المتولد من محطة توليد الطاقة الحرارية القائمة على الفحم | Bekele, B.A., Demelash, M. A. B. F. B | 11 |

| | | | | | |
|-------|---|---|---------------------------|---|----|
| [100] | Langmuir and, Freundlich متوافقة مع Freundlich | استخدم مسحوق قشرة البطاطس الأبيض في ازالة صبغة MR وكان وقت التوازن 80 دقيقة عند PH=2 وعند درجة حرارة 303K حيث كان تركيز الصبغة 50mg/L وزن السطح الممتز 0.1g بلغت نسبة الازالة 86.81% | مسحوق قشرة البطاطس الأبيض | Enenebeaku, C. K., Okorocho, N.J., Uchechi, E. E., & Ukaga, I. C. | 12 |
| [101] | Langmuir and Freundlich متوافقة مع Langmuir Freundlich | في هذه الدراسة استخدم قشور الرز المطحونة كمادة مازة (مزيلة) في ازالة صبغة MR وكانت نسبة الأزالة 65% عند التركيز الأولي 50 mg/L ووزن المادة المازة 10g ووجد ان إزالة الميثيل الأحمر يزيد مع زيادة جرعة الممتزات المستخدمة وتركيزات الصبغة الأولية. | قشور الرز المطحونة | Abdulhussein, H. A., & Hassan, A. A | 13 |

2.9.1 – المسح في الأدبيات لصبغة Safranin

The Literature Survey of Safranin dye

هناك الكثير من الباحثين عملوا على إزالة صبغة Safranin من محاليلها المائية باستخدام اسطح امتزاز مختلفة وقاموا بدراسة الظروف الفضلى لعملية الازالة المتمثلة بزمن الاتزان ، كمية السطح الماز ، الدالة الحامضية ، درجة الحرارة ، الشدة الايونية وكذلك حساب الدوال الترموديناميكية لعملية الازالة وايزوثيرمات الامتزاز . كما موضح في الجدول (1-6) .

جدول (6-1) مسح ادبيات صبغة Safranin

| المصادر | Model | ظروف الامتزاز | السطح الماز | اسم الباحث | ت |
|---------|--|--|---|---|---|
| [102] | Langmuir Freundlich متوافقة مع Langmuir | يتم دراسة الجسيمات النانوية الخضراء على نطاق واسع ، نظراً لتكلفتها المنخفضة ، وعدم سميتها ، وكفاءتها العالية في عمليات الامتزاز اذ تميز CuO-NP بالتحليل الكيميائي الفيزيائي. تشير هذه التحليلات إلى أن عملية الأكسدة والاختزال حدثت بكفاءة اسفرت دراسة التوازن عن قدرة امتصاص قدرها 189.5mg/g عند 298K وقت التوازن لازالة صبغة Sf هو 480 دقيقة | جسيمات أكسيد النحاس النانوية (CuO-NP) ، التي تم الحصول عليها من مستخلص أوراق الرمان | Vidovix, T. B., Quesada, H.B., Bergamasco,R, Vieira, M. F., Vieira, A. M. S | 1 |
| [103] | Langmuir Freundlich متوافقة مع Langmuir | في هذه الدراسة تم استكشاف فاعلية مركب هجين زجاجي من كحول البولي ينيل / هلام السيليكا لإزالة SF من المحاليل المائية. كانت السعات القصوى للامتصاص عند 298 و 303 و 318 كلفن 9.5 mg/g و 11 و 12.5 على التوالي. اعتقدت الدراسات الديناميكية الحرارية أن عملية الإزالة كانت تلقائية، ماصة للحرارة $\Delta H = 17.48 \text{ kJ mol}^{-1}$ | كحول البولي فينيل / هلام السيليكا | Kamel, M.M., Alsohaimi,I.H., Alhumaimess, M. S., Hassan, H., Alshammari,M , S. | 2 |
| [104] | Langmuir Freundlich متوافقة مع Langmuir | في هذه الدراسة تم استخدام CBC,CBM لازالة صبغة استعملت درجات حرارية (400,500,600) ظهرت مادة CBC600 إزالة أعلى لصبغة SF 99.60% وقدرة امتصاص 4.98mg/g بينما CBC500 90.50% وقدرة امتصاص CBC400 و 4.52mg/g و 83.90% وقدرة امتصاص 4.20mg/g بينما اظهر 64.40% CBM | الفحم الحيوي CBC and CBM | Suleman, M., Zafar, M., Ahmed, A., Rashid, M. U., Hussain, S., Razzaq, A., Park, Y. K | 3 |

| | | | | | |
|-------|---|---|--|--|---|
| [105] | Langmuir Freundlich Temkin متوافقة مع Langmuir | في هذه الدراسة استخدمت الراتنجات الموجبة من نوع IRC-50® أظهرت النتائج التي تم الحصول عليها أن امتصاص الصبغة كان سريعاً خلال الدقائق القليلة الأولى ووصل معدل الإزالة إلى أكثر من 97% في أول 60 دقيقة من وقت التلامس مع مادة الامتصاص، ثم استقر عند 120 دقيقة. أظهرت جميع النتائج بوضوح، أن سطح IRC-50® مسامي وغير منتظم، وهو أمر مناسب لامتصاص فعال لجزيئات صبغة SF | الراتنج الموجب Amberlite IRC-50® | Bensalah, J., Habsaoui, A., Dagdag, O., Lebkiri, A., Ismi, I., Rifi, E. H., ... Zarrouk, A | 4 |
| [106] | Langmuir Freundlich Temkin Dubinin متوافقة مع Langmuir Freundlich | وضحت النتائج أن إزالة صبغة Sf كانت معتمدة بشدة على الرقم الهيدروجيني ولوحظ الحد الأقصى لإزالة الصبغة عند درجة حموضة التوازن 9 ، ووجد أن جرعة امتصاص المثلى 5mg/L ووقت التلامس 180 دقيقة. وجد أن الامتزاز يزداد مع زيادة درجة الحرارة مما يدل على أن العملية طاردة للحرارة في الطبيعة. تم العثور على الحد الأقصى لإزالة صبغة الزعفران بنسبة % 97.14 عند 298K | الزيوليت من رماد الفحم المتطاير | Jain, P., Shrivastava, P., Malviya, V., Rai, B., Dwivedi, M.K. | 5 |
| [107] | Langmuir Freundlich Temkin Dubinin متوافقة مع Langmuir Freundlich | في هذا البحث تم اختبار ملائمة مسحوق (OLP) للعمل كمتز لإزالة صبغة SF من المحاليل المائية. وقت الاتزان عند 40 دقيقة وقيمة PH= 5.0 | مسحوق اور أوراق الزيتون (OLP) | Elsherif, K. M., El-Dali, A., Ewlad- Ahmed, A. M., Treban, A., & Alttayib, I | 6 |

| | | | | | |
|-------|---|---|--|--|----|
| [108] | | في هذا البحث تم وصف طريقة سهلة وصديقة للبيئة لتحضير جزيئات النيكل النانوية (Ni NPs) بناءً على التخفيض الحيوي ل Ni المائية مع مستخلص <i>Phlomis cancellata</i> Bunge تشير النتائج الى أن درجة حرارة التفاعل البالغة 90 درجة مئوية ومدة 30 دقيقة، ودرجة الحموضة 9.5 وتركيز 26mg/L من $Ni(NO_3)_2$ أكبر كمية من الجسيمات النانوية تمت دراسة هذه النيكل NPs بسبب الدور المحتمل في التلوث الضوئي لصبغة SF تحت إشعاع الضوء الشمسي. في الظروف المثلى ، تحلل صبغة SF بنسبة تصل إلى 90 % . | Ni NPs | Heydari, S., Z., Hosseinpour Zaryabi, M | 7 |
| [109] | Langmuir, Freundlich Temkin متوافقة مع Langmuir | تمت دراسة ازالة صبغة SF من المحاليل المائية باستخدام قشور (MP) حيث كانت اعلى نسبة امتزاز 84.75% تم دراسة دوال الثرموداينمك $\Delta G, \Delta H$, كانت العملية ماصة للحرارة و تلقائية | منتجات الثانوية الزراعية مثل قشور اليوسفي (MP) | Januário, E. F. D., Vidovix, T. B., Araújo, L. A. D., Bergamasco Beltran, L., Bergamasco, R., Vieira, A. .M. S | 8 |
| [110] | | تمت دراسة ازالة صبغة SF من محاليلها المائية بواسطة CA and FeO/CA حيث كان التركيز الأولي للصبغة (5mg/L) وكانت نسبة الازالة للصبغة 97.691 % بلغت 1.910mg/g | أوكسيد الحديد النانوي CA and Nano FeO/CA | Hussain, A. F A., Halboos, M.H | 9 |
| [111] | Langmuir and Freundlich Temkin متوافقة مع Freundlich Langmuir | تم استخدام الزيوليت الطبيعي في ازالة صبغة Sf وفقاً للدراسة، تم اكتشاف 40 دقيقة على أنها توازن إزالة اللون من Sf بواسطة Heulandite Clinoptilolite, الكشف عن البيئة القاعدية لتكون أفضل وسط لإزالة | ثلاث انواع من الزيوليت الطبيعي وهم heulandite, clinoptilolite and pHillipsit | Abukhadra, M. R., & Mohamed, A. S | 10 |

| | | | | | |
|-------|--|---|--|--|----|
| [112] | Langmuir Freundlich متوافقة مع Langmuir | في هذا العمل تمت دراسة فعالية نشارة الخشب المفسفرة (RSD @ P) لامتصاص صبغة SF و من الأنظمة المائية. عوامل الامتزاز ذات الصلة ؛ الرقم الهيدروجيني ، وقت التحريك ، تم توضيح تركيز الصبغة الأولية و وزن RSD @ P وجدت ساعات الامتصاص المحسوبة باستخدام نموذج Langmuir 124.72 ، 109.22,135 عند 318,303 298K ، على التوالي ، أكدت الدراسات الديناميكية الحرارية أن عملية الامتزاز كانت تلقائية ، ماصة للحرارة وفيزيائية بطبيعتها | نشارة الخشب المفسفرة (RSD @ P) | Alhumaimess, M. S | 11 |
| [113] | Langmuir Freundlich Temkin متوافقة مع Langmuir | تم دراسة إزالة صبغة SF من محلول مائي باستخدام رماد قشرة الفول السوداني المشرب بالحديد Fe-PSA كعامل مساعد في عملية Fenton غير المتجانسة بمساعدة الأشعة فوق البنفسجية (Fe-PSA / H2O2 / UV). عند PH=3 التركيز الأولي ل SF 50mg/L ، درجة الحرارة 298K. أظهرت النتائج كفاءة أداء Fe-PSA كمحفز في عملية Fe-PSA / H2O2 / UV للمعالجة SF | رماد قشرة الفول السوداني المشرب بالحديد (Fe-PSA) | Ikhlq, A., Anwar, H. Z., Javed, F., & Gull, S | 12 |
| [114] | Langmuir Freundlich متوافقة مع Freundlich | تم تصنيع مواد السيليكا المسامية من النوع MCM-48 بنجاح باستخدام أنواع مختلفة من مادة صلبة حاملة للسيليكا النفايات بما في ذلك دخان السيليكا ، وهلام السيليكا من رماد قشر الأرز ومخلفات الزجاج كمواد ماصة لصبغ SF . | السيليكا المسامية من النوع MCM-48 | Abukhadra, M. R., Shaban, M | 13 |

| | | | | | |
|-------|--|--|--|---|----|
| [115] | Langmuir Freundlich Temkin متوافقة مع Freundlich | Ppy NF/Zn-Fe LDH تم استخدامه لازالة صبغة SF يمكن تحقيق الإزالة التحفيزية الكاملة للصبغة باستخدام تركيز 5mg/L من الصبغة بعد ان كان وقت التوازن 20 دقيقة باستخدام وزن من المركب 0.05g | polypyrrole nanofiber Ppy NF/Zn-Fe LDH layered double hydroxide nanocomposite (Ppy) | Mohamed,F., Abukhadra, M. R., & Shaban, .M | 14 |
| [116] | Langmuir Freundlich Temkin متوافقة مع Langmuir | تمت دراسة ازالة صبغة Sf من المحاليل المائية باستخدام كربون الجرافيت PG المحضر من رماد قشرة الارز , أظهرت الدراسات الحركية أنه تم الوصول إلى توازن الامتصاص بعد 480 دقيقة و Qmax المحسوب هو 20.66mg/g عند PH= 6 | كربون الجرافيت (PG) المصنع من رماد قشر الأرز | Shaban, M., Abukhadra, M. R., Mohamed, A. S., Shahien, M. G., Ibrahim, S. S | 15 |

Aim of Study

(10-1) الهدف من الدراسة

يهدف العمل في هذه الدراسة إلى إمكانية استخدام صخور البورسيلينات العراقية و شكلها المحور (بوليمر بورسيلينات- ميلامين - فورمالديهايد) في إزالة صبغتي MethylRed و Safranin من محاليلها المائية و دراسة الظروف الفضلى لعملية الإزالة و المتمثلة بـ (زمن الاتزان Contact time ، كمية السطح ألاماز Weight of adsorbant ، الدالة الحامضية PH ، درجة الحرارة Temperature و الشدة الأيونية Ionic strength). و ثم حساب الدوال الترموديناميكية لعملية الإزالة (انتالبي عملية الإزالة ΔH ، انتروبي عملية الإزالة ΔS و طاقة كبس لعملية الإزالة ΔG) ، وكذلك دراسة ايزوثيرمات الامتزاز و مدى انطباقها مع معادلات لانكماير ، فريندلش و تمكن .

الفصل الثاني

الجزء العملي

Experimental Part Instruments Used

2. الجزء العملي 1.2- الأجهزة المستعملة

لقد تم استعمال الأجهزة الموضحة في الجدول (1-2) في هذه الدراسة.

جدول (1-2) الأجهزة المستعملة في هذه الدراسة.

| مكان الجهاز | الشركة | اسم الجهاز | ت |
|---|-------------------|--|----|
| جامعة كربلاء/كلية التربية للعلوم الصرفة | Shimadzu, Japan | مطياف الأشعة فوق البنفسجية - المرئية ثنائي الحزمة UV – Visible Spectrophotometer Double Beam-1800 | 1 |
| جامعة بغداد/كلية العلوم | Shimadzu, Japan | مجهر القوى الذرية AFM Atomic force microscopy–spamAA3000,USA2008 | 2 |
| جامعة بابل/كلية الصيدلة | Shimadzu, Japan | مطياف الأشعة تحت الحمراء FT-IR Fourier Transform Infrared Spectrophotometer–8900s | 3 |
| جامعة بغداد/كلية التربية ابن الهيثم | Shimadzu, Japan | X-Ray جهاز حيود الأشعة السينية X-Ray Diffraction Spectroscopy – Lab XRD -6000 | 4 |
| جامعة كوفة/كلية العلوم | Shimadzu, Japan | مجهر المسح الإلكتروني SEM Scanning Electron Microscopy | 5 |
| جامعة كربلاء/كلية التربية للعلوم الصرفة | Germany Denver | ميزان الكتروني حساس ذو اربع مراتب عشرية Electronic Balance TP-214 | 6 |
| جامعة كربلاء/كلية التربية للعلوم الصرفة | Labtech, Korea | فرن تجفيف كهربائي Oven Memort LOD – 080 + N | 7 |
| جامعة كربلاء/كلية التربية للعلوم الصرفة | Universal Germany | جهاز الطرد المركزي Centerifuge – Hettich | 8 |
| جامعة كربلاء/كلية التربية للعلوم الصرفة | Korea PHOENIK | جهاز الدالة الحامضية pH | 9 |
| جامعة كربلاء/كلية التربية للعلوم الصرفة | Germany | حمام مائي هزاز Thermo stated shaker GFL(D-300) | 10 |
| جامعة كربلاء/كلية التربية للعلوم الصرفة | Chine | طاحونة كهربائية Blender | 11 |

2.2- المواد الكيميائية

Chemicals

تضمنت هذه الدراسة استعمال المواد الكيميائية الموضحة في الجدول (2-2) ، الجدول يبين الصيغة الجزيئية لكل مادة، الشركة المصنعة لها ، نقاوتها ، وأيضاً الوزن الجزيئي .

الجدول (2-2) بعض صفات المواد الكيميائية.

| الوزن الجزيئي (g/mol) | النقاوة | الشركة | الصيغة الجزيئية | المادة | ت |
|-----------------------|---------|---------|---|----------------------------|----|
| 269.30 | 99% | SIGMA | C ₁₅ H ₁₅ N ₃ O ₂ | صبغة Methyl Red | 1 |
| 350.85 | 98% | HIMEDIA | C ₂₀ H ₁₉ ClN ₄ | صبغة Safranin | 2 |
| 40 | 98% | B.D.H | NaOH | هيدروكسيد الصوديوم | 3 |
| 36.5 | 37% | B.D.H | HCl | حامض الهيدروكلوريك | 4 |
| 30.03 | 37% | B.D.H | CH ₂ O | فورمالديهايد | 5 |
| 126 | 98% | B.D.H | C ₃ H ₆ N ₆ | ميلامين | 6 |
| 74.551 | 99% | B.D.H | KCl | كلوريد البوتاسيوم | 7 |
| 58.442 | 99% | B.D.H | NaCl | كلوريد الصوديوم | 8 |
| 95.211 | 98% | B.D.H | MgCl ₂ | كلوريد المغنيسيوم | 9 |
| 110.984 | 99% | B.D.H | CaCl ₂ | كلوريد الكالسيوم | 10 |
| | 99% | | | صخور البورسيلينات العراقية | 11 |

3.2- تحضير المحاليل القياسية لصبغتي (MethylRed and Safranin)

Preparation of Standard Solutions for (MR and SF)

لقد تم تحضير محلول صبغة Methyl Red بتركيز (100mg/L) وذلك بأذابة (0.02g) في (200ml) من الماء المقطر، بعدها تم تحضير محاليل مخففة للصبغة بتركيز تتراوح بين (5-21mg/L) من خلال عملية التخفيف بالماء المقطر ، إذ تم استعمال قناني حجمية قياسية ذات سعة 25 ml.

وبالطريقة نفسها تم تحضير محلول صبغة Safranin بتركيز (100 mg/L) بإذابة (0.02g) من الصبغة في (200ml) من الماء المقطر بعدها تم تحضير عدة محاليل مخففة للصبغة بتركيز تتراوح ما بين (0.5-17mg/L) من خلال عملية التخفيف بالماء المقطر، باستعمال قناني حجمية قياسية ذات سعة 25ml .

كذلك تم تحضير 1 لتر من محلول حامض الهيدروكلوريك بتركيز 0.1 mol/L ، اذ تم إضافة 8.33ml من حامض الهيدروكلوريك المركز (التركيز الأصلي 12mol/L) الى قنينة حجمية سعة 1 لتر تحتوي نصفها ماء مقطر، ثم اكملت العملية من خلال اضافة الماء المقطر البارد بحذر إلى القنينة لحد العلامة حتى حصلنا على حجم 1 لتر.

وبالطريقة نفسها تم تحضير 1 لتر من هيدروكسيد الصوديوم بتركيز 0.1mol/L وزنه الجزيئي 40g/mol بأذابة 4g من NaOH في قنينة حجمية سعة 1 لتر ثم اكمل المحلول بالماء المقطر لحد العلامة حتى حصلنا على 1 لتر من NaOH

Preparation of Salt Solution

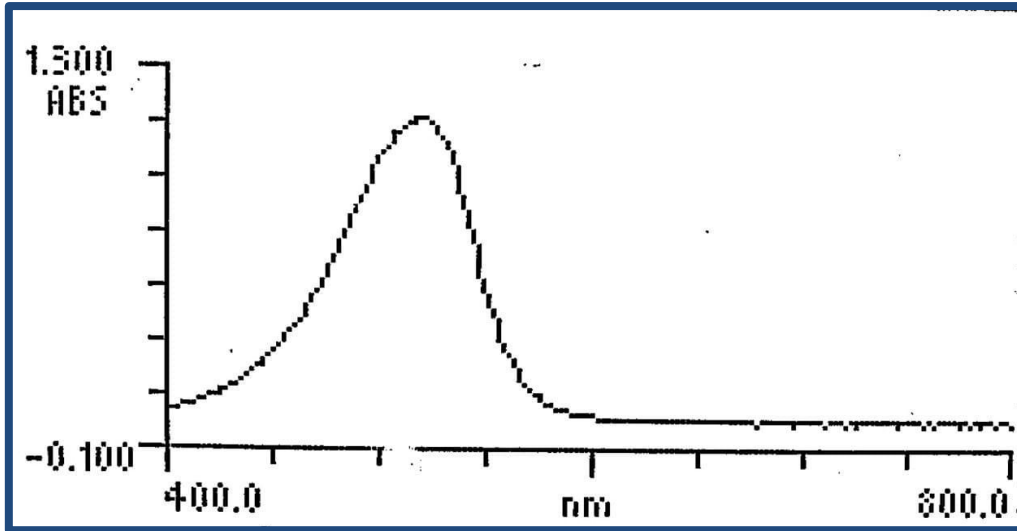
4.2- تحضير محاليل الاملاح

تم تحضير محاليل الاملاح من أجل قياس ودراسة تأثير الشدة الأيونية ، بتركيز (0.5 M) لكل ملح من خلال إذابة (1.3873, 1.1901, 0.9319, 0.7305 g) من املاح كلوريد الصوديوم NaCl ، كلوريد البوتاسيوم KCl ، كلوريد المغنيسيوم MgCl₂ ، وكلوريد الكالسيوم CaCl₂ على التوالي في 25 ml من الماء المقطر ، من هذه المحاليل تم تحضير مدى التراكيز (0.02 - 0.07 M) من خلال أخذ حجم معين من المحلول الأصلي وتخفيفه بالماء المقطر للحجم المحدد.

5.2- تعيين الطول الموجي الأعظم ومنحنى المعايرة لكل صبغة

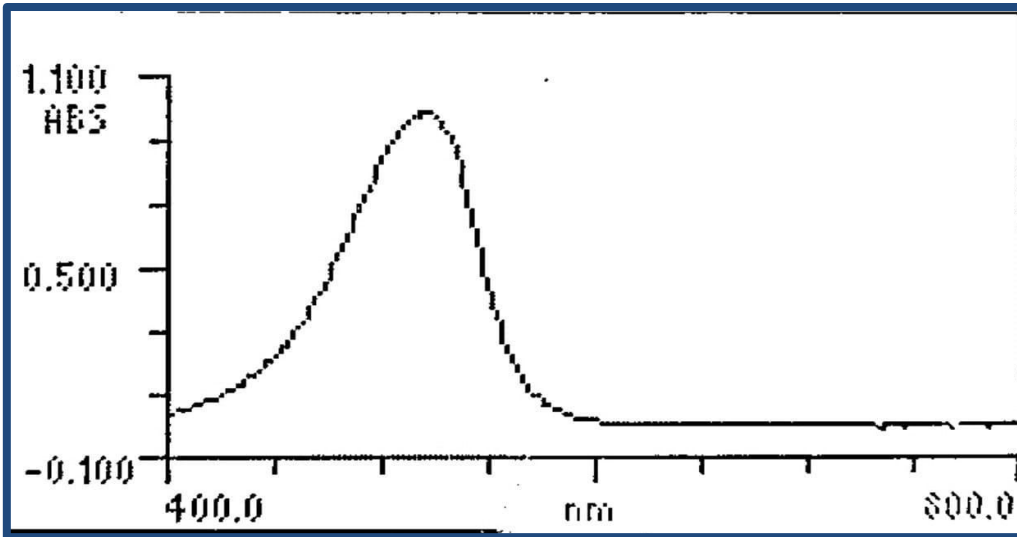
Determination of λ_{max} and Calibration curves for each dye

من أجل تعيين الطول الموجي الاعظم الذي يحصل عنده أعلى امتصاص (λ_{max}) للمحاليل المائية لصبغتي (Methyl Red, Safranin) يتم عن طريق تسجيل طيف الامتصاص باستعمال مطياف الأشعة (فوق البنفسجية – المرئية)، ضمن المدى (400-800nm) باستعمال خلايا من الزجاج سمك (1cm)، لوحظ أنّ قيمة (λ_{max}) لصبغة (MethylRed) هي 520nm كما موضحة في الشكل (1-2)، اما قيمة (λ_{max}) لصبغة (Safranin) هي 530nm كما موضحة في الشكل (2-2).



شكل (1-2) طيف الامتصاص للاشعة فوق البنفسجية - المرئية

لمحلول صبغة Methyl Red ذو تركيز (12. mg/L)

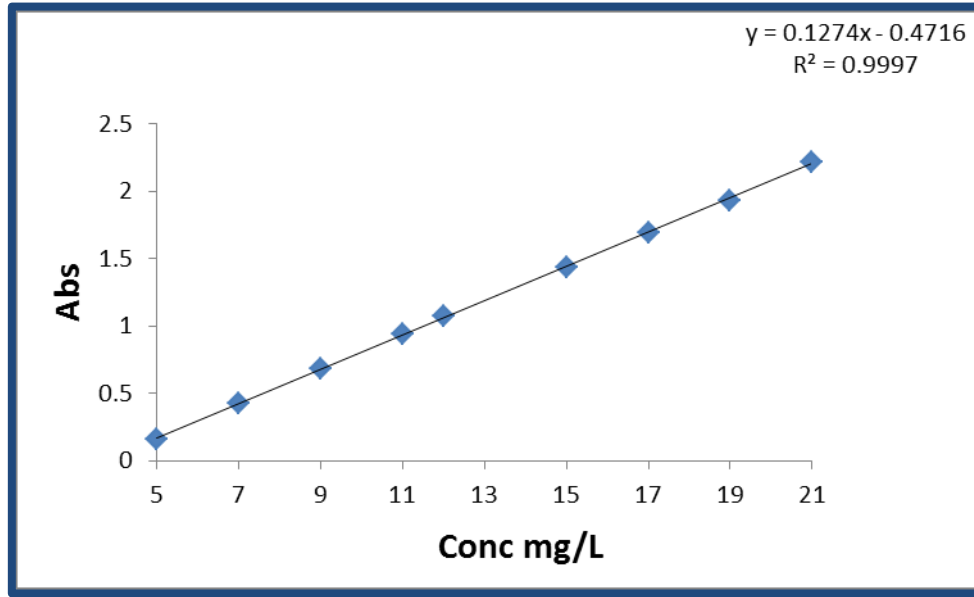


شكل (2-2) طيف الامتصاص للاشعة فوق البنفسجية - المرئية

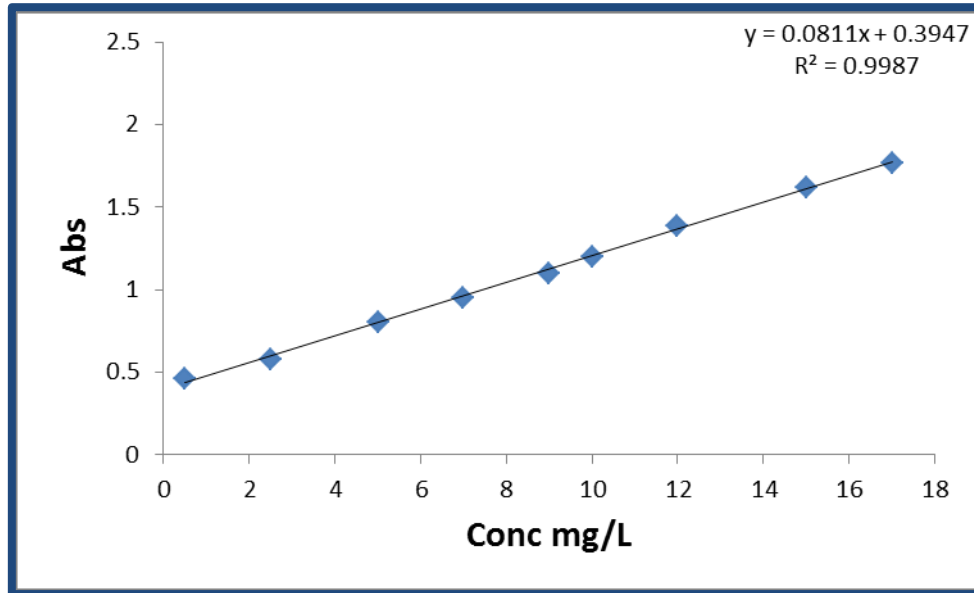
لمحلول صبغة Safranin ذو تركيز (9. mg/L)

لقد عُيِّنَ منحنى المعايرة الذي يمثل العلاقة بين الامتصاصية والتركيز، إذا حُضِّرَت تراكيز مختلفة لصبغة Methyl Red وصبغة Safranin، بعدها قُيِّسَت الامتصاصية لهذه التراكيز عند الطولين الموجيين 520 nm^[117] و 530nm^[118] لصبغتي Methyl Red و Safranin على التوالي ، وعند تطبيق قانون لامبرت - بير لرسم منحنى المعايرة القياسي بين قيم الامتصاصية (Absorbance) مقابل قيم التركيز (Concentration) اذ يمثل الشكل (3-2)

منحني المعايرة لتقدير صبغة MethylRed، أما الشكل (4-2) فهو يمثل منحني المعايرة لتقدير صبغة Safranin وبدرجة حرارة 298K .



الشكل (3-2) منحني المعايرة لتقدير صبغة Methyl Red في المحلول المائي عند طول موجي 520nm.



الشكل (4-2) منحني المعايرة لتقدير صبغة Safranin في المحلول المائي عند طول موجي 530nm.

6.2- السطح ألاماز

Adsorbent Surface

1.6.2- صخور البورسيلينات العراقية

تم الحصول على صخور البورسيلينات العراقية الطبيعية من وزارة الصناعة والمعادن/الشركة العامة للمسح الجيولوجي والتعدين، غسلت هذه الصخور بالماء المقطر لإزالة الشوائب والتخلص من المواد القابلة للذوبان في الماء من الأملاح وغيرها ، جففت العينات لمدة ثلاث ساعات في فرن حرارته (110 C°)، طحن المسحوق المجفف لغرض الحصول على دقائق ناعمة بواسطة طاحونة كهربائية إلى دقائق ناعمة ونخل المسحوق المطحون باستخدام منخل مختبري ذو حجم (75 µm) وحفظت بأوعية محكمة الغطاء لغرض الاستفادة منها في البحث. كما يظهر في الجدول (3-2) التحليل الكيميائي لصخور البورسيلينات العراقية [119].

جدول (3-2) التحليل الكيميائي لصخور البورسيلينات العراقية

| NO. | Chemical Composition | X-Ray Analyzer% |
|-----|--------------------------------|-----------------|
| 1 | SiO ₂ | 74.03 |
| 2 | CaO | 5.62 |
| 3 | MgO | 3.65 |
| 4 | Al ₂ O ₃ | 3.65 |
| 5 | P ₂ O ₅ | 1.16 |
| 6 | Fe ₂ O ₃ | 0.97 |
| 7 | TiO ₂ | 0.17 |
| 8 | K ₂ O | 0.17 |
| 9 | Na ₂ O | 0.06 |
| 10 | Cr ₂ O ₃ | 0.02 |
| 11 | SO ₃ | 0.009 |
| 12 | MnO | 0.004 |
| 13 | L.O.I | 11.20 |
| | Sum | 100.713 |

Modification of the surface**2.6.2- السطح المحور****1.2.6.2- تحضير معقد بورسيلينات – ميلامين****Preparation of Porcelanite - Melamine Complex (PMC)**

حضر معقد بورسيلينات ميلامين من خلال مزج (6.900g) من الميلامين مع (2.7600g) من مسحوق صخور البورسيلينات في هاون خزفي، وإضافة ست قطرات من الماء المقطر إلى المزيج (لمدة نصف ساعة)، ثم وضع المزيج في قنينة مغلقة، وترك لمدة 15 يوم من أجل إتمام عملية توزيع جزيئات الميلامين في البورسيلينات المسامية^[120].

2.2.6.2- تحضير بوليمر (بورسيلينات – ميلامين – فورمالديهايد)**Preparation of Porcelanite- Melamine-Formaldehyde****Polymer (PMFP)**

"البوليمر PMFP حضر من خلال أخذ وزن مقداره (8.6000g) من (PMC) وضع في دورق مخروطي، أضيف إليه (3mL) فورمالديهايد ترك المزيج لمدة نصف ساعة. ثم وضع المزيج في حمام مائي 90°C لمدة ساعتين، لإتمام عملية الترابط بين PMC، الفورمالديهايد^[121].

7.2- تعيين زمن الاتزان لأنظمة الامتزاز**Equilibrium Time of Adsorption System**

من أجل معرفة وتحديد الزمن اللازم لحصول الاتزان بين السطح الماز والمادة الممتزة تم استخدام قناني حجمية ذات سعة 25ml و وضع فيها تركيز 12mg/L و 9mg/L ووزن من السطح (صخور البورسيلينات العراقية) مقداره 0.02g لكلا الصبغتين Methyl Red و Safranin على التوالي، تم الرج في أزمان مختلفة تراوحت بين (5-120min.) و في درجة حرارة المختبر (298K). بعدها فُصِلَت المحاليل باستعمال جهاز الطرد المركزي، و من ثم رشحت المحاليل، و قيسَت الأمتصاصية عند الطول الموجي الأعظم 520nm و 530nm لكل من صبغتي Methyl Red و Safranin على التوالي. أمَّا بالنسبة لصخور البورسيلينات العراقية المحورة فقد تم استخدام الطريقة نفسها مع الأخذ بنظر الاعتبار تغيير وزن السطح الماز (بوليمر صخور البورسيلينات- ميلامين – فورمالديهايد) إذ استُعملَ وزن مقداره 0.01g لكلا الصبغتين.

Adsorption Isotherm

8.2- ايزوثيرمات الامتزاز

من أجل الحصول على ايزوثيرم الامتزاز لكل صبغة مع السطح الماز (مسحوق صخور البورسيلينات) فقد استعملت تراكيز مختلفة تراوحت بين (3 - 30 mg/L) من صبغة Methyl Red مع وزن مقداره 0.02g و 0.01g من صخور البورسيلينات، وشكلها المحور على التوالي، مع ضبط الدالة الحامضية بحدود (pH=4.4) و باستعمال زمن رج مقداره (10min و 20min) باستعمال صخور البورسيلينات، وشكلها المحور على التوالي، ودرجات حرارية ضمن المدى (298-338K).

أمًا بالنسبة لصبغة Safranin فقد تم استعمال تراكيز تراوحت بين (3-30 mg/L) مع وزن مقداره 0.02g و 0.01g من صخور البورسيلينات وشكلها المحور على التوالي مع ضبط الدالة الحامضية بحدود pH =8 وعند درجات حرارية ضمن المدى (298-338K) مع استخدام زمن رج مقداره 10min و 20min باستخدام صخور البورسيلينات وشكلها المحور على التوالي. بعد ذلك فصلت هذه المحاليل باستعمال جهاز الطرد المركزي، ثم رُشحت هذه المحاليل، وقيس الامتصاص عند الطول الموجي الأعظم لكل صبغة، باستعمال جهاز الأشعة فوق البنفسجية - المرئية، بعدها تم إيجاد تركيز كل صبغة عند الاتزان (Ce mg/L) بالاعتماد على منحنيات المعايرة المعدة مسبقا، و كما موضح في المعادلة الآتية:

$$A = m C_e + b \quad \dots\dots\dots(2.1)$$

A = الامتصاص

m = الميل (Slope)

C_e = التركيز عند الاتزان (mg/L)

b = التقاطع (Intercept)

وبعد تعيين قيم C_e تم استخراج قيم السعة الوزنية للامتزاز (Q_e) من المعادلة الآتية^[122].

$$Q_e = V(C_0 - C_e) / m \quad \dots\dots\dots(2.2)$$

إذ أن :-

Q_e = السعة الوزنية للامتزاز بوحدة (mg/g)

C_e = التركيز عند الاتزان لمحلول المادة الممتزة بوحدة (mg/L)

C₀ = التركيز الابتدائي لمحلول المادة الممتزة بوحدة (mg/L)

V = الحجم الكلي لمحلول المادة الممتزة بوحدة (L)

m = وزن المادة الممتزة بوحدة (g)

تم أيضا حساب النسبة المئوية لإزالة الصبغتين (Re%) وذلك باستخدام المعادلة الآتية [123].

$$\text{Re}\% = \frac{C_0 - C_e}{C_0} * 100\% \dots\dots\dots(2. 3)$$

حيث أن:

$$\text{Re \%} = \text{النسبة المئوية للإزالة}$$

9.2- العوامل المؤثرة في عملية الامتزاز

Factors Influencing on Adsorption Process

1.9.2- وزن السطح الماز

Effect of the Weight of Surface Adsorbent

إنَّ تغيير وزن السطح الماز له تأثير على الامتزاز، لذا دُرِسَ باستعمال تركيز مقدار 9 mg/L و 12 mg/L وباستعمال زمن رج مقداره (10min و 20min) لصبغتي MethylRed و Safranin من صخور البورسيلينات وشكلها المحور PMFP على التوالي. وباستخدام أوزان مختلفة من السطوح المازة تراوحت بين (0.005-0.09g) بالنسبة لصخور البورسيلينات العراقية و (0.003-0.07g) بالنسبة لشكلها المحور PMFP. مع ضبط درجة حرارة المختبر بحدود (298K). بعد ذلك فُصِّلَت هذه المحاليل باستعمال جهاز الطرد المركزي، ثم رُشِّحت، وقيس الامتصاص عند الطول الموجي الأعظم لكل صبغة باستعمال جهاز الأشعة فوق البنفسجية – المرئية، بعدها تم إيجاد تركيز كل صبغة عند الاتزان (Ce mg/L) بالاعتماد على منحنيات المعايرة المعدة سابقا بعدها حُسِبَت النسبة المئوية للإزالة.

Effect of pH

2.9.2- الدالة الحامضية

دُرِسَ تأثير تغيير الدالة الحامضية على نسبة الإزالة، وعملية الامتزاز من خلال استعمال تراكيز مقدارها 9 mg/L و 12 mg/L من صبغتي Methyl Red و Safranin على التوالي، مع تثبيت الظروف الفضلى لعملية الامتزاز، مع تغيير الدالة الحامضية ضمن المدى (2- PH= 12)، بعدها أُتِّخِذَت الإجراءات نفسها التي ذكرت في الفقرة السابقة (1.9.2).

Effect of Ionic Strength

3.9.2- الشدة الأيونية

دُرِسَ مدى تأثير الشدة الأيونية على سعة الامتزاز، ونسبة الإزالة من خلال استعمال تراكيز مختلفة تراوحت بين (0.02- 0.07M) من الاملاح (NaCl, KCl, MgCl₂ CaCl₂) حيث استعملت تراكيز مقدار 9mg/L و 12mg/L من صبغتي Methyl Red و Safranin على التوالي، مع تثبيت الظروف الفضلى لعملية الامتزاز، بعدها تم استخدام الإجراءات نفسها التي ذكرت في الفقرة السابقة (1.9.2).

4.9.2- تأثير درجة الحرارة

Effect of Temperature

إنَّ لدرجة الحرارة تأثير على عملية الامتزاز لذا تم دراستها ومعرفة سعة الامتزاز باستعمال تراكيز مقدارها 9 mg/L و 12 mg/L لصبغتي Safranin و Methyl Red على التوالي مع تثبيت الظروف الفضلى لعملية الإزالة ، مع تغيير درجات الحرارة ضمن مدى الدرجات الحرارية (298-338K) . باستعمال مسحوق صخور البورسيلينات، وشكلها المحور كسطح ماز ، بعدها تم استعمال الإجراءات نفسها التي ذكرت في الفقرة السابقة (1.9.2)

الفصل الثالث

النتائج والمناقشة

Results and Discussion

3-النتائج والمناقشة

3A- إزالة صبغتي Methyl Red و Safranin من محاليلها المائية على سطح

صخور البورسيلينات العراقية

Removal of Methyl Red and Safranin from aqueous solutions using Iraqi porcelanite Rocks

1.3A تشخيص صخور البورسيلينات العراقية

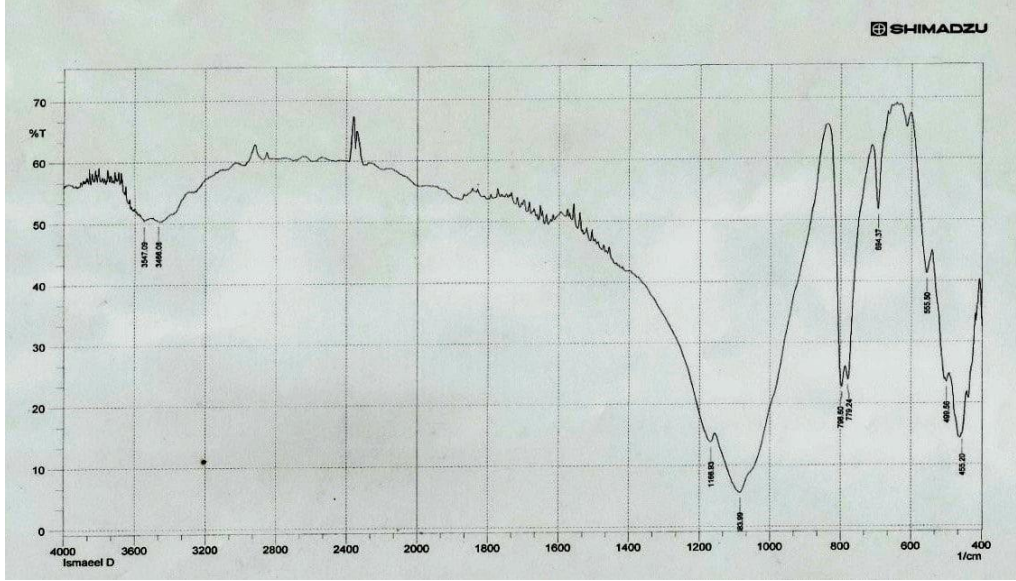
Characterization of Iraqi porcelanite Rocks

تم تشخيص سطح صخور البورسيلينات العراقية بواسطة جهاز مطيافية الأشعة تحت الحمراء FT-IR وجهاز حيود الأشعة السينية X-RD ومجهر المسح الإلكتروني SEM .

1.1.3A- تشخيص طيف الأشعة تحت الحمراء

Characterization of FT-IR

أظهرت نتائج طيف الأشعة تحت الحمراء FT-IR في الشكل (1-3A) وجود حزم الامتصاص الرئيسية ، إذ نلاحظ حزماً محصورة ما بين $3547-3466 \text{ cm}^{-1}$ ناتجة من الاهتزاز المطاطي لمجاميع الهيدروكسيل. و حزمة الامتصاص عند 1183 cm^{-1} تعود إلى الأصرة في المجموعة (Si-O). كذلك اظهر الطيف حزمة امتصاص عند 455 cm^{-1} وتمثل امتصاص المجموعة (Fe-O). و أظهر الطيف حزمة امتصاص عند 796 cm^{-1} وتمثل امتصاص المجموعة (Al-O) ، إنَّ هذه المجاميع الكيميائية تمثل مواقع فعالة تحدث عليها عملية الامتزاز بسبب شحنتها السالبة التي تعطي قابلية لهذه المجاميع على تكوين أو اصر كيميائية أو ارتباطات فيزيائية لاحتوائها على زوج الكتروني أو شحنة الكتروستاتيكية ممكن إن تشترك لتكوين رابط فيزيائي أو أصرة كيميائية [124].

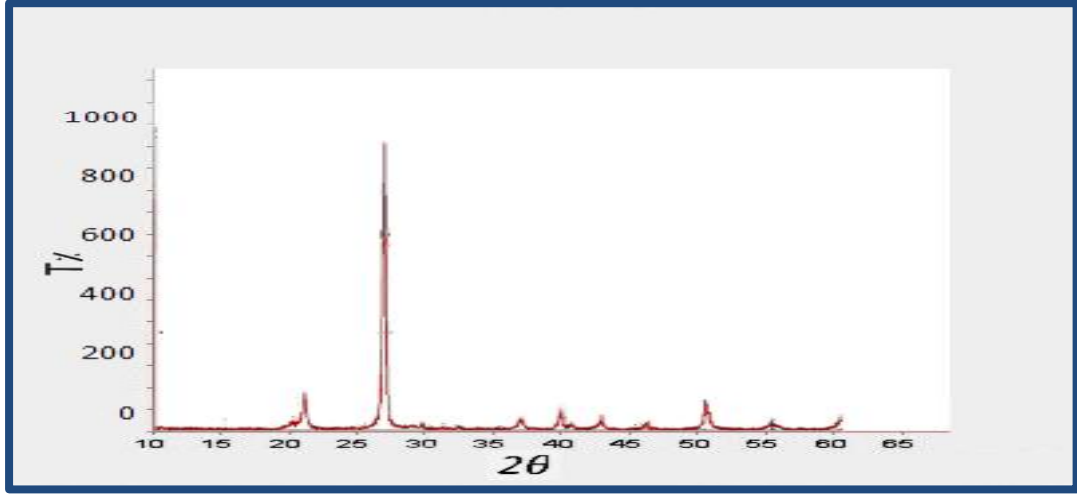


شكل (1-3A) طيف الأشعة تحت الحمراء FT-IR لصخور البورسيلينات العراقية .

2.1.3A- تشخيص حيود الأشعة السينية

Characterization of X – RD

لقد اظهرت التحاليل الكيميائية للصخور بأنها تتكون من خليط من الكوارتز، والابال سي تي (Opal – CT) الذي يعرف بانه تداخل غير منتظم بين طوري الكرسوبلايت و الترايدامايت – الفا ، وكذلك وجود بعض الاطوار الطينية (الكاولين ، الاليات والسمكتايت) التي توجد متداخلة مع السيليكا الدقيقة الحجم^[125]. كذلك توجد في هذه الصخور السيليكا ونسبة عالية قد تصل الى % 74.03 ويمثل اوكسيد الكالسيوم الجزء الرئيس من المركبات الثانوية المرافقة في تركيب هذه الصخور إذ يبلغ المعدل العام لها % 5.62 كما توجد مركبات أخرى ، ولكن بنسب اقل هي ثاني أوكسيد التيتانيوم TiO_2 و أوكسيد المغنسيوم MgO وأوكسيد الالمنيوم Al_2O_3 و بعض الأكاسيد الأخرى^[126]. يوضح الشكل (2-3A) نتائج تحليل الأشعة السينية X-RD .

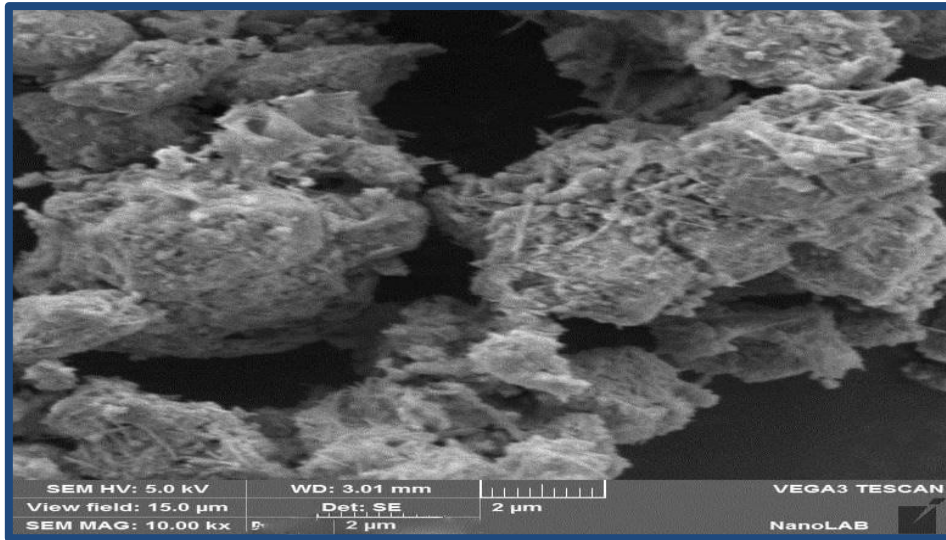


شكل (2-3A) طيف X-RD لصخور البورسيلينات العراقية .

3.1.3A- تشخيص مجهر المسح الإلكتروني

Characterization of SEM

تم تصوير المورفولوجي لسطح صخور البورسيلينات العراقية باستخدام مجهر المسح الإلكتروني (SEM) . حيث اظهر الشكل (3-3A) الطبيعة المسامية للسطح و المساحة السطحية الواسعة .

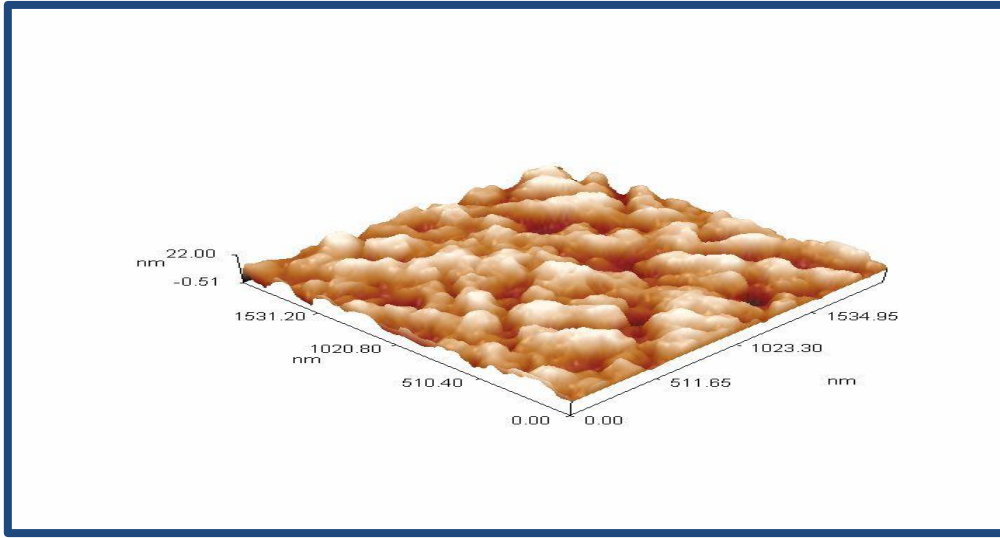


شكل (3-3A) صورة SEM لصخور البورسيلينات العراقية .

4.1.3A- تشخيص مجهر القوة الذرية Characterization of AFM

هواحد التقنيات المهمة والشائعة كأداة تكبير وقياس وتشخيص حيث تستخدم في مجال تقنية النانو من خلالها يتم معرفة ورسم تضاريس السطوح ذات الأبعاد النانوية ، حيث له قدرة تحليل تصل إلى أجزاء من النانومتر بحيث تفوق حد تكبير الميكروسكوبات الضوئية بأكثر من 1000مره [127] .

نلاحظ من الشكل (4-3A) صورة ثلاثية الأبعاد لسطح صخور البورسيلينات العراقية والتي يظهر فيها توزيع الطبقات والجزئيات تكون غير منتظمة تتخللها الفجوات



شكل (4-3A) صورة (AFM) سطح البورسيلينات العراقية.

2.3A- دراسة العوامل المؤثرة على إزالة صبغتي SF and MR من المحاليل المائية باستخدام صخور البورسيلينات العراقية

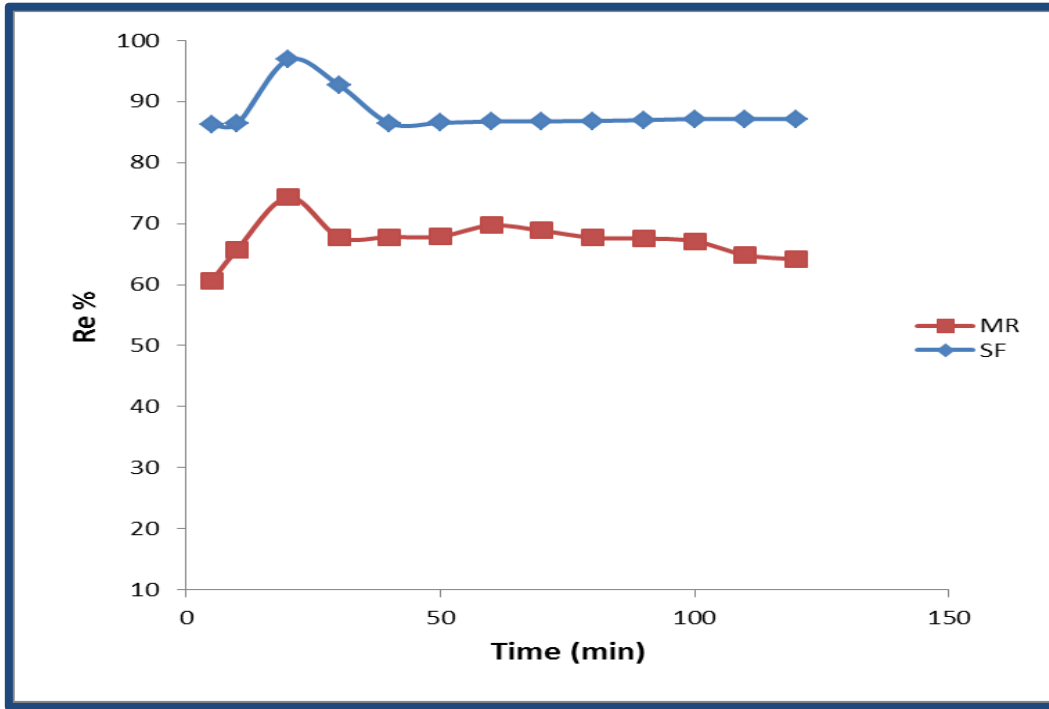
Study Factors influencing on Removal of MR and SF Dyes from aqueous solution using the Iraqi Porcelanite Rocks

يشمل هذا الجزء توضيح بعض العوامل التي تؤثر على استخدام صخور البورسيلينات العراقية في إزالة صبغتي Methyl Red و Safranin الملوثة للماء . وعلاوة على ذلك يتضمن العمل إيزوثيرمات الامتزاز، والنماذج النظرية التي تصف إيزوثيرمات والدوال الترموديناميكية لعملية الامتزاز. ودراسة إيزوثيرمات الامتزاز (لانكماير، فرندلش، وتمكن)، والعوامل تتضمن:-

Equilibrium time

1.2.3A- زمن الاتزان

من العوامل المؤثرة على كمية الامتزاز وسعة الامتزاز هو زمن الاتزان ، حيث تم دراسة زمن الاتزان بين السطح ألاماز (صخور البورسيلينات العراقية) و صبغتي MR و Sf باستخدام وزن مقداره 0.02g من السطح ألاماز وتركيز مقداره 12mg/L و 9mg/L من الصبغتين على التوالي وعند درجة حرارة مقدارها 298K وباستخدام ازمان مختلفة ضمن المدى (120min-5) تبين النتائج الموضحة في الشكل (5-3A) و الجدول (1-3A) إنَّ الزمن 20 min هو أفضل زمن اتزان لصبغتي Methyl Red و Safranin على التوالي لأنها تصل الى حالة اتزان تكون جميع المواقع الفعالة في مادة الامتزاز قد تم اشغالها من قبل كل صبغة على حدة فمثلا عن طريق تكوين اواصر هيدروجينية مع ايونات الاوكسجين الموجودة على سطح المادة المازة ،حيث أعطى أفضل نسبة إزالة لذلك تم تثبيتها في التجارب اللاحقة.



الشكل (5-3A) تأثير زمن الاتزان على إزالة صبغتي MR و SF على سطح صخور البورسيلينات العراقية في درجة حرارة 298K.

جدول (1-3A) النسب المئوية لإزالة صبغتي MR و SF من المحاليل المائية باستخدام سطح صخور البورسيلينات العراقية وعند أزمان مختلفة في درجة حرارة 298K.

| Time/min. | Removal% = $\frac{C_0 - C_e}{C_0} \times 100$ | |
|-----------|---|----------|
| | Methyl Red | Safranin |
| 5 | 60.6154 | 86.1739 |
| 10 | 65.7401 | 86.3571 |
| 20 | 74.3494 | 96.8631 |
| 30 | 67.8142 | 92.7242 |
| 40 | 67.8142 | 86.4534 |
| 50 | 67.9086 | 86.5226 |
| 60 | 69.7205 | 86.7622 |
| 70 | 68.8422 | 86.7841 |
| 80 | 67.6981 | 86.8361 |
| 90 | 67.5741 | 86.9742 |
| 100 | 67.1201 | 87.1600 |
| 110 | 64.8411 | 87.1601 |
| 120 | 64.1466 | 87.1632 |

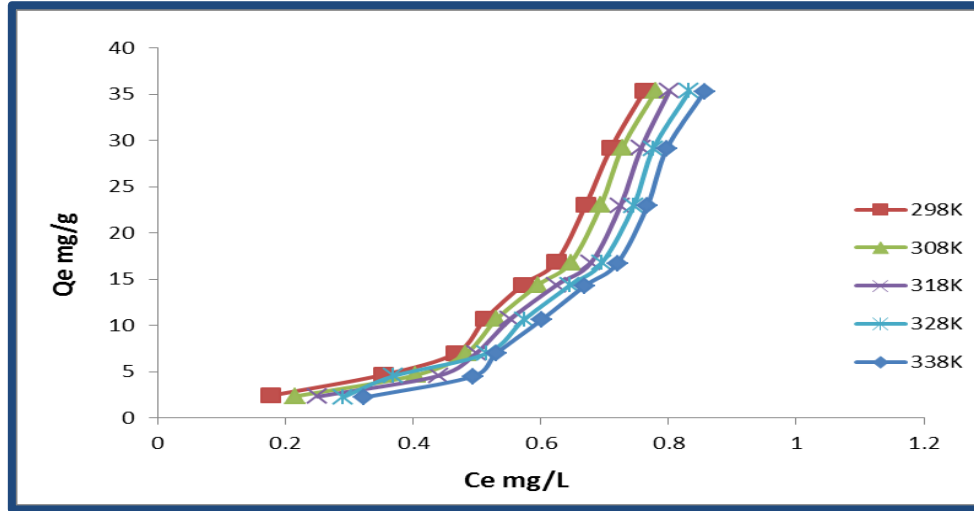
The Adsorption Isotherms

2.2.3A- أيزوثيرمات الامتزاز

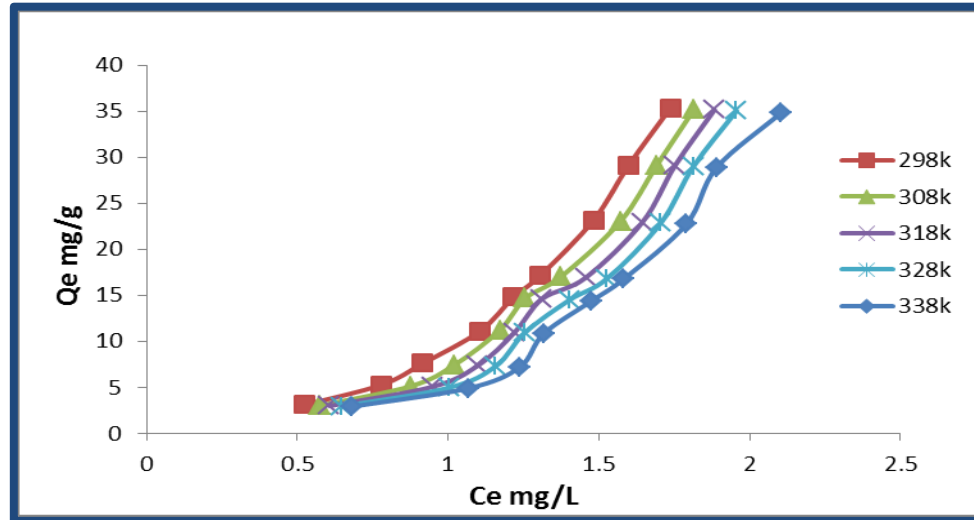
تم دراسة امتزاز صبغتي Methyl Red و Safranin على سطح صخور البورسيلينات العراقية ضمن مدى التراكيز (30 - 3mg/L) لكل من صبغتي Methyl Red و Safranin على التوالي . و تم الحصول على ايزوثيرمات الامتزاز كما موضحة في الجدول (2.3A) عند درجات حرارية مختلفة ضمن المدى (298-338 K) وعند الظروف الفضلى للامتزاز لكلا الصبغتين. تم حساب السعة الوزنية للامتزاز (Q_e) من المعادلة التي سبق ذكرها في الفقرة (8.2) معادلة (2.2)، ان رسم العلاقة بين السعة الوزنية (Q_e) والتركيز عند الاتزان (C_e) للمادة المازة يعطي الاشكال العامة لايوثيرمات الامتزاز عند الاتزان كما مبين في الشكلين-6 (3A) و(7-3A) والتي تبين ايزوثيرمات امتزاز صبغتي MR, SF على التوالي على سطح صخور البورسيلينات العراقية.

جدول (2-3A) قيم الامتزاز لصبغتي Methyl Red و Safranin على سطح صخور البورسيلينات العراقية في درجات حرارة ضمن المدى (298-338K).

| Temp. | 298 K | | | 308K | | 318K | | 328K | | 338K | |
|-----------|-----------|-----------|-----------|-----------|-----------|-----------|-----------|-----------|-----------|-----------|-----------|
| Adsorbate | Co (mg/L) | Ce (mg/L) | Qe (mg/g) | Ce (mg/L) | Qe (mg/g) | Ce (mg/L) | Qe (mg/g) | Ce (mg/L) | Qe (mg/g) | Ce (mg/L) | Qe (mg/g) |
| MR | 3 | 0.2757 | 3.4053 | 0.3159 | 3.3551 | 0.3499 | 3.3126 | 0.3903 | 3.2621 | 0.4229 | 3.2213 |
| | 5 | 0.4531 | 5.6836 | 0.5028 | 5.6215 | 0.5401 | 5.5748 | 0.5693 | 5.5383 | 0.5936 | 5.5080 |
| | 7 | 0.5672 | 8.0410 | 0.5829 | 8.0213 | 0.5985 | 8.0018 | 0.6142 | 7.9822 | 0.6298 | 7.9627 |
| | 10 | 0.6129 | 11.7338 | 0.6308 | 11.7115 | 0.6522 | 11.6847 | 0.6737 | 11.6578 | 0.7011 | 11.6236 |
| | 13 | 0.6719 | 15.4101 | 0.6953 | 15.3808 | 0.7239 | 15.3451 | 0.7451 | 15.3186 | 0.7687 | 15.2891 |
| | 15 | 0.7234 | 17.8457 | 0.7468 | 17.8165 | 0.7781 | 17.7773 | 0.7952 | 17.7560 | 0.8195 | 17.7256 |
| | 20 | 0.7701 | 24.0373 | 0.7939 | 24.0076 | 0.8246 | 23.9692 | 0.8451 | 23.9436 | 0.8665 | 23.9168 |
| | 25 | 0.8099 | 30.2376 | 0.8274 | 30.2157 | 0.8569 | 30.1788 | 0.8762 | 30.1547 | 0.8971 | 30.1286 |
| | 30 | 0.8625 | 36.4218 | 0.8805 | 36.3993 | 0.9013 | 36.3733 | 0.9325 | 36.3343 | 0.9563 | 36.3046 |
| SF | 3 | 0.5238 | 3.0952 | 0.5776 | 3.0279 | 0.6063 | 2.9921 | 0.6481 | 2.9399 | 0.6792 | 2.9009 |
| | 5 | 0.7788 | 5.2764 | 0.8788 | 5.1514 | 0.9476 | 5.0654 | 1.0032 | 4.9709 | 1.0683 | 4.9146 |
| | 7 | 0.9162 | 7.6047 | 1.0231 | 7.4711 | 1.0988 | 7.3764 | 1.1578 | 7.3027 | 1.2374 | 7.2033 |
| | 10 | 1.1054 | 11.1182 | 1.1714 | 11.2211 | 1.2201 | 10.9748 | 1.2537 | 10.9328 | 1.3171 | 10.8536 |
| | 13 | 1.2164 | 14.7294 | 1.2564 | 14.6794 | 1.3114 | 14.6107 | 1.4021 | 14.4973 | 1.4761 | 14.4049 |
| | 15 | 1.3043 | 17.1196 | 1.3753 | 17.0308 | 1.4564 | 16.9294 | 1.5277 | 16.8403 | 1.5821 | 16.7723 |
| | 20 | 1.4814 | 23.1482 | 1.5714 | 23.0357 | 1.6440 | 22.9451 | 1.7052 | 22.8684 | 1.7903 | 22.7620 |
| | 25 | 1.5990 | 29.1513 | 1.6927 | 29.1341 | 1.7514 | 29.0607 | 1.8127 | 28.9841 | 1.8901 | 28.8874 |
| | 30 | 1.7364 | 35.3294 | 1.8165 | 35.2293 | 1.8827 | 35.1466 | 1.9563 | 35.0546 | 2.1053 | 34.8683 |



شكل (6-3A) أيزوثيرمات الامتزاز لصبغة Methyl Red باستخدام 0.0200g من سطح صخور البوروسيلينات العراقية و زمن اتران 20min عند درجات حرارية مختلفة



شكل (7-3A) أيزوثيرمات الامتزاز لصبغة Safranin باستخدام 0.0200 g من سطح صخور البوروسيلينات العراقية و زمن اتران 20min وعند درجات حرارية مختلفة.

إنَّ أهمية دراسة أيزوثيرمات الامتزاز تعطي معلومات مهمة في وصف عملية الامتزاز وظروفها ومعرفة سعة الامتزاز للمادة الممتزة مع تركيزها عند حصول عملية الامتزاز.

إنَّ الشكل العام لايزوثيرم الصبغتين MethylRed و Safranin على سطح صخور

البوروسيلينات العراقية في الشكلين (6-3A) و (7-3A)، يتوافق بصورة جيدة مع الصنف

S_4 حسب تصنيف (Giles) والذي يشير إلى أن توجه المواقع الفعالة على من سطح صخور

البوروسيلينات العراقية يكون مائلا أو عموديا والى انجذاب عالي للصبغتين على السطح [128]. تم

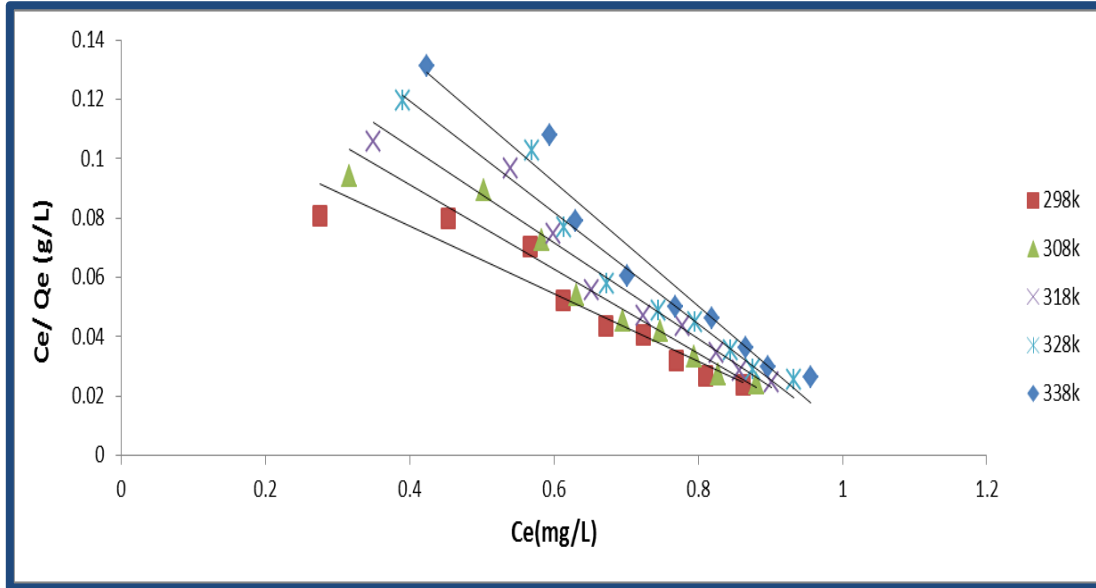
تطبيق البيانات التجريبية لإزالة صبغة Methyl Red وصبغة Safranin على معادلة

لانكماير كما موضح في الجدول (3-3A) والشكلين (8-3A) و(9-3A)، وفريندلش كما موضح

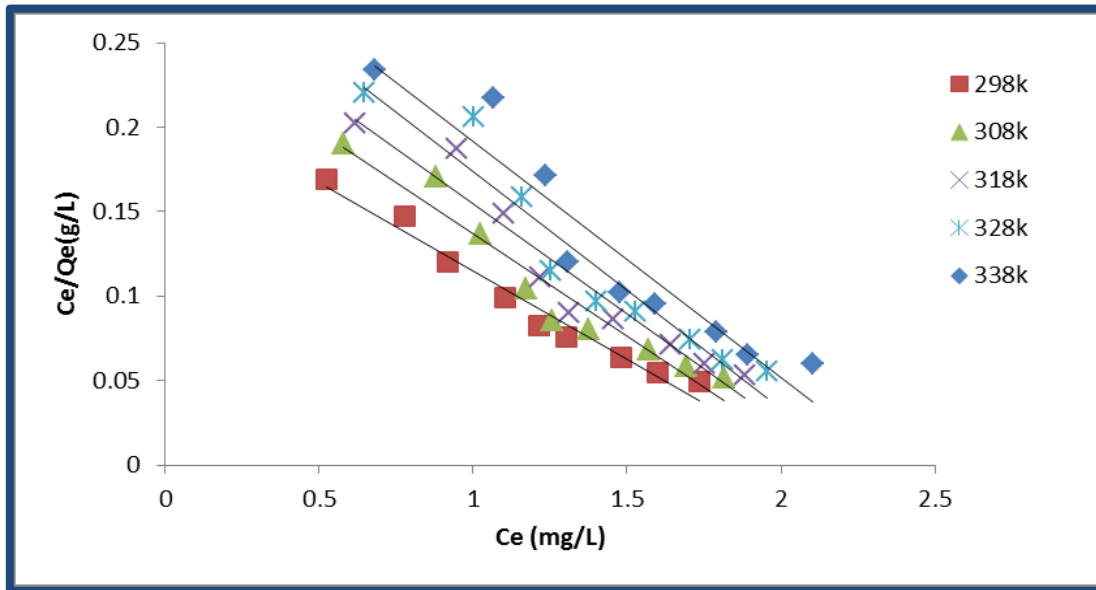
الجدول (4-3A) والشكلين (10-3A) و(11-3A) وتمكن كما موضح في الجدول (5-3A) والشكلين (12-3A) و(13-3A) من اجل معرفة مدى الانطباق لهذه المعادلات.

جدول (3-3A) البيانات الخاصة بامتزاز صبغتي MR و SF على سطح صخور البورسيلينات العراقية عند درجات حرارية مختلفة على وفق تطبيق معادلة لانكماير

| Temp. | 298K | | 308K | | 318K | | 328K | | 338K | |
|-------|--------------|----------------|--------------|----------------|--------------|----------------|--------------|-----------------|--------------|----------------|
| | Ce (mg/L) | Ce/Qe (g/L) | Ce (mg/L) | Ce/Qe (g/L) | Ce (mg/L) | Ce/Qe (g/L) | Ce (mg/L) | Ce/Qe (mg/g) | Ce (mg/L) | Ce/Qe (g/L) |
| MR | 0.2757 | 0.0809 | 0.3159 | 0.0941 | 0.3499 | 0.1056 | 0.3903 | 0.1196 | 0.4229 | 0.1312 |
| | 0.4531 | 0.0797 | 0.5028 | 0.0894 | 0.5401 | 0.0968 | 0.5693 | 0.1027 | 0.5936 | 0.1077 |
| | 0.5672 | 0.0705 | 0.5829 | 0.0726 | 0.5985 | 0.0747 | 0.6142 | 0.0769 | 0.6298 | 0.0790 |
| | 0.6129 | 0.0522 | 0.6308 | 0.0538 | 0.6522 | 0.0558 | 0.6737 | 0.0577 | 0.7011 | 0.0603 |
| | 0.6719 | 0.0436 | 0.6953 | 0.0452 | 0.7239 | 0.0471 | 0.7451 | 0.0486 | 0.7687 | 0.0502 |
| | 0.7234 | 0.0405 | 0.7468 | 0.0419 | 0.7781 | 0.0437 | 0.7952 | 0.0447 | 0.8195 | 0.0462 |
| | 0.7701 | 0.032 | 0.7939 | 0.033 | 0.8246 | 0.0344 | 0.8451 | 0.0352 | 0.8665 | 0.0362 |
| | 0.8099 | 0.0267 | 0.8274 | 0.0273 | 0.8569 | 0.0283 | 0.8762 | 0.029 | 0.8971 | 0.0297 |
| | 0.8625 | 0.0236 | 0.8805 | 0.0241 | 0.9013 | 0.0247 | 0.9325 | 0.0256 | 0.9563 | 0.0263 |
| SF | 0.5238 | 0.1691 | 0.5776 | 0.1907 | 0.6163 | 0.2026 | 0.6481 | 0.2204 | 0.6792 | 0.2342 |
| | 0.7788 | 0.1475 | 0.8788 | 0.1706 | 0.9476 | 0.1870 | 1.0032 | 0.2057 | 1.0683 | 0.2172 |
| | 0.9162 | 0.1203 | 1.0231 | 0.1368 | 1.0988 | 0.1488 | 1.1578 | 0.1585 | 1.2374 | 0.1717 |
| | 1.1054 | 0.0993 | 1.1714 | 0.1044 | 1.2201 | 0.1111 | 1.2537 | 0.1146 | 1.3071 | 0.1203 |
| | 1.2164 | 0.0824 | 1.2564 | 0.0854 | 1.3114 | 0.0896 | 1.4021 | 0.0967 | 1.4761 | 0.1024 |
| | 1.3043 | 0.0761 | 1.3753 | 0.0807 | 1.4564 | 0.086 | 1.5277 | 0.0906 | 1.5921 | 0.0950 |
| | 1.4814 | 0.064 | 1.5714 | 0.0682 | 1.6440 | 0.0716 | 1.7052 | 0.0745 | 1.7903 | 0.0786 |
| | 1.5990 | 0.0547 | 1.6927 | 0.0581 | 1.7514 | 0.0602 | 1.8127 | 0.0625 | 1.8901 | 0.0654 |
| | 1.7364 | 0.0491 | 1.8165 | 0.0515 | 1.8827 | 0.0535 | 1.9563 | 0.0557 | 2.1053 | 0.0603 |



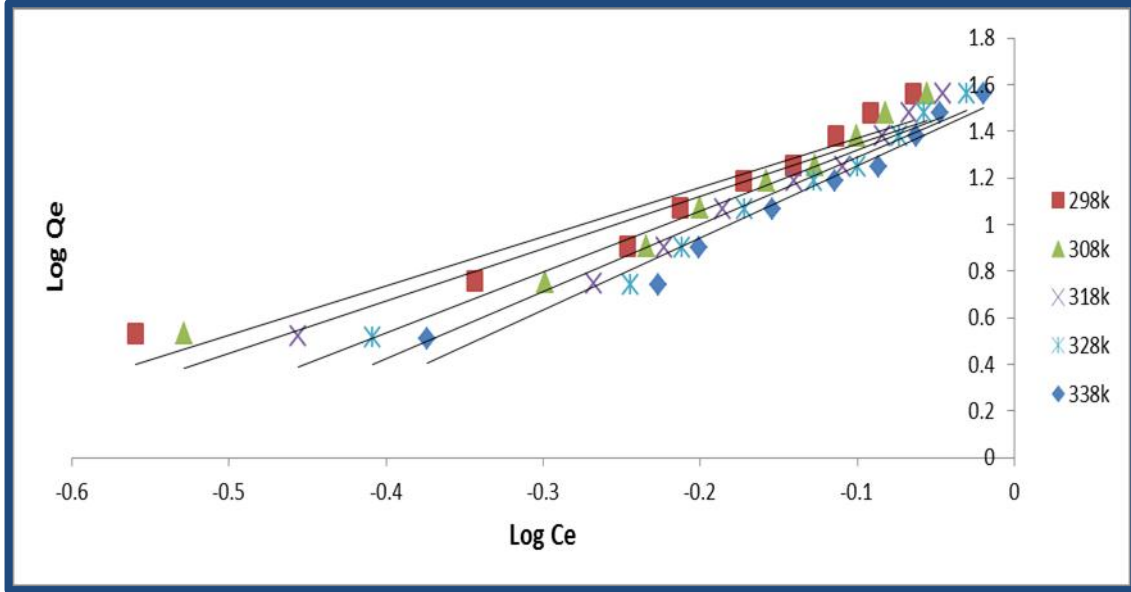
شكل (8-3A) ايزوثيرم لانكماير لامتزاز صبغة Methyl Red على سطح مسحوق صخور البورسيلينات العراقية عند درجات حرارية مختلفة.



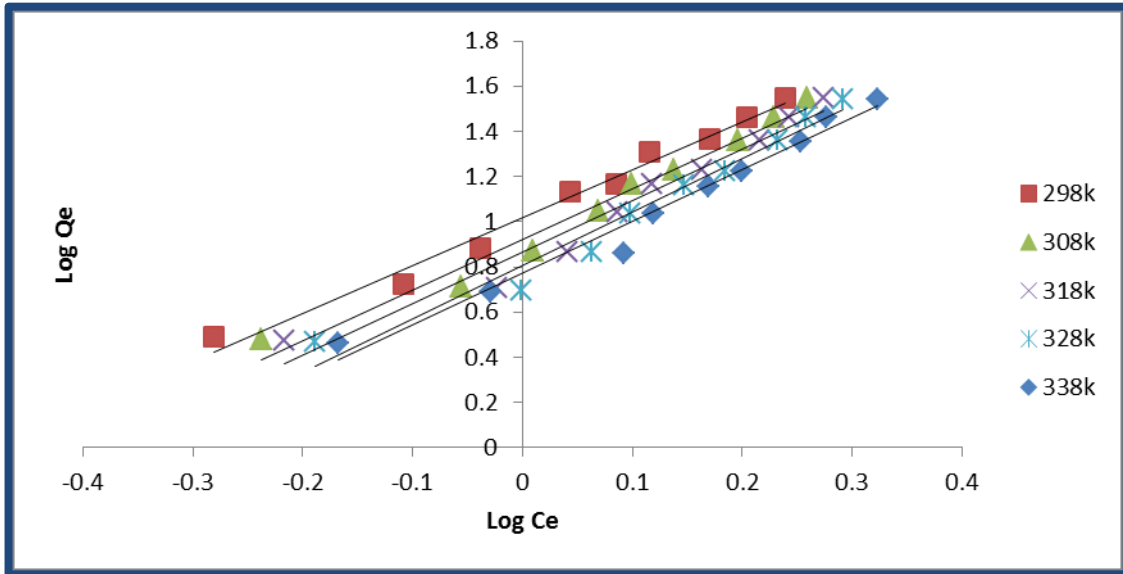
شكل (9-3A) ايزوثيرم لانكماير لامتزاز صبغة Safranin على سطح مسحوق صخور البورسيلينات العراقية عند درجات حرارية مختلفة.

جدول (4-3A) البيانات الخاصة بامتزاز صبغتي MR و SF على سطح صخور البورسيلينات العراقية بدرجات حرارية مختلفة على وفق تطبيق معادلة فريندلش

| Temp | 298K | | 308K | | 318K | | 328K | | 338K | |
|----------|---------|--------|---------|--------|---------|--------|---------|--------|---------|--------|
| Adso rb. | Log Ce | Log Qe | Log Ce | Log Qe | Log Ce | Log Qe | Log Ce | Log Qe | Log Ce | Log Qe |
| MR | -0.5595 | 0.5321 | -0.5288 | 0.5289 | -0.456 | 0.5201 | -0.4086 | 0.5134 | -0.3737 | 0.5080 |
| | -0.3438 | 0.7546 | -0.2986 | 0.7498 | -0.2675 | 0.7462 | -0.2446 | 0.7433 | -0.2265 | 0.7409 |
| | -0.2462 | 0.9053 | -0.2344 | 0.9042 | -0.2229 | 0.9031 | -0.2116 | 0.9021 | -0.2007 | 0.9010 |
| | -0.2126 | 1.0694 | -0.2001 | 1.0686 | -0.1856 | 1.0676 | -0.1715 | 1.0666 | -0.1542 | 1.0653 |
| | -0.1726 | 1.1878 | -0.1578 | 1.1869 | -0.1403 | 1.1859 | -0.1277 | 1.1852 | -0.1142 | 1.1843 |
| | -0.1406 | 1.2515 | -0.1267 | 1.2508 | -0.1089 | 1.2498 | -0.0995 | 1.2493 | -0.0864 | 1.2486 |
| | -0.1134 | 1.3808 | -0.1002 | 1.3803 | -0.0837 | 1.3796 | -0.073 | 1.3791 | -0.0622 | 1.3787 |
| | -0.0915 | 1.4805 | -0.0822 | 1.4802 | -0.067 | 1.4797 | -0.0573 | 1.4793 | -0.0471 | 1.4789 |
| | -0.0642 | 1.5613 | -0.0554 | 1.5610 | -0.0451 | 1.5607 | -0.0303 | 1.5603 | -0.0194 | 1.5599 |
| SF | -0.2808 | 0.4907 | -0.2383 | 0.4812 | -0.2173 | 0.4759 | -0.1884 | 0.4684 | -0.1679 | 0.4626 |
| | -0.1086 | 0.7224 | -0.0561 | 0.7119 | -0.0234 | 0.7047 | -0.0015 | 0.6965 | 0.0288 | 0.6915 |
| | -0.0379 | 0.8811 | 0.0099 | 0.8734 | 0.0409 | 0.8679 | 0.0637 | 0.8635 | 0.0926 | 0.8576 |
| | 0.0436 | 0.1047 | 0.0688 | 1.0501 | 0.0865 | 1.0404 | 0.0983 | 1.0388 | 0.1197 | 1.0356 |
| | 0.0852 | 0.1682 | 0.0992 | 1.1668 | 0.1178 | 1.1647 | 0.1469 | 1.1613 | 0.1692 | 1.1586 |
| | 0.1155 | 1.2335 | 0.1385 | 1.2313 | 0.1634 | 1.2287 | 0.1841 | 1.2264 | 0.1993 | 1.2246 |
| | 0.1708 | 1.3646 | 0.1964 | 1.3624 | 0.2159 | 1.3607 | 0.2319 | 1.3593 | 0.2529 | 1.3573 |
| | 0.2039 | 1.4647 | 0.2287 | 1.4645 | 0.2435 | 1.4634 | 0.2584 | 1.4622 | 0.2765 | 1.4608 |
| | 0.2397 | 1.5482 | 0.2593 | 1.5469 | 0.2749 | 1.5459 | 0.2915 | 1.5449 | 0.3235 | 1.5425 |



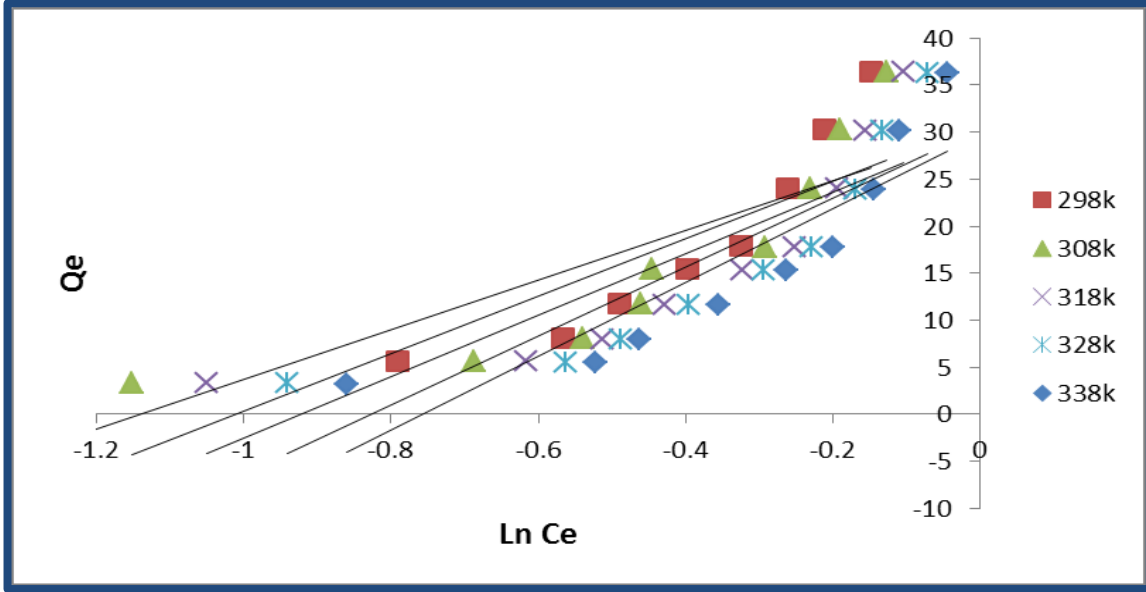
شكل (10-3A) ايزوثيرم فريندلش لامتزاز صبغة MR على سطح مسحوق صخور البورسيلينات العراقية عند درجات حرارية مختلفة.



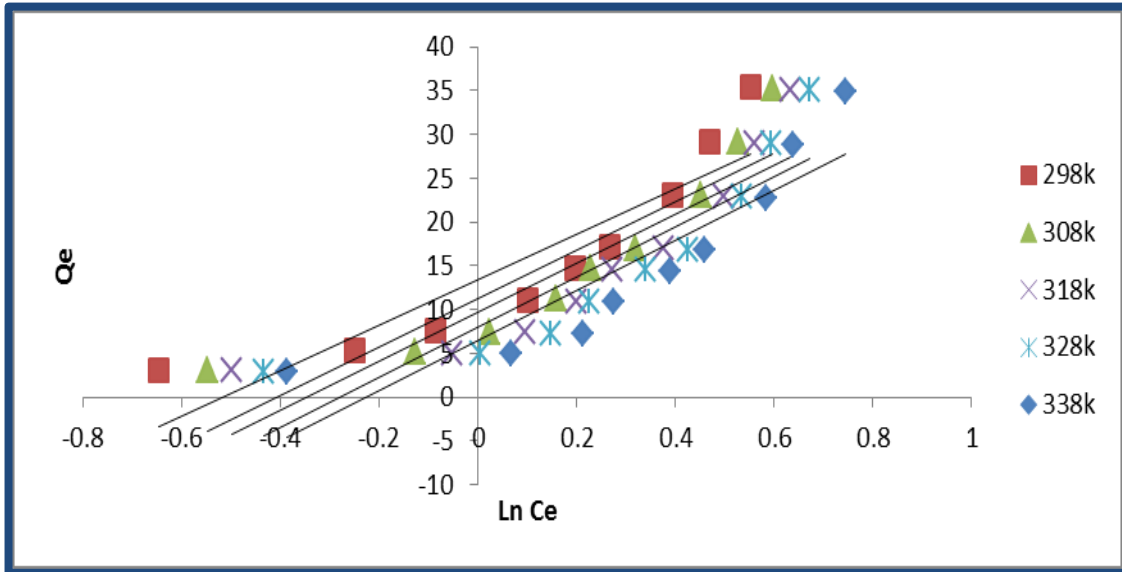
شكل (11-3A) ايزوثيرم فريندلش لامتزاز صبغة SF على سطح مسحوق صخور البورسيلينات العراقية عند درجات حرارية مختلفة.

جدول (5-3A) البيانات الخاصة بامتزاز صبغتي SF وMR على سطح صخور البورسيلينات العراقية بدرجات حرارية مختلفة على وفق تطبيق معادلة تمكّن

| Temp. | 298 K | | 308K | | 318K | | 328K | | 338K | |
|-----------|---------|---------|---------|---------|---------|---------|---------|---------|---------|---------|
| Adsorbate | Ln Ce | Qe | Ln Ce | Qe | Ln Ce | Qe | Ln Ce | Qe | Ln Ce | Qe |
| MR | -1.2884 | 3.4053 | -1.1523 | 3.3551 | -1.0501 | 3.3126 | -0.9408 | 3.2621 | -0.8606 | 3.2213 |
| | -0.7916 | 5.6836 | -0.6875 | 5.6215 | -0.616 | 5.5748 | -0.5633 | 5.5383 | -0.5215 | 5.508 |
| | -0.567 | 8.0410 | -0.5397 | 8.0213 | -0.5133 | 8.0018 | -0.4874 | 7.9822 | -0.4623 | 7.9627 |
| | -0.4895 | 11.7338 | -0.4607 | 11.7115 | -0.4274 | 11.6847 | -0.3949 | 11.6578 | -0.3551 | 11.6236 |
| | -0.3976 | 15.4101 | -0.4451 | 15.3808 | -0.3231 | 15.3451 | -0.2942 | 15.3186 | -0.263 | 15.2891 |
| | -0.3237 | 17.8457 | -0.2919 | 17.8165 | -0.2509 | 17.7773 | -0.2291 | 17.756 | -0.199 | 17.7256 |
| | -0.2612 | 24.0373 | -0.2307 | 24.0076 | -0.1928 | 23.9692 | -0.1683 | 23.9436 | -0.1432 | 23.9168 |
| | -0.2108 | 30.2376 | -0.1894 | 30.2157 | -0.1544 | 30.1788 | -0.1321 | 30.1547 | -0.1085 | 30.1286 |
| | -0.1479 | 36.4218 | -0.1272 | 36.3993 | -0.1039 | 36.3733 | -0.0698 | 36.3343 | -0.0446 | 36.3046 |
| SF | -0.6465 | 3.0952 | -0.5488 | 3.0279 | -0.5002 | 2.9921 | -0.4338 | 2.9399 | -0.3867 | 2.9009 |
| | -0.2499 | 5.2764 | -0.1291 | 5.1514 | -0.0537 | 5.0654 | 0.0033 | 4.9709 | 0.0662 | 4.9146 |
| | -0.0875 | 7.6047 | 0.0229 | 7.4711 | 0.0943 | 7.3764 | 0.1467 | 7.3027 | 0.2131 | 7.2032 |
| | 0.1003 | 11.1182 | 0.1583 | 11.2211 | 0.1990 | 10.9748 | 0.2262 | 10.9328 | 0.2756 | 10.8536 |
| | 0.1959 | 14.7294 | 0.2284 | 14.6794 | 0.2711 | 14.6107 | 0.3381 | 14.4973 | 0.3895 | 14.4049 |
| | 0.2658 | 17.1196 | 0.3188 | 17.0308 | 0.376 | 16.9294 | 0.4239 | 16.8403 | 0.4589 | 16.7723 |
| | 0.3931 | 23.1482 | 0.4521 | 23.0357 | 0.4971 | 22.9451 | 0.5338 | 22.8684 | 0.5825 | 22.763 |
| | 0.4694 | 29.1513 | 0.5264 | 29.1341 | 0.5604 | 29.0607 | 0.5949 | 28.9841 | 0.6367 | 28.8874 |
| | 0.5519 | 35.3294 | 0.5969 | 35.2293 | 0.6327 | 35.1466 | 0.6712 | 35.0546 | 0.7446 | 34.8683 |



شكل (12-3A) ايزوثيرم تمكن لامتزاز صبغة MR على سطح مسحوق صخور البورسيلينات العراقية عند درجات حرارية مختلفة.



شكل (13-3A) ايزوثيرم تمكن لامتزاز صبغة SF على سطح مسحوق صخور البورسيلينات العراقية عند درجات حرارية مختلفة.

جدول (6-3A) قيم ثوابت لانكماير، فريندلش، تمكن ومعاملات الارتباط لامتزاز صبغتي SF, MR على سطح صخور البورسيلينات العراقية عند درجات حرارية مختلفة

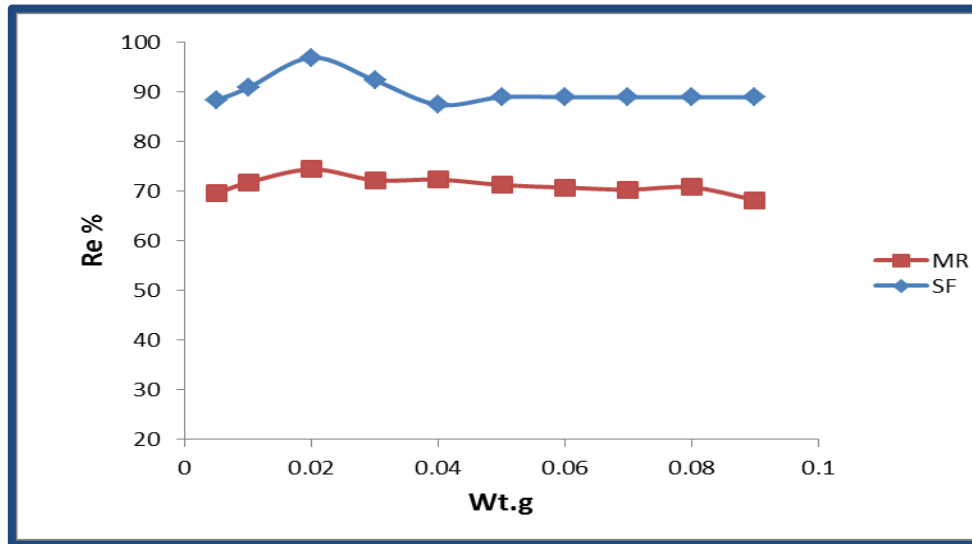
| Temp. K | Langmuir isotherms | | | | Freundlich isotherms | | | Temkin isotherms | | | |
|---------|--------------------|----------|---------|--------|----------------------|---------|--------|------------------|---------|--------|--------|
| | a (mg/g) | b (mg/L) | r2 | RL | Kf | n | r2 | B | AT | r2 | |
| MR | 298 | 8.7796 | 0.9282 | 0.9073 | 0.1333 | 5.5847 | 0.4720 | 0.9139 | 26.4380 | 3.1258 | 0.6930 |
| | 308 | 7.0274 | 0.9614 | 0.9353 | 0.1293 | 5.0084 | 0.4463 | 0.9036 | 30.5430 | 2.7541 | 0.7284 |
| | 318 | 6.1500 | 0.9604 | 0.9462 | 0.1294 | 4.5394 | 0.3839 | 0.9338 | 32.6780 | 2.5120 | 0.7291 |
| | 328 | 5.3106 | 0.9666 | 0.9525 | 0.1287 | 3.5212 | 0.3469 | 0.9527 | 36.5370 | 2.2853 | 0.7663 |
| | 338 | 4.7869 | 0.9609 | 0.9537 | 0.1294 | 3.1959 | 0.3236 | 0.9623 | 39.2330 | 2.1344 | 0.7832 |
| SF | 298 | -9.7371 | -0.4727 | 0.9815 | -0.4347 | 11.2591 | 0.5971 | 0.9557 | 14.0011 | 3.0579 | 0.6448 |
| | 308 | -8.4818 | -0.4649 | 0.9609 | -0.4436 | 9.5499 | 0.5839 | 0.9522 | 14.3081 | 2.7636 | 0.6297 |
| | 318 | -6.3452 | -0.4929 | 0.9531 | -0.4083 | 8.2871 | 0.5308 | 0.9624 | 15.6241 | 2.3579 | 0.6459 |
| | 328 | -6.2035 | -0.4657 | 0.9445 | -0.4427 | 7.5111 | 0.5264 | 0.9582 | 15.5262 | 2.2536 | 0.6339 |
| | 338 | -6.2267 | -0.4401 | 0.9337 | -0.4808 | 6.6743 | 0.5198 | 0.9575 | 15.6591 | 2.1049 | 0.6387 |

قيم الثابت (a mg/g) لمعادلة لانكماير فتمثل ثابت يرتبط بسعة الامتزاز العظمى و كلما ازدادت قيمة الثابت تكون سعة الامتزاز افضل. وقيم الثابت (b mg/L) فترتبط بطاقة الامتزاز. وإن قيم الثابت K_f في معادلة فريندلش هو مؤشر تقريبي لسعة الامتزاز وإن ميل معادلة فريندلش الخطية ($1/n$) يشير الى شدة الامتزاز و هي ثوابت تتضمن جميع العوامل المؤثرة في عملية الامتزاز [129]

نلاحظ من قيم الميل (Slope) و معامل الارتباط (r^2) من النتائج العملية السابقة أن معادلتى فريندلش ولانكماير هي الأكثر انطباقاً من معادلة تمكن على عملية امتزاز صبغتي SF,MR بسبب الإنطباق الخطي الظاهري الأفضل لايزوثيرم فريندلش ولانكماير في الأشكال السابقة. إذ أنّ قيمة n في معادلة فرندلش كلما كانت اعظم كانت المفضلة في الامتزاز وذلك لأنها تتعلق بطريقة ارتباط جزيئات الصبغة على السطح الماز.

3.2.3A- تأثير وزن السطح الماز Effect of surface Weight

تغير وزن السطح الماز (صخور البورسيلينات العراقية) له تأثير على عملية امتزاز صبغتي SF,MR لذا تم دراسة هذا التأثير باستخدام تركيز معين مقداره 12mg/L و 9mg/L وزمن اتران مقداره 20 min. لصبغتي ال MR و SF على التوالي و عند درجة حرارة 298K مع استخدام اوزان مختلفة من السطح الماز تراوحت بين (0.005- 0.09g) يتضح من النتائج المبينة في الجدول (7-3A) والشكل (14-3A) ، إنّ نسبة الإزالة للصبغتين تزداد مع زيادة وزن السطح الماز والسبب يعود الى توفر مساحة سطحية أكبر مع زيادة في عدد المواقع الفعالة (Active Sites) المهية للامتزاز ومن ثم تزداد كمية الامتزاز للصبغتين من المحلول و بالتالي تزداد نسبة الإزالة 130 ، حتى تصل إلى قيمة محددة و ثابتة تمثل كمية المادة المازة في مرحلة الاشباع أي أنّ السطح تشبع بالمادة الممتزة وبالتالي لا تتأثر بزيادة وزن السطح الماز (صخور البورسيلينات العراقية) ، لذا فإن الوزن 0.02g أعطى أفضل نسبة امتزاز لصبغتي M و R على التوالي لذا تم استخدامه في التجارب اللاحقة .



شكل (14-3A) تأثير وزن سطح صخور البورسيلينات العراقية في النسبة المئوية لإزالة صبغتي SF و MR عند درجة حرارة 298K.

جدول (7-3A) النسب المئوية لإزالة محاليل صبغتي MR و SF من المحاليل المائية باستخدام أوزان مختلفة من سطح صخور البورسيلينات العراقية وعند درجة حرارة 298K .

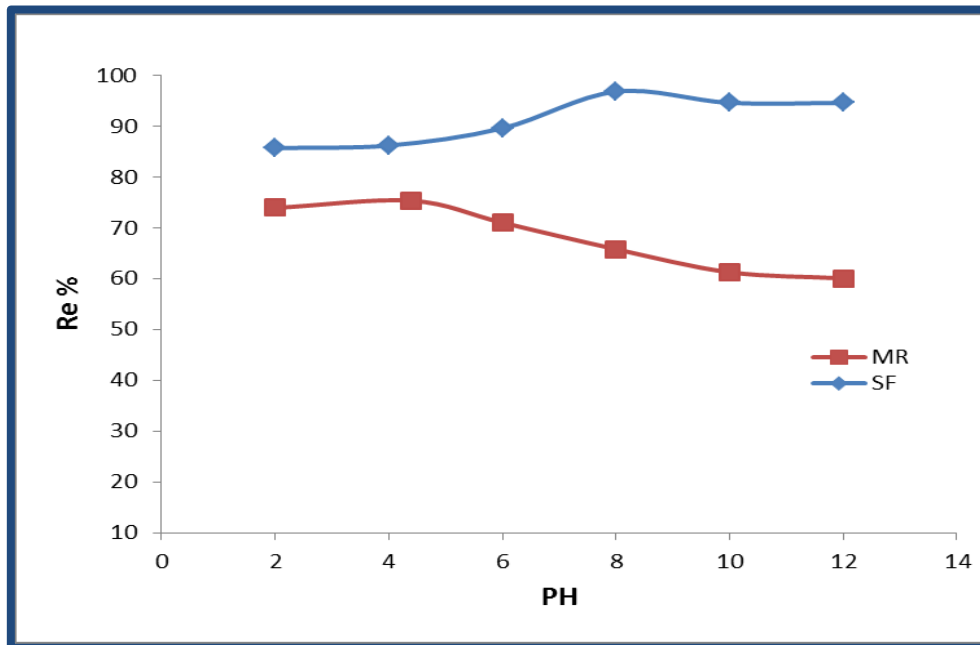
| Wt. (g) | Removal% = $\left(\frac{C_0 - C_e}{C_0} \times 100\right)$ | |
|---------|--|----------|
| | Methyl Red | Safranin |
| 0.0050 | 69.4537% | 88.2441% |
| 0.0100 | 71.6789% | 90.7731% |
| 0.0200 | 74.3463% | 96.8631% |
| 0.0300 | 72.1469% | 92.2504% |
| 0.0400 | 72.2875% | 87.3426% |
| 0.0500 | 71.1955% | 88.8923% |
| 0.0600 | 70.6813% | 88.8923% |
| 0.0700 | 70.2526% | 88.8923% |
| 0.0800 | 70.7258% | 88.8923% |
| 0.0900 | 68.1489% | 88.8923% |

Effect of pH

4.2.3A- تأثير الدالة الحامضية

إنَّ تأثير الدالة الحامضية على ازالة صبغتي MR و SF سطح صخور البورسيلينات العراقية اهمية في عملية الامتزاز لذا تم دراسة هذا التأثير من خلال استخدام تركيز معين مقداره 9mg/L و 12mg/L واستخدم لهذه التجربة زمن اتزان مقداره 20min. و وزن السطح الماز (سطح صخور البورسيلينات العراقية) 0.02g لصبغتي MR و SF على التوالي وعند درجة حرارة 298K و استخدام محاليل ذات دوال حامضية تراوحت بين (2-12)، تبين النتائج

الموضحة في الشكل (15-3A) و الجدول(8-3A) ان الدالة الحامضية 4.4 و8 هي افضل دالة حامضية حيث اعطت افضل نسبة ازالة لصبغتي MR و SF على التوالي. وهذه الدراسة توصلت إلى أن الدالة الحامضية لها تأثير كبير على السطح وعلى الصبغات ويختلف تأثيرها من صبغة لأخرى إذ أظهرت النتائج أن كمية إمتزاز صبغة MR تزداد في الوسط الحامضي بسبب تكوين ايون موجب للمادة الممتزة والذي يرتبط مع ذرات الاوكسجين الموجودة في السطح الماز وتقل في الوسط القاعدي بسبب عدم تكون ايون موجب على سطح صخور البورسيلينات العراقية و صبغة SF تزداد في الوسط القاعدي وتقل في الوسط الحامضي على سطح صخور البورسيلينات العراقية. لذلك تم اختيار الدالة الحامضية لصبغة MR (pH=4.4) بدون اضافة وقد اعتمدت هذه القيمة كدالة حامضية لأنظمة الامتزاز في عموم تجارب الدراسة وكانت النسبة المئوية للازالة هي 75.3796%، بينما نلاحظ زيادة ملحوظة في كمية الامتزاز بزيادة الدالة الحامضية لصبغة SF تصل النسبة المئوية للازالة الى 96.8631% عند pH=8 وقد اعتمدت هذه القيمة كدالة حامضية لأنظمة الامتزاز في عموم تجارب الدراسة. والسبب في ذلك أن الـ pH للوسط الذي تجري فيه عملية الامتزاز له تأثير على كل من السطح الماز والمادة الممتزة، وان الحامضية تؤثر على مواقع الامتزاز الفعالة في المادة المازة وان لنوعية الشحنة السائدة على السطح الماز دوراً في كيفية تأثير الأس الهيدروجيني على عملية الامتزاز [131].



شكل (15-3A) تأثير الدالة الحامضية في النسبة المئوية لإزالة صبغتي ال MR و SF عند درجة حرارة 298K .

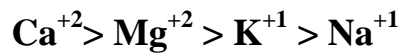
جدول (8-3A) تأثير الدالة الحامضية في النسبة المئوية لإزالة صبغتي الMR وSF عند درجة حرارة 298K

| PH | Removal% = $\frac{Co-Ce}{Co} (\times 100)$ | |
|-----|--|----------|
| | Methyl Red | Safranin |
| 2 | 73.9681% | 85.7283% |
| 4.4 | 75.3796% | 86.2441% |
| 6 | 71.0467% | 89.6352% |
| 8 | 65.8265% | 96.8631% |
| 10 | 61.2832% | 94.6426% |
| 12 | 60.0719% | 94.6426% |

Effect of Ionic Strength

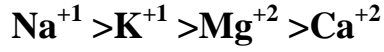
5.2.3 A- تأثير الشدة الأيونية

تشير نتائج دراسة تأثير الشدة الأيونية في محاليل صبغتي Methyl Red و Safranin على سطح صخور البورسيلينات العراقية إلى نقصان سعة الامتزاز مع زيادة الشدة الأيونية التي ربما تعزى إلى أن ذوبانية الصبغة أعلى من ذوبانية الملح المستخدم في زيادة الشدة الأيونية [132] وهذا العامل بدوره يجعل من منافسة ايونات الاملاح المستخدمة على الارتباط مع السطح أكثر مما هو للصبغة وبدا تقل سعة الامتزاز. وأيضاً اشارت نتائج الدراسة إلى اختلاف تأثير الأملاح المستخدمة المختلفة في الشحنة و الحجم على الصبغتين اذ نلاحظ أنه كلما يكون الأيون أكبر شحنة وأكبر حجم يتداخل أكثر في الامتزاز مع صبغة Methyl Red حسب الترتيب التالي :

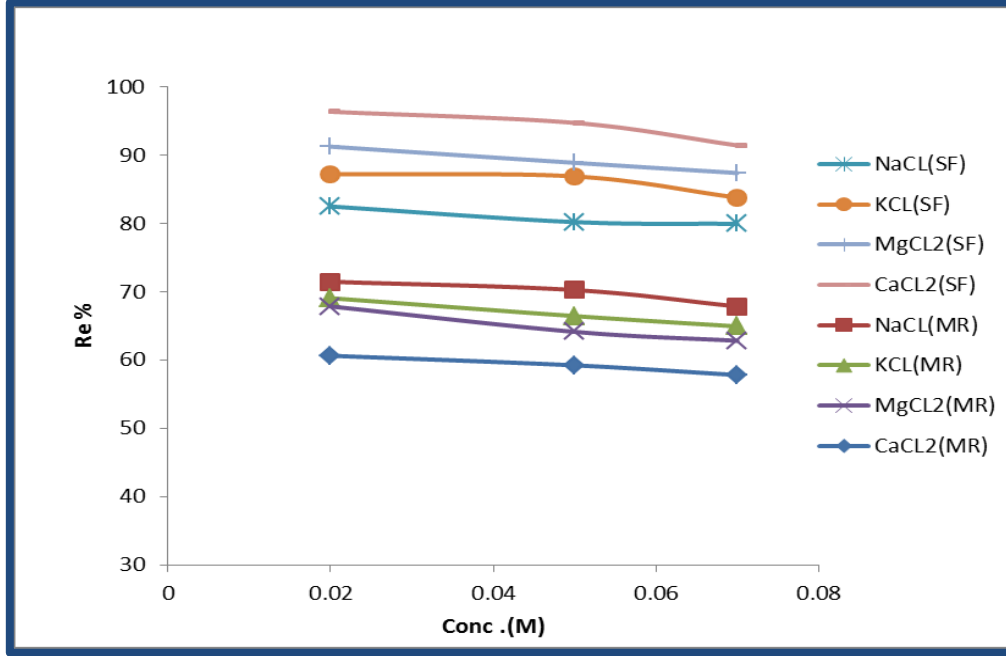


حيث تكون النسبة المئوية للإزالة للصبغة Methyl Red مع ملح كلوريد الصوديوم أعلى من النسبة المئوية مع ملح كلوريد الكالسيوم ،

بينما يكون تأثير هذه الأملاح مع صبغة Safranin على العكس تماماً من صبغة Methyl Red ويكون ترتيب تأثير الايونات على النحو التالي:



ويكون تأثير تركيز هذه الأملاح على الصبغتين حيث كلما كانت زيادة في تركيز الملح يقابلها نقصان في النسبة المئوية للإزالة كما موضح في الشكل (16-3A) و الجدول (9-3A)



شكل (16-3A) تأثير الشدة الأيونية في النسبة المئوية لإزالة صبغة MR عند pH=4.4 و صبغة SF عند pH=8 عند درجة حرارة 298K.

جدول (9-3A) تأثير الشدة الأيونية في النسبة المئوية لإزالة صبغة MR عند PH=4.4 وصبغة SF عند pH=8 عند درجة حرارة 298K.

| | التركيز المولاري للملح (M) | النسبة المئوية للإزالة | | | |
|----|----------------------------|------------------------|----------|-------------------|-------------------|
| | | NaCl | KCl | MgCl ₂ | CaCl ₂ |
| MR | 0.02 | 71.4712% | 69.0639% | 67.8511% | 60.6419% |
| | 0.05 | 70.2541% | 66.4482% | 64.1348% | 59.2267% |
| | 0.07 | 67.8484% | 64.9301% | 62.8233% | 57.8127% |
| SF | 0.02 | 82.4921% | 87.2215% | 91.2510% | 96.3634% |
| | 0.05 | 80.2109% | 86.8902% | 88.8924% | 94.7301% |
| | 0.07 | 79.9413% | 83.7800% | 87.3900% | 91.4404% |

Effect of Temperature

6.2.3A - تأثير درجة الحرارة

إنّ دراسة تأثير درجة الحرارة في عملية الامتزاز يمكن من خلالها تعيين قيم الدوال الترموديناميكية (طاقة كبس ΔG , الانتالبي ΔH , الانتروبي ΔS) لأهمية هذه الدوال في فهم عملية الامتزاز. يمكن حساب قيم الطاقة الحرة ΔG باستخدام المعادلة الآتية :-

$$\Delta G = -RT \ln K_{eq} \quad \dots\dots\dots (3-1)$$

حيث أنّ:

ΔG : هو تغيير الطاقة الحرة بوحدة (J. mol⁻¹)

R : هو ثابت العام للغاز (8.314 J. mol⁻¹ K⁻¹)

K_{eq} : ثابت التوازن.

تم حساب ثابت التوازن (K_{eq}) لعملية الامتزاز عند كل درجة حرارة من المعادلة [133]

$$K_{eq} = \frac{Q_e m}{C_e V} \quad \dots\dots\dots (3-2)$$

m: وزن السطح ألاماز (مسحوق صخور البورسيلينات العراقية).

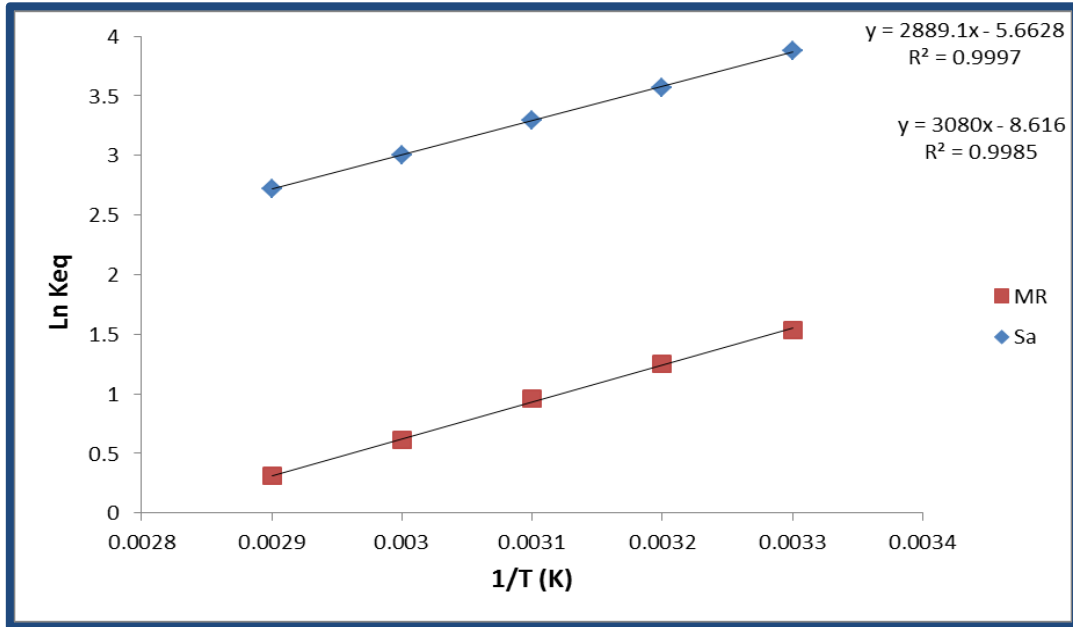
الجدول (10-3A) يعطي قيم $\ln K_{eq}$ في درجات حرارة مختلفة نستطيع حساب ΔH عن طريق رسم قيم $\ln K_{eq}$ مع $1/T$ نحصل على خط مستقيم من تقاطع وميل هذا الرسم نستخرج قيم حرارة الامتزاز طبقا لمعادلة فان ت هوف Vent Hoff Arrhenius Equation

$$\ln K_{eq} = (-\Delta H/RT) + \text{con.} \dots\dots\dots (3-3)$$

"ويمكن حساب قيم التغير في الانتروبي ΔS من خلال المعادلة رقم (1.1).

$$\Delta G = \Delta H - T\Delta S \dots\dots\dots (1.1)$$

العلاقة ($\ln K_{eq}$) مقابل ($1/T$) يجب أن تنتج خط مستقيم مع الميل $(-\Delta H / R)$ كما هو مبين في الشكل (17-3A)



شكل (17-3A) قيم $\ln K_{eq}$ مقابل $1/T(K)$ لامتزاز صبغتي MR و SF على سطح صخور البورسيلينات العراقية.

جدول (10-3A) قيم ثابت التوازن لإزالة صبغتي MR و SF باستخدام صخور البورسيلينات العراقية في درجات حرارة مختلفة.

| Ln K _{eq} MR | Ln K _{eq} SF | T(K) | 1/T (K ⁻¹) |
|--------------------------|--------------------------|------|------------------------|
| 1.53 | 3.8801 | 298 | 0.0033 |
| 1.25 | 3.5711 | 308 | 0.0032 |
| 0.96 | 3.2947 | 318 | 0.0031 |
| 0.61 | 2.9996 | 328 | 0.0030 |
| 0.31 | 2.7213 | 338 | 0.0029 |

جدول (11-3A) الدوال الترموديناميكية ΔG ، ΔH و ΔS لإزالة صبغتي MR و SF على سطح مسحوق صخور البورسيلينات العراقية في درجات حرارة مختلفة (338-298K)

| Adsorbate | Temp. | $-\Delta G$ (KJ/mol) | ΔH (KJ/mol) | $-\Delta S$ (KJ/mol.K) |
|-----------|-------|-------------------------|------------------------|---------------------------|
| MR | 298K | 3.7906 | -25.6071 | 0.07320 |
| | 308K | 3.2008 | | 0.07274 |
| | 318K | 2.5380 | | 0.07254 |
| | 328K | 1.6634 | | 0.07299 |
| | 338K | 0.8711 | | 0.07318 |
| SF | 298K | 9.6132 | -24.0199 | 0.04834 |
| | 308K | 9.1445 | | 0.04829 |
| | 318K | 8.7106 | | 0.04814 |
| | 328K | 8.1798 | | 0.04829 |
| | 338K | 7.6472 | | 0.04843 |

نلاحظ من الجدول (11-3A) إنَّ قيم ΔG السالبة عند مدى درجات الحرارة (298-338K)، يدل على أن امتزاز صبغتي Methyl Red و Safranin على السطح الماز هي عملية تلقائية و إنَّ قيمة انثالبي الامتزاز ΔH السالبة عند امتزاز صبغتي Methyl Red و Safranin والتي تشير إلى أنَّ نوع الامتزاز باعث للحرارة Exothermic أمَّا قيمة الانتروبي ΔS السالبة تشير إلى نقصان في العشوائية عند التماس بين السطح الماز والمحلول .

3B- إزالة صبغتي Methyl Red و Safranin من محاليلها المائية على سطح

صخور البورسيلينات العراقية المحور (بوليمر صخور البورسيلينات العراقية – ميلامين – فورمالديهايد) .

Removal of Methyl Red and Safranin Dyes from aqueous solutions using Iraqi porcelanite Powder modified (Iraqi porcelanite -Melamine-Formaldehyde Polymer).

1.3B- تشخيص السطح Characterization Adsorbent

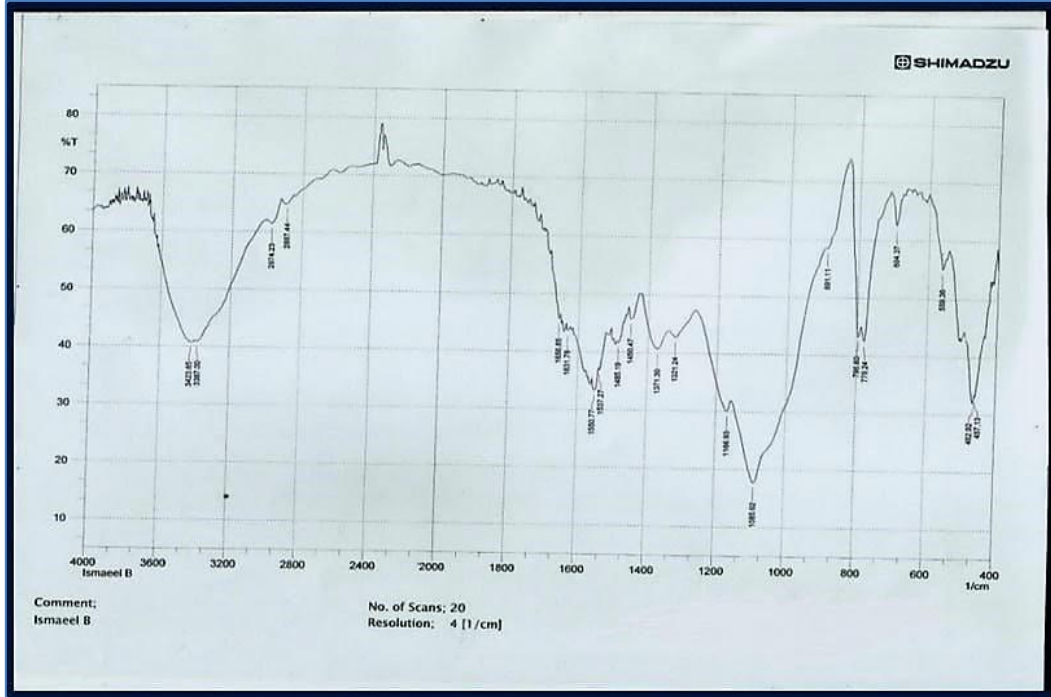
تم تشخيص سطح صخور البورسيلينات المحور PMFP بواسطة جهاز مطيافية الأشعة تحت الحمراء FT-IR وجهاز حيود الأشعة السينية X-RD ومجهر الماسح الإلكتروني SEM ومجهر القوى الذرية AFM .

1.1.3B- تشخيص طيف الأشعة تحت الحمراء

Characterization of FT-IR

ويبين الشكل (1-3B) طيف الأشعة تحت الحمراء للسطح الماز PMFP ظهور حزميتين ضعيفتين للأصرة ضمن المدى ($3132-3407\text{cm}^{-1}$) يعزى إلى التمدد الاهتزازي الغير متمائل والمتماثل من مجموعة (NH_2 -) و ظهور الحزمة الواسعة في 3423cm^{-1} بسبب تمدد الاهتزاز لمجموعة الهيدروكسيل والحزمة الأخرى في 3387cm^{-1} تنتمي إلى تمتد الاهتزاز لمجموعة (NH -) ، من هذه الحقيقة يمكن القول أن هناك رد فعل حدث بين المركبين الميلامين الفورمالديهايد^[134]، نتيجة ظهور حزميتين الأولى في 2979cm^{-1} المخصصة للاهتزاز غير المتماثل لمجموعة الميثيلين (CH_2) والحزمة الثانية في 2887cm^{-1} المخصصة لتمدد الاهتزازي المتماثل لهذه المجموعة. الحزمة في 1631cm^{-1} تعزى إلى الانحناء اهتزازي

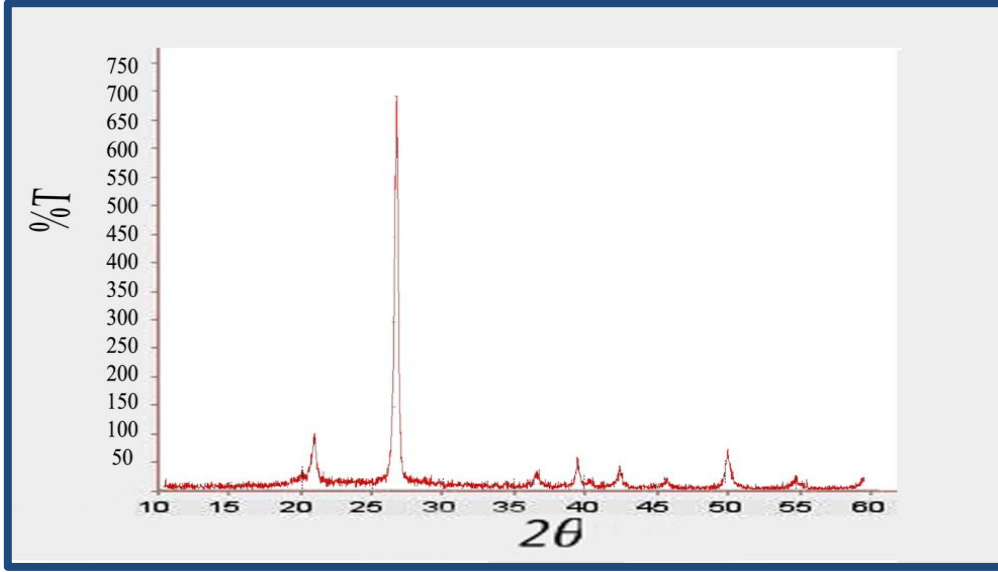
لمجموعة (NH) ، في حين أن الأصرتين عنده 1550cm^{-1} و 1537cm^{-1} المخصصة لتمتد اهتزاز (C = N) داخل حلقة الميلايين. الحزمة الضعيفة في 1450cm^{-1} (CH₂) والحزمة الضعيفة الأخرى عند 1371cm^{-1} تنتمي إلى الانحناء المتماثل لهذه المجموعة ^[135].



الشكل (1-3B) طيف الأشعة تحت الحمراء FT-IR للسطح ألاماز PMFP

2.1.3B- تشخيص حيود الأشعة السينية Characterization of X-RD

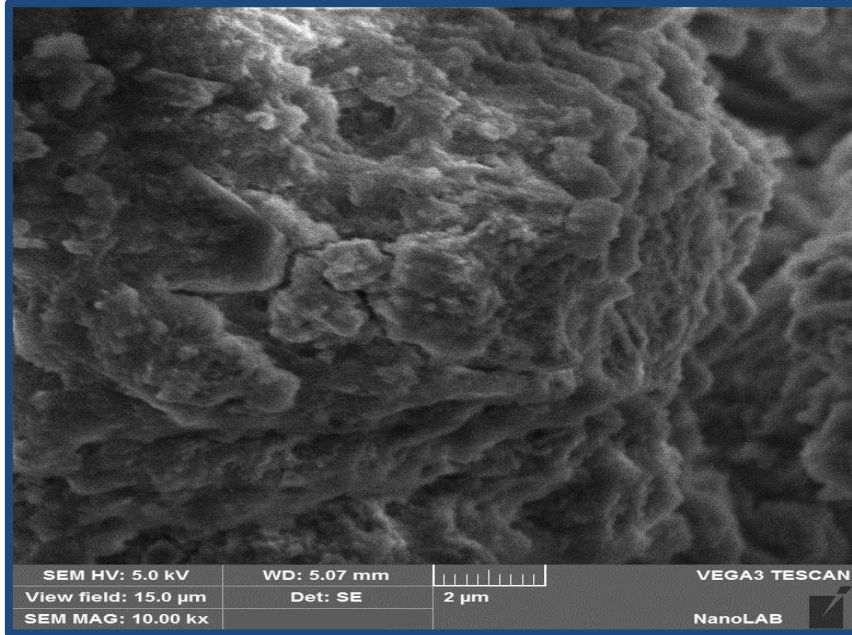
طيف X-RD الموضح في الشكل (2-3B) يظهر الحفاظ على الهيكل بعد التحوير لأن جميع القمم في عينة السطح المحور أوسع وكثافتها أقل عند مقارنتها مع سطح صخور البورسيلينات العراقية ، التي قد تشير إلى تغيير في حجم البلورة لعينة السطح المحور.



شكل (2-3B) طيف X-RD للسطح ألاماز PMFP

3.1.3B) تشخيص مجهر المسح الالكتروني SEM

تم تصوير مورفولوجيا السطح (PMFP) باستخدام مجهر المسح الالكتروني (SEM). يظهر الشكل (3-3B) وجود بلورات صغيرة جدا نانو التي ترتبط معاً لتشكل جزيئات كبيرة ذات مساحة سطحية كبيرة ومسامية كبيرة تسهم بشكل فعال في زيادة نسبة الإزالة للامتزاز .



شكل (3-3B) صورة SEM للسطح ألاماز PMFP

4.1.3 B- تشخيص مجهر القوة الذرية Characterization of AFM

هو ميكروسكوب ذو قدرة تحليلية عالية تصل إلى اجزاء من النانومتر حيث انه يفوق حد تكبير الميكروسكوبات الضوئية بأكثر من 1000 مرة ويظهر صورة ثنائية وثلاثية الابعاد [136] وكما موضح في الشكل (4-3B) صورة ثلاثية الأبعاد لسطح صخور البورسيلينات العراقية المحورة (بوليمر بورسيلينات – ميلامين – فورمالديهايد) يتضح ان عملية البلمرة للسطح المحور تزيد من تجانس السطح مما يؤدي إلى تقليل التشققات و زيادة المساحة السطحية للامتزاز مما يزيد من نسبة الازالة للصبغات الملوثة.



شكل (4-3B) صورة AFM لسطح ألاماز PMFP

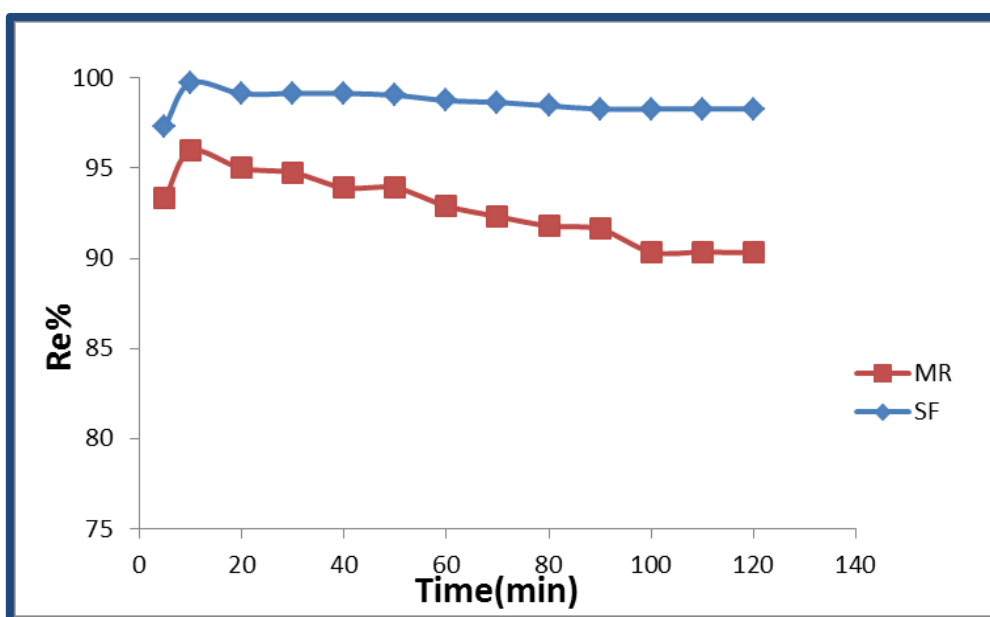
2.3B- دراسة العوامل المؤثرة على إزالة صبغتي Methyl Red و Safranin من المحاليل المائية باستخدام صخور البورسيلينات العراقية المحورة .

Study the Factors Influencing on Removal of Methyl Red and Safranin Dyes from aqueous Solutions using the PMFP

في هذا الجزء من الدراسة تم توضيح العوامل التي تؤثر على استخدام السطح الماز PMFP في إزالة صبغتي Methyl Red و Safranin من المحاليل المائية. وكذلك تتضمن الدراسة إيزوثيرمات الامتزاز (لانكماير، فريندليش، تمكين) والنماذج النظرية التي تصف الإيزوثيرمات والدوال الترموديناميكية لعملية الامتزاز.

1.2.3B- زمن الاتزان Equilibrium time

من العوامل المؤثرة على كمية الامتزاز وسعة الامتزاز هو زمن الاتزان حيث تم دراسة زمن الاتزان بين السطح الماز (صخور البورسيلينات العراقية المحورة) وصبغتي MR و SF باستخدام وزن مقداره 0.01g من السطح الماز وتركيز مقداره 12 mg/L و 9 mg/L من الصبغتين على التوالي وعند درجة حرارة مقداره 298K وباستخدام ازمان مختلفة ضمن المدى (5-120 min). تبين النتائج الموضحة في الشكل (5-3B) والجدول (1-3B) ان الزمن (10min) هو أفضل زمن اتزان لصبغتي MR و SF على التوالي حيث أعطى أفضل نسبة إزالة لذلك تم تثبيتها في التجارب اللاحقة.



شكل (5-3B) يوضح زمن الاتزان لصبغتي MR و SF على سطح صخور البورسيلينات العراقية المحورة PMFP.

جدول (1-3B) النسب المئوية لإزالة صبغتي SF وMR من المحاليل المائية باستخدام سطح مسحوق صخور البورسيلينات العراقية المحورة وعند درجة حرارة 298K.

| Time/min | Removal% = $\left(\frac{C_0 - C_e}{C_0}\right) \times 100$ | |
|----------|--|----------|
| | Methyl Red | Safranin |
| 5 | 93.3174% | 97.3323% |
| 10 | 95.9582% | 99.7353% |
| 20 | 94.9974% | 99.1382% |
| 30 | 94.7583% | 99.1452% |
| 40 | 93.9173% | 99.1453% |
| 50 | 93.9126% | 99.0482% |
| 60 | 92.9011% | 98.7525% |
| 70 | 92.3262% | 98.6553% |
| 80 | 91.8016% | 98.4596% |
| 90 | 91.6274% | 98.2825% |
| 100 | 90.3554% | 98.2796% |
| 110 | 90.3512% | 98.2796% |
| 120 | 90.3142% | 98.2796% |

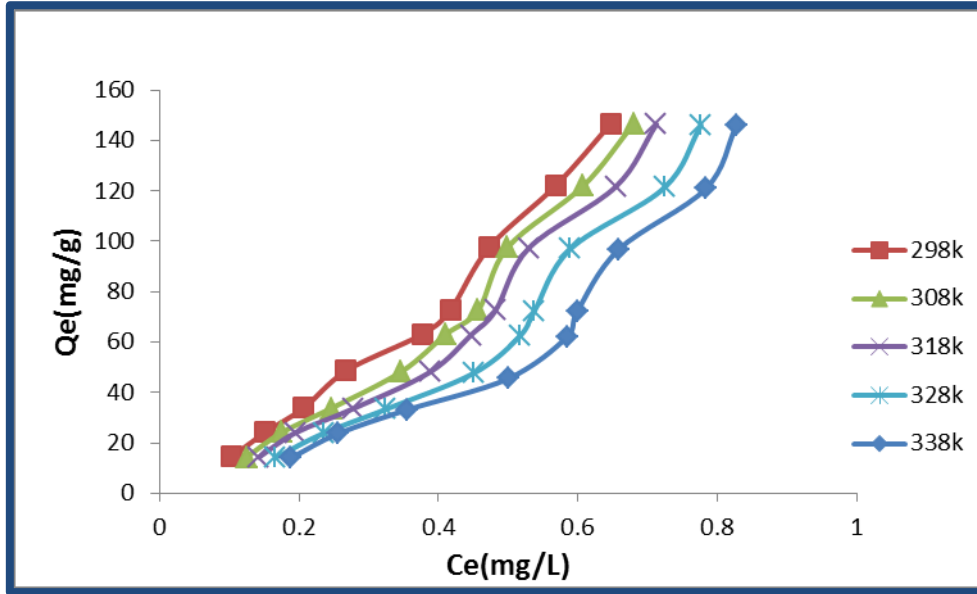
The Adsorption Isotherms

2.2.3B- أيزوثيرمات الامتزاز

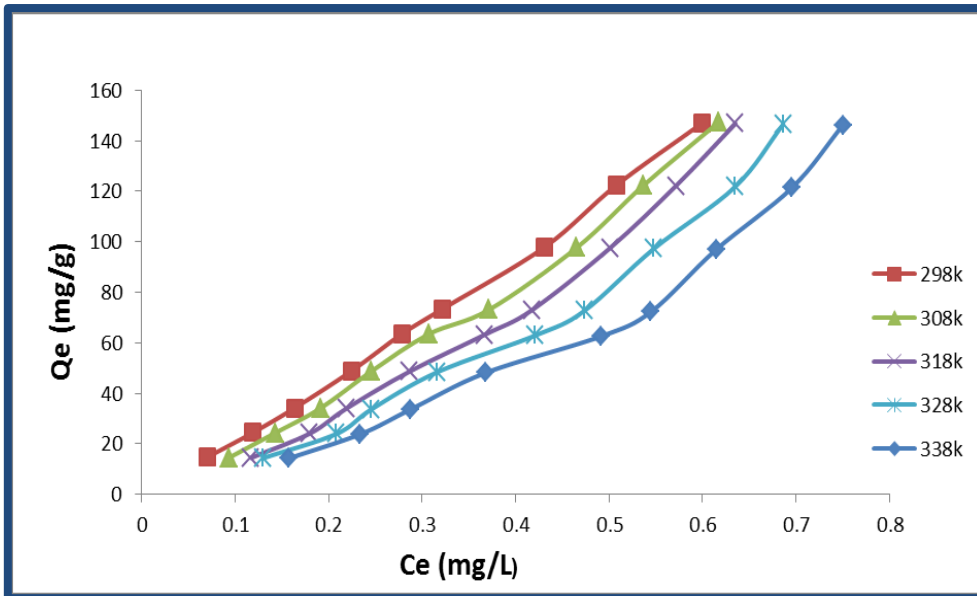
تم دراسة امتزاز صبغتي MR و SF على سطح صخور البورسيلينات العراقية المحور. وتم الحصول على ايزوثيرمات الامتزاز كما موضحة في الجدول (2.3B) عند درجات حرارية مختلفة ضمن المدى (298-338K) وعند الظروف الفضلى لكلا الصبغتين، بعدها تم حساب السعة الوزنية للامتزاز (Qe) من المعادلة التي سبق ذكرها في الفقرة (2-8) إنَّ رسم العلاقة بين السعة الوزنية (Qe) والتركيز عند الاتزان (Ce) للمادة المازة يعطي الاشكال العامة لايزوثيرمات الامتزاز عند الاتزان كما مبين في الشكلين (6-3B) و (7-3B) .

جدول (2-3B) قيم سعة الامتزاز لصبغتي MR و SF على سطح البورسيلينات العراقية المحور PMFP في درجات حرارة مختلفة.

| Temp | 298 K | | | 308 K | | 318 K | | 328 K | | 338 K | |
|-----------|-----------|-----------|-----------|-----------|-----------|-----------|-----------|-----------|-----------|-----------|-----------|
| Adsorbate | Co (mg/L) | Ce (mg/L) | Qe (mg/g) | Ce (mg/L) | Qe (mg/g) | Ce (mg/L) | Qe (mg/g) | Ce (mg/L) | Qe (mg/g) | Ce (mg/L) | Qe (mg/g) |
| MR | 3 | 0.1036 | 14.4814 | 0.1248 | 14.3754 | 0.1425 | 14.2871 | 0.1662 | 14.1684 | 0.1886 | 14.0564 |
| | 5 | 0.1520 | 24.2394 | 0.1752 | 24.1234 | 0.1948 | 24.0254 | 0.2350 | 23.8244 | 0.2562 | 23.7184 |
| | 7 | 0.2072 | 33.9633 | 0.2463 | 33.7679 | 0.2776 | 33.6114 | 0.3246 | 33.3764 | 0.3559 | 33.2209 |
| | 10 | 0.2678 | 48.6604 | 0.3466 | 48.2664 | 0.3874 | 48.0623 | 0.4508 | 47.7453 | 0.4997 | 45.5011 |
| | 13 | 0.3762 | 63.1182 | 0.4096 | 62.9514 | 0.4461 | 62.7689 | 0.5165 | 62.4169 | 0.5841 | 62.0789 |
| | 15 | 0.4170 | 72.9144 | 0.4568 | 72.7155 | 0.4816 | 72.5914 | 0.5372 | 72.3134 | 0.5984 | 72.0074 |
| | 20 | 0.4724 | 97.6376 | 0.4986 | 97.5063 | 0.5293 | 97.3529 | 0.5891 | 97.0539 | 0.6578 | 96.7104 |
| | 25 | 0.5681 | 122.1589 | 0.6071 | 121.9639 | 0.6540 | 121.7294 | 0.7238 | 121.3804 | 0.7835 | 121.0809 |
| | 30 | 0.6470 | 146.7644 | 0.6792 | 146.6034 | 0.7120 | 146.4394 | 0.7761 | 146.1189 | 0.8266 | 145.8664 |
| SF | 3 | 0.0699 | 14.6505 | 0.0936 | 14.532 | 0.1169 | 14.4155 | 0.1301 | 14.3495 | 0.1571 | 14.2214 |
| | 5 | 0.1189 | 24.4055 | 0.1427 | 24.2865 | 0.1799 | 24.1005 | 0.2084 | 23.9580 | 0.2339 | 23.8305 |
| | 7 | 0.1636 | 34.1820 | 0.1911 | 34.0445 | 0.2187 | 33.9065 | 0.2462 | 33.7690 | 0.2874 | 33.5630 |
| | 10 | 0.2246 | 48.8770 | 0.2459 | 48.7705 | 0.2863 | 48.5685 | 0.3163 | 48.4185 | 0.3682 | 48.1590 |
| | 13 | 0.2787 | 63.6065 | 0.3071 | 63.4645 | 0.3666 | 63.167 | 0.4209 | 62.8955 | 0.4911 | 62.5445 |
| | 15 | 0.3217 | 73.3915 | 0.3718 | 73.1410 | 0.4173 | 72.9135 | 0.4734 | 72.6330 | 0.5448 | 72.2760 |
| | 20 | 0.4308 | 97.8460 | 0.4653 | 97.6735 | 0.5009 | 97.4955 | 0.5478 | 97.2610 | 0.6144 | 96.9280 |
| | 25 | 0.5079 | 122.4605 | 0.5367 | 122.3165 | 0.5714 | 122.143 | 0.6349 | 121.8255 | 0.6959 | 121.5205 |
| | 30 | 0.5994 | 147.0030 | 0.6173 | 147.4135 | 0.6352 | 146.824 | 0.6863 | 146.5685 | 0.7501 | 146.2495 |



شكل (6-3B) أيزوثيرمات الامتزاز لصبغة MR عند $pH=4.4$ باستخدام $0.01g$ من سطح البورسيلينات العراقية المحور وزمن اتزان مقداره (10min) وعند درجات حرارية مختلفة.

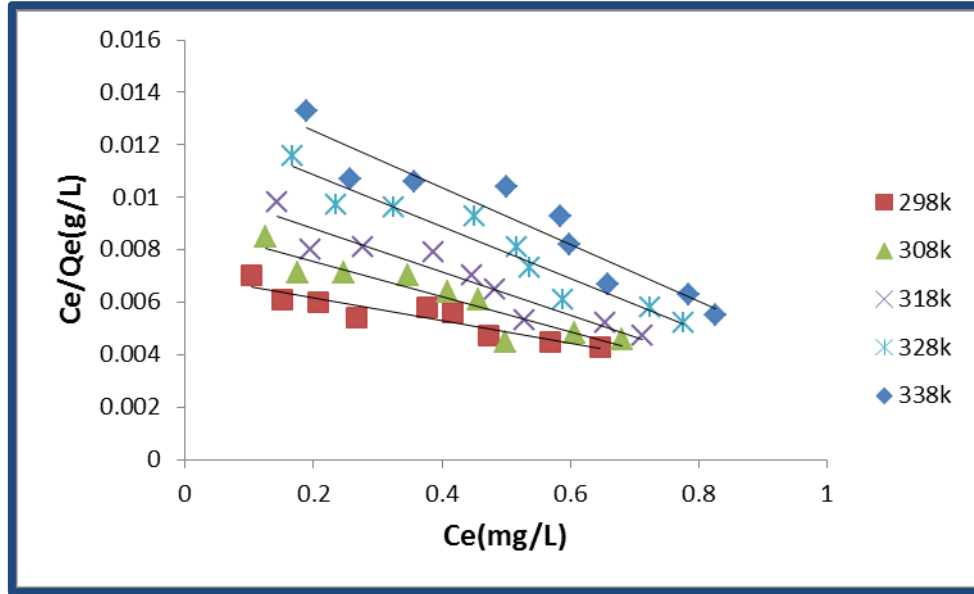


شكل (7-3B) أيزوثيرمات الامتزاز لصبغة SF عند $pH=8$ باستخدام $0.01g$ من سطح البورسيلينات العراقية المحور وزمن اتزان مقداره (10min) وعند درجات حرارية مختلفة.

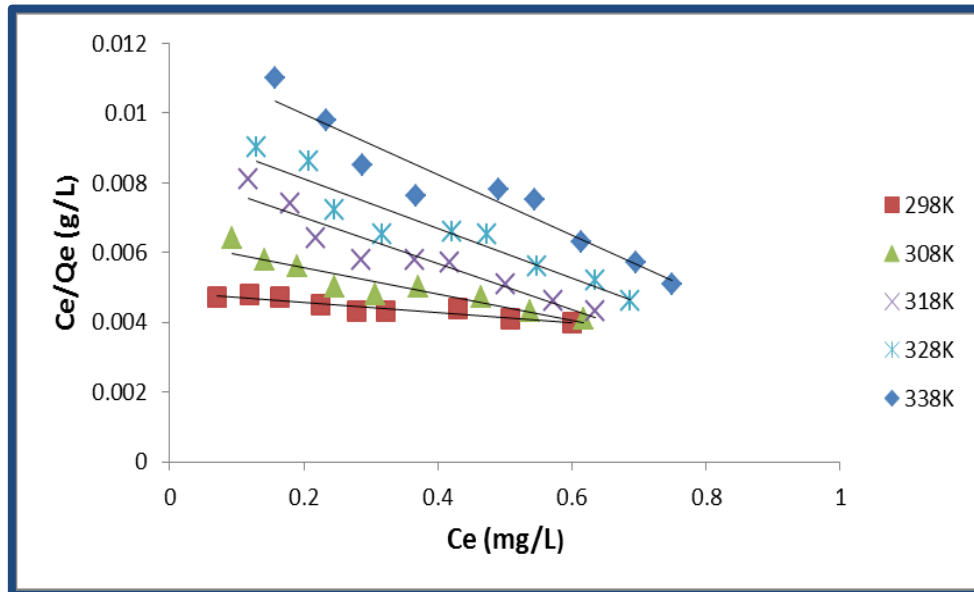
إنّ دراسة أيزوثيرمات الامتزاز تعطي معلومات مهمة في وصف عملية الامتزاز وظروفها ومعرفة سعة الامتزاز للمادة الممتزة مع تركيزها عند حصول عملية الامتزاز. إنّ الشكل العام لايزوثيرم الصبغتين MR و SF على السطح ألاماز PMFP في الشكلين (6-3B) و (7-3B)، يتوافق بصورة عامة مع الصنف (S₄-Type) حسب تصنيف (Giles) والذي يشير إلى إن توجه المواقع الفعالة على سطح البورسيلينات العراقية المحورة يكون مائلا أو عموديا والى انجذاب عالي للصبغتين على السطح. تم تطبيق البيانات التجريبية لإزالة صبغة MR و صبغة SF على معادلة لانكماير ومعادلة فريندلش وتمكن لمعرفة مدى انطباقها على افتراضات المعادلات. يظهر من بيانات الجدول (5-3B) و الشكل (12-3B) و (13-3B) استبعاد معادلة تمكن في ميكانيكية الامتزاز لعدم وجود علاقة خطية بين (Qe) وقيم (LnCe) في حين ان بيانات الاتزان اظهرت انطباق معادلة فريندلش بشكل واضح عند رسم log Qe مقابل قيم log Ce كما في الجدول (4.3B) والشكل (10-3B) و (11-3B) مقارنة مع تمكن وايضا يظهر الجدول (3-3B) والشكل (8-3B) و (9-3B) انطباق معادلة لانكماير بشكل جيد عند رسم Ce/Qe مقابل قيم Ce.

جدول (3-3B) البيانات الخاصة بامتزاز صبغة SF وMR على سطح البورسيلينات العراقية المحور PMFP عند درجات حرارية مختلفة على وفق تطبيق معادلة لانكماير.

| Temp. | 298 K | | | 308 K | | 318 K | | 328 K | | 338 K | |
|-----------|-----------|-----------|---------------|-----------|---------------|-----------|--------------|-----------|--------------|-----------|---------------|
| Adsorbate | Co (mg/L) | Ce (mg/L) | Ce/ Qe (mg/g) | Ce (mg/L) | Ce/ Qe (mg/g) | Ce (mg/L) | Ce/Qe (mg/g) | Ce (mg/L) | Ce/Qe (mg/g) | Ce (mg/L) | Ce/ Qe (mg/g) |
| MR | 3 | 0.1036 | 0.0070 | 0.1248 | 0.0085 | 0.1425 | 0.0098 | 0.1662 | 0.0116 | 0.1886 | 0.0133 |
| | 5 | 0.1520 | 0.0061 | 0.1752 | 0.0071 | 0.1948 | 0.0080 | 0.2350 | 0.0097 | 0.2562 | 0.0107 |
| | 7 | 0.2072 | 0.0060 | 0.2463 | 0.0071 | 0.2776 | 0.0081 | 0.3246 | 0.0096 | 0.3559 | 0.0106 |
| | 10 | 0.2678 | 0.0054 | 0.3466 | 0.0070 | 0.3874 | 0.0079 | 0.4508 | 0.0093 | 0.4997 | 0.0104 |
| | 13 | 0.3762 | 0.0058 | 0.4096 | 0.0064 | 0.4461 | 0.0070 | 0.5165 | 0.0081 | 0.5841 | 0.0093 |
| | 15 | 0.4170 | 0.0056 | 0.4568 | 0.0061 | 0.4816 | 0.0065 | 0.5372 | 0.0073 | 0.5984 | 0.0082 |
| | 20 | 0.4724 | 0.0047 | 0.4986 | 0.0045 | 0.5293 | 0.0053 | 0.5891 | 0.0061 | 0.6578 | 0.0067 |
| | 25 | 0.5681 | 0.0045 | 0.6071 | 0.0048 | 0.6540 | 0.0052 | 0.7238 | 0.0058 | 0.7835 | 0.0063 |
| | 30 | 0.6470 | 0.0043 | 0.6792 | 0.0046 | 0.7120 | 0.0047 | 0.7761 | 0.0052 | 0.8266 | 0.0055 |
| SF | 3 | 0.0699 | 0.0047 | 0.0936 | 0.0064 | 0.1169 | 0.0081 | 0.1301 | 0.009 | 0.1571 | 0.0110 |
| | 5 | 0.1189 | 0.0048 | 0.1427 | 0.0058 | 0.1799 | 0.0074 | 0.2084 | 0.0086 | 0.2339 | 0.0098 |
| | 7 | 0.1636 | 0.0047 | 0.1911 | 0.0056 | 0.2187 | 0.0064 | 0.2462 | 0.0072 | 0.2874 | 0.0085 |
| | 10 | 0.2246 | 0.0045 | 0.2459 | 0.005 | 0.2863 | 0.0058 | 0.3163 | 0.0065 | 0.3682 | 0.0076 |
| | 13 | 0.2787 | 0.0043 | 0.3071 | 0.0048 | 0.3666 | 0.0058 | 0.4209 | 0.0066 | 0.4911 | 0.0078 |
| | 15 | 0.3217 | 0.0043 | 0.3718 | 0.005 | 0.4173 | 0.0057 | 0.4734 | 0.0065 | 0.5448 | 0.0075 |
| | 20 | 0.4308 | 0.0044 | 0.4653 | 0.0047 | 0.5009 | 0.0051 | 0.5478 | 0.0056 | 0.6144 | 0.0063 |
| | 25 | 0.5079 | 0.0041 | 0.5367 | 0.0043 | 0.5714 | 0.0046 | 0.6349 | 0.0052 | 0.6959 | 0.0057 |
| | 30 | 0.5994 | 0.004 | 0.6173 | 0.0041 | 0.6352 | 0.0043 | 0.6863 | 0.0046 | 0.7501 | 0.0051 |



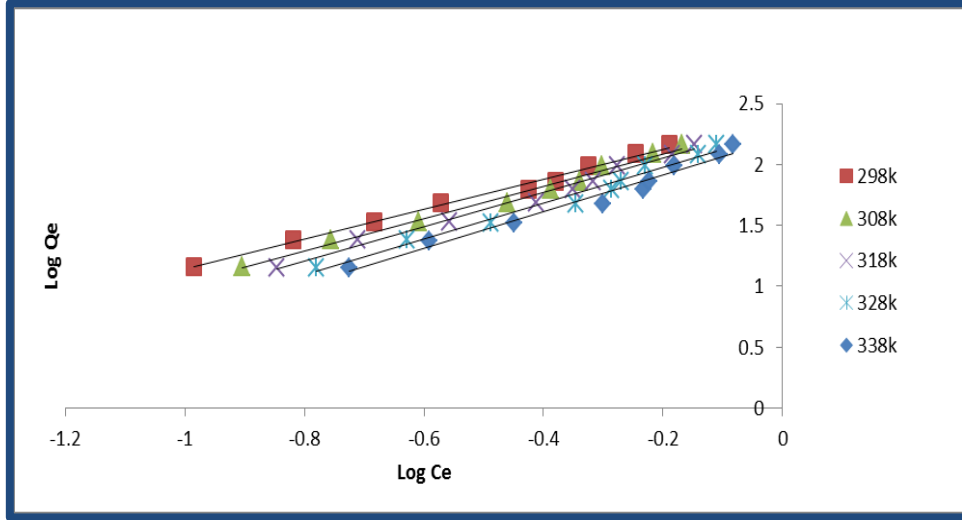
شكل (8-3B) ايزوثيرم لانكماير لامتزاز صبغة MR على سطح صخور البورسيلينات العراقية المحور PMFP عند درجات حرارية مختلفة.



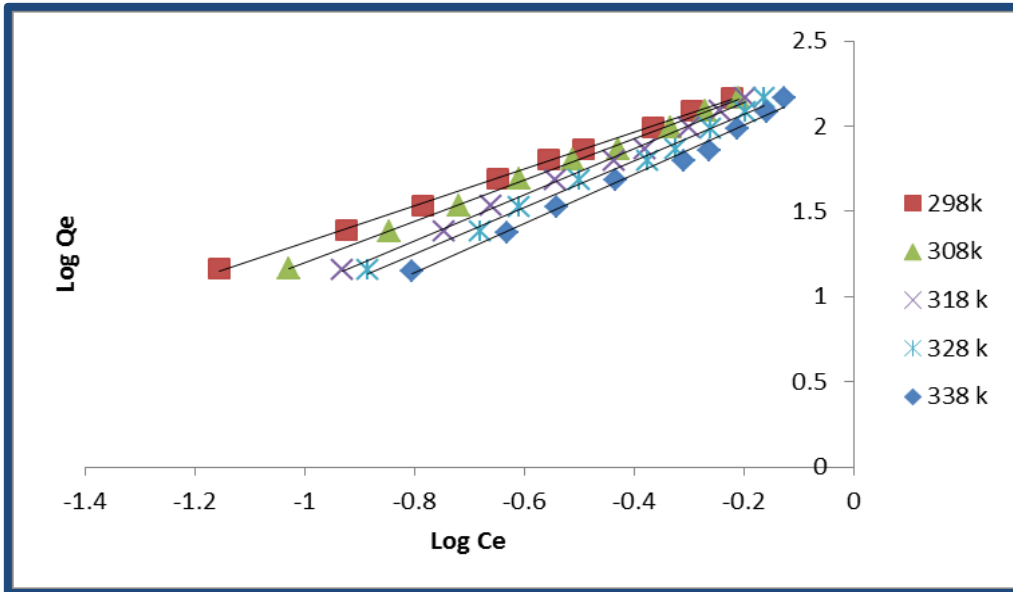
شكل (9-3B) ايزوثيرم لانكماير لامتزاز صبغة SF على سطح صخور البورسيلينات العراقية المحور PMFP عند درجات حرارية مختلفة.

جدول (4-3B) البيانات الخاصة بامتزاز صبغتي MR و SF على سطح المحور PMFP عند درجات حرارية مختلفة على وفق تطبيق معادلة فريندلش.

| Temp. | 298 K | | 308 K | | 318 K | | 328 K | | 338 K | |
|-----------|---------|--------|---------|--------|---------|--------|---------|--------|---------|--------|
| Adsorbate | Log Ce | Log Qe | Log Ce | Log Qe | Log Ce | Log Qe | Log Ce | Log Qe | Log Ce | Log Qe |
| MR | -0.9843 | 1.1609 | -0.9035 | 1.1577 | -0.8459 | 1.1550 | -0.7792 | 1.1514 | -0.7243 | 1.1479 |
| | -0.8179 | 1.3846 | -0.7564 | 1.3825 | -0.7102 | 1.3807 | -0.6288 | 1.3771 | -0.5913 | 1.3751 |
| | -0.6835 | 1.5311 | -0.6084 | 1.5286 | -0.5565 | 1.5265 | -0.4886 | 1.5235 | -0.4486 | 1.5214 |
| | -0.5721 | 1.6872 | -0.4601 | 1.6837 | -0.4118 | 1.6819 | -0.3460 | 1.6790 | -0.3013 | 1.6768 |
| | -0.4245 | 1.8002 | -0.3876 | 1.7991 | -0.3505 | 1.7978 | -0.2869 | 1.7954 | -0.2335 | 1.7930 |
| | -0.3798 | 1.8629 | -0.3402 | 1.8617 | -0.3173 | 1.8609 | -0.2698 | 1.8593 | -0.2230 | 1.8574 |
| | -0.3256 | 1.9897 | -0.3022 | 1.9891 | -0.2763 | 1.9884 | -0.2298 | 1.9871 | -0.1819 | 1.9855 |
| | -0.2455 | 2.0869 | -0.2167 | 2.0863 | -0.1844 | 2.0854 | -0.1404 | 2.0842 | -0.1060 | 2.0831 |
| | -0.1891 | 2.1667 | -0.1680 | 2.1662 | -0.1475 | 2.1657 | -0.1101 | 2.1648 | -0.0827 | 2.1640 |
| SF | -1.1555 | 1.1658 | -1.0287 | 1.1623 | -0.9321 | 1.1588 | -0.8857 | 1.1568 | -0.8038 | 1.1529 |
| | -0.9248 | 1.3874 | -0.8455 | 1.3853 | -0.7449 | 1.382 | -0.6811 | 1.3794 | -0.6309 | 1.3771 |
| | -0.7862 | 1.5337 | -0.7187 | 1.532 | -0.6601 | 1.5302 | -0.6087 | 1.5285 | -0.5415 | 1.5258 |
| | -0.6485 | 1.6891 | -0.6092 | 1.6881 | -0.5431 | 1.6863 | -0.4999 | 1.685 | -0.4339 | 1.6826 |
| | -0.5548 | 1.8035 | -0.5127 | 1.8025 | -0.4358 | 1.8004 | -0.3758 | 1.7986 | -0.3088 | 1.7961 |
| | -0.4925 | 1.8656 | -0.4296 | 1.8641 | -0.3795 | 1.8628 | -0.3247 | 1.8611 | -0.2637 | 1.8589 |
| | -0.3657 | 1.9905 | -0.3322 | 1.9897 | -0.3002 | 1.9889 | -0.2613 | 1.9879 | -0.2115 | 1.9864 |
| | -0.2942 | 2.0879 | -0.2702 | 2.0874 | -0.243 | 2.0868 | -0.1972 | 2.0857 | -0.1574 | 2.0846 |
| | -0.2222 | 2.1673 | -0.2095 | 2.1685 | -0.197 | 2.1667 | -0.1634 | 2.166 | -0.1248 | 2.165 |



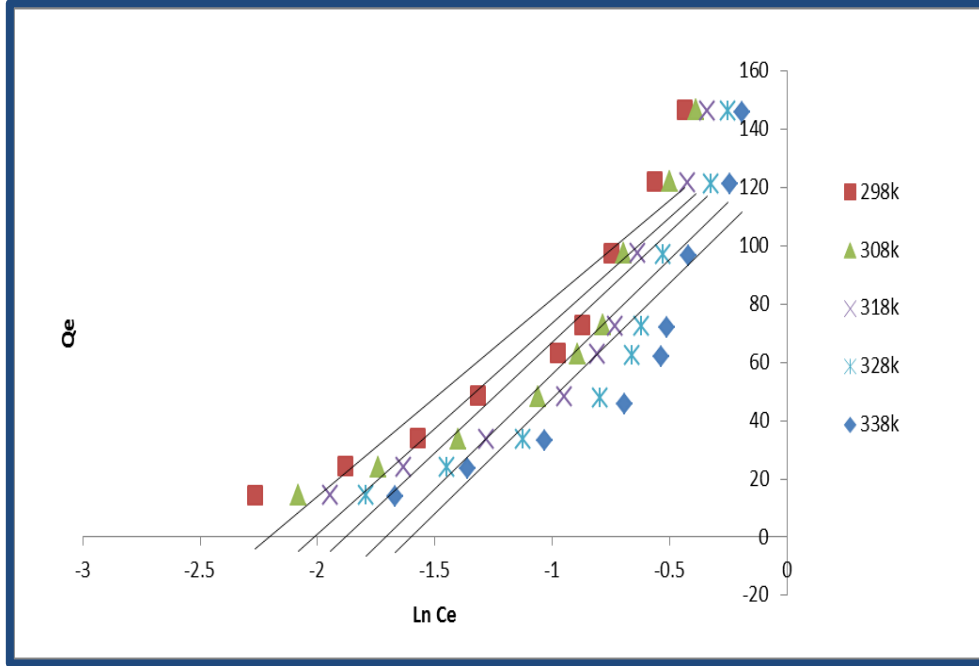
شكل (10-3B) ايزوثيرم فريندلش لامتزاز صبغة MR على سطح صخور البورسيلينات العراقية المحور PMFP عند درجات حرارية مختلفة.



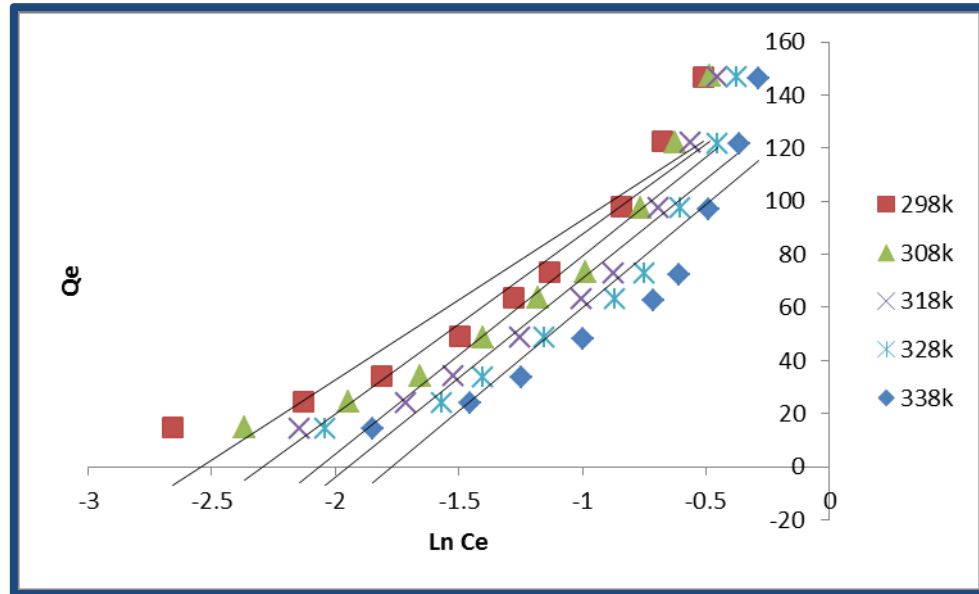
شكل (11-3B) ايزوثيرم فريندلش لامتزاز صبغة SF على سطح صخور البورسيلينات العراقية المحور PMFP عند درجات حرارية مختلفة.

جدول (5-3B) البيانات الخاصة بامتزاز صبغة MR و SF على سطح المحور PMFP بدرجات حرارية مختلفة على وفق تطبيق معادلة تمكن.

| Temp.K | 298 K | | 308 K | | 318 K | | 328 K | | 338 K | |
|-----------|---------|----------|---------|----------|---------|----------|---------|----------|---------|----------|
| Adsorbate | Ln Ce | Qe | Ln Ce | Qe | Ln Ce | Qe | Ln Ce | Qe | Ln Ce | Qe |
| MR | -2.2663 | 14.4814 | -2.0803 | 14.3754 | -1.9478 | 14.2871 | -1.7938 | 14.1684 | -1.6676 | 14.0564 |
| | -1.8833 | 24.2394 | -1.7413 | 24.1234 | -1.6353 | 24.0254 | -1.4478 | 23.8244 | -1.3615 | 23.7184 |
| | -1.5736 | 33.9633 | -1.4008 | 33.7679 | -1.2813 | 33.6114 | -1.1249 | 33.3764 | -1.0329 | 33.2209 |
| | -1.3172 | 48.6604 | -1.0592 | 48.2664 | -0.9481 | 48.0623 | -0.7966 | 47.7453 | -0.6936 | 45.5011 |
| | -0.9774 | 63.1182 | -0.8924 | 62.9514 | -0.8069 | 62.7689 | -0.6605 | 62.4169 | -0.5376 | 62.0789 |
| | -0.8745 | 72.9144 | -0.7833 | 72.7155 | -0.7305 | 72.5914 | -0.6212 | 72.3134 | -0.5134 | 72.0074 |
| | -0.7498 | 97.6376 | -0.6958 | 97.5063 | -0.6361 | 97.3529 | -0.5290 | 97.0539 | -0.4188 | 96.7104 |
| | -0.5653 | 122.1589 | -0.4989 | 121.9639 | -0.4245 | 121.7294 | -0.3232 | 121.3804 | -0.2439 | 121.0809 |
| | -0.4353 | 146.7644 | -0.3867 | 146.6034 | -0.3396 | 146.4394 | -0.2534 | 146.1189 | -0.1904 | 145.8664 |
| SF | -2.6606 | 14.6505 | -2.3687 | 14.532 | -2.1464 | 14.4155 | -2.0394 | 14.3495 | -1.8508 | 14.2214 |
| | -2.1294 | 24.4055 | -1.947 | 24.2865 | -1.7153 | 24.1005 | -1.5682 | 23.958 | -1.4528 | 23.8305 |
| | -1.8103 | 34.182 | -1.6549 | 34.0445 | -1.52 | 33.9065 | -1.4016 | 33.769 | -1.2468 | 33.563 |
| | -1.4934 | 48.877 | -1.4028 | 48.7705 | -1.2507 | 48.5685 | -1.151 | 48.4185 | -0.9991 | 48.159 |
| | -1.2776 | 63.6065 | -1.1805 | 63.4645 | -1.0034 | 63.167 | -0.8653 | 62.8955 | -0.7111 | 62.5445 |
| | -1.1341 | 73.3915 | -0.9893 | 73.141 | -0.8739 | 72.9135 | -0.7478 | 72.633 | -0.6073 | 72.276 |
| | -0.8421 | 97.846 | -0.765 | 97.6735 | -0.6913 | 97.4955 | -0.6018 | 97.261 | -0.4871 | 96.928 |
| | -0.6774 | 122.4605 | -0.6223 | 122.3165 | -0.5596 | 122.143 | -0.4542 | 121.8255 | -0.3625 | 121.5205 |
| | -0.5118 | 147.003 | -0.4824 | 147.4135 | -0.4538 | 146.824 | -0.3764 | 146.5685 | -0.2875 | 146.2495 |



شكل (12-3B) ايزوثيرم تمكن لامتزاز صبغة MR على سطح صخور البورسيلينات العراقية المحور PMFP عند درجات حرارية مختلفة.



شكل (13-3B) ايزوثيرم تمكن لامتزاز صبغة SF على سطح صخور البورسيلينات العراقية المحور PMFP عند درجات حرارية مختلفة.

بعدها تم حساب ثوابت الايزوثيرمات (a, b, R_L) لأنموذج لانكماير و (n, K_f) لأنموذج فريندلش

وأیضا نموذج تمكن (B, A_T) مع معاملات الارتباط الخطية كما يظهره الجدول (6-3B).

جدول (6-3B) قيم ثوابت لانكماير، فريندلش وتمكن ومعامل الارتباط لامتزاز صبغة MR و صبغة SF عند درجات حرارية مختلفة.

| Temp. K | Langmuir isotherms | | | | Freundlich isotherms | | | Temkin isotherms | | | |
|------------|--------------------|-------------|----------------|--------|----------------------|----------|----------------|------------------|---------|----------------|--------|
| | a (mg/g) | b (mg/L) | r ² | RL | Kf | n | r ² | B | AT | r ² | |
| MR | 298 | 232.5581 | 0.6056 | 0.8548 | 0.0006 | 235.9391 | 0.8127 | 0.9929 | 67.802 | 9.0693 | 0.8712 |
| | 308 | 147.0588 | 0.7555 | 0.8670 | 0.0009 | 226.308 | 0.7479 | 0.9877 | 72.585 | 7.4797 | 0.8460 |
| | 318 | 121.9512 | 0.7809 | 0.9063 | 0.0011 | 213.9932 | 0.7126 | 0.9843 | 75.791 | 6.5679 | 0.8390 |
| | 328 | 100.0000 | 0.7751 | 0.9177 | 0.0014 | 188.0615 | 0.6762 | 0.9792 | 78.85 | 5.5300 | 0.8203 |
| | 338 | 92.5925 | 0.7297 | 0.9048 | 0.0015 | 164.6645 | 0.6653 | 0.9758 | 79.322 | 4.9679 | 0.8045 |
| SF | 298 | 714.2857 | 0.2857 | 0.8637 | 0.3333 | 249.9194 | 0.9243 | 0.9989 | 60.334 | 12.7643 | 0.8902 |
| | 308 | 268.1578 | 0.5919 | 0.8826 | 0.1944 | 256.7438 | 0.8252 | 0.9982 | 67.754 | 9.9148 | 0.8963 |
| | 318 | 151.5151 | 0.7951 | 0.9131 | 0.1523 | 254.3899 | 0.7409 | 0.9966 | 74.5070 | 7.8835 | 0.8804 |
| | 328 | 140.845 | 0.7395 | 0.9087 | 0.1619 | 222.9461 | 0.4258 | 0.9920 | 74.998 | 6.9860 | 0.8641 |
| | 338 | 114.9425 | 0.7435 | 0.9235 | 0.1611 | 195.659 | 0.4363 | 0.9892 | 77.679 | 5.9017 | 0.8500 |

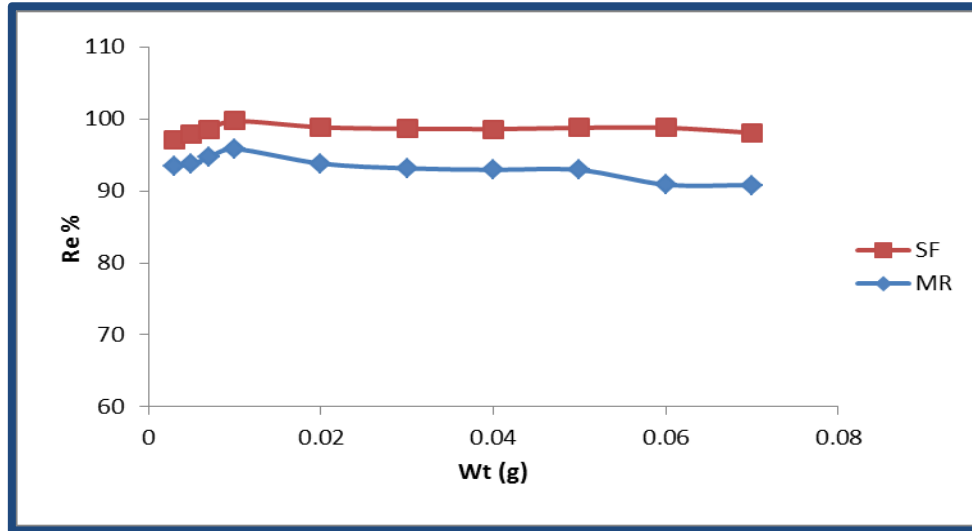
نلاحظ من قيم الميل (Slope) ومعامل الارتباط (r^2) من النتائج العملية السابقة أن معادلة

فريندلش ولانكماير هي الأكثر انطباقاً من معادلة تمكن على عملية امتزاز صبغتي Methyl Safranin, Red بسبب الإنطباق الخطي الظاهري الافضل لايزوثيرم فريندلش في الاشكال السابقة

3.2.3B- تأثير وزن السطح ألاماز Effect of surface Weight

تغيير وزن السطح الماز (PMFP) له تأثير على عملية امتزاز صبغتي MR و SF لذا تم دراسة هذا التأثير باستخدام تركيز ثابت (12mg/L) من صبغة MR و (9mg/L) من صبغة SF كمادة ممتزة وأوزان مختلفة تراوحت ما بين (0.003 - 0.07g) من سطح البورسيلينات العراقية المحور PMFP عند 298K. من خلال الشكل (14-3B) و الجدول (7-3B) لوحظ تأثير تغير وزن السطح ألاماز على كمية الامتزاز للصبغتين MR و SF حيث تزداد نسبة الازالة مع زيادة كمية السطح الماز والسبب يعود إلى توفير مساحة أكبر مع زيادة عدد المواقع الفعالة (Active Sites) المهية لامتزاز الصبغة على السطح ومن ثم تزداد كمية الصبغة الممتزة من المحلول فتزداد النسبة المئوية للإزالة، حتى تصل إلى قيمة محددة تمثل كمية المادة ألاماز في

مرحلة الاشباع ولا تتأثر بزيادة وزن السطح ألاماز PMFP، ان الوزن (0.01g) يعطي أفضل نسبة إزالة لصبغتي SF وMR على التوالي لذلك تم استخدامها في التجارب اللاحقة .



شكل (14-3B) تأثير وزن سطح صخور البورسيلينات العراقية المحور في

النسبة المئوية لإزالة صبغتي SF وMR عند درجة حرارة 298K.

جدول (7-3) قيم النسب لإزالة محاليل صبغتي SF وMR بأستخدام أوزان مختلفة من سطح

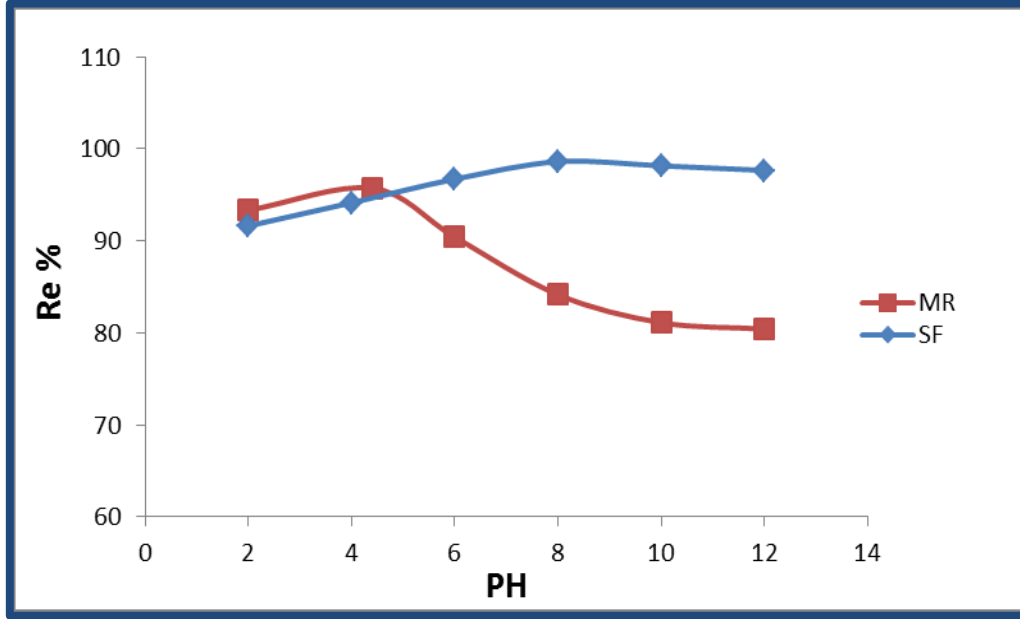
صخور البورسيلينات العراقية المحور PMFP عند درجة حرارة 298K

| Wt. (g) | Removal% = $\left(\frac{C_o - C_e}{C_o}\right) \times 100$ | |
|---------|--|----------|
| | Methyl Red | Safranin |
| 0.0030 | 93.5176% | 97.1032% |
| 0.0050 | 93.7174% | 97.8439% |
| 0.0070 | 94.6529% | 98.5799% |
| 0.0100 | 95.8535% | 99.7387% |
| 0.0200 | 93.8254% | 98.8787% |
| 0.0300 | 93.1583% | 98.6528% |
| 0.0400 | 92.9573% | 98.6161% |
| 0.0500 | 92.9226% | 98.8042% |
| 0.0600 | 90.9011% | 98.8024% |
| 0.0700 | 90.8221% | 98.1018% |

Effect of pH

4.2.3B- تأثير الدالة الحامضية

تمت دراسة إزالة صبغتي MR و SF على سطح مسحوق البورسيلينات العراقية المحور في دوال حامضية ضمن المدى (2-12) واستعمال تراكيز ثابتة (9mg/L) و (12mg/L) من صبغتي MR و SF على التوالي عند درجة حرارة 298K , نتائج الدراسة موضحة في الشكل (15-3B) والجدول (8-3B).



شكل (15-3B) تأثير تغير الدوال الحامضية على نسبة إزالة صبغتي MR و SF على سطح مسحوق البورسيلينات العراقية المحور PMFP وعند درجة حرارة 298K.

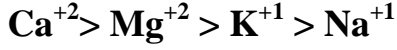
جدول (8-3B) تأثير الدالة الحامضية في النسبة المئوية لإزالة صبغتي MR و SF عند درجة حرارة 298 K.

| PH | Removal% = $(\frac{Co-Ce}{Co} \times 100)$ | |
|-----|--|----------|
| | Methyl Red | Safranin |
| 2 | 93.3412 | 91.6482 |
| 4.4 | 95.7426 | 94.1649 |
| 6 | 90.4281 | 96.7322 |
| 8 | 84.1598 | 98.6272 |
| 10 | 81.1252 | 98.1699 |
| 12 | 80.4317 | 97.6698 |

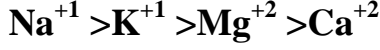
اظهرت النتائج أن كمية أمتزاز صبغتي MR على سطح البورسيلينات العراقية المحور PMFP تزداد في الوسط الحامضي وتقل بالوسط القاعدي اما صبغة SF تزداد بالوسط القاعدي وتقل بالوسط الحامضي، حيث كانت الدالة الحامضية لصبغة MR هي PH=4.4 وقد اعتمدت هذه القيمة كدالة حامضية لأنظمة الامتزاز في عموم تجارب الدراسة وكانت النسبة المئوية للإزالة هي 95.7426%، بينما كانت الدالة الحامضية لصبغة SF هي PH=8 التي كانت عندها النسبة المئوية للإزالة 98.6272% وقد اعتمدت هذه القيم كدوال حامضية لأنظمة الامتزاز في عموم التجارب.

5.2.3B- تأثير الشدة الأيونية Effect of Ionic Strength

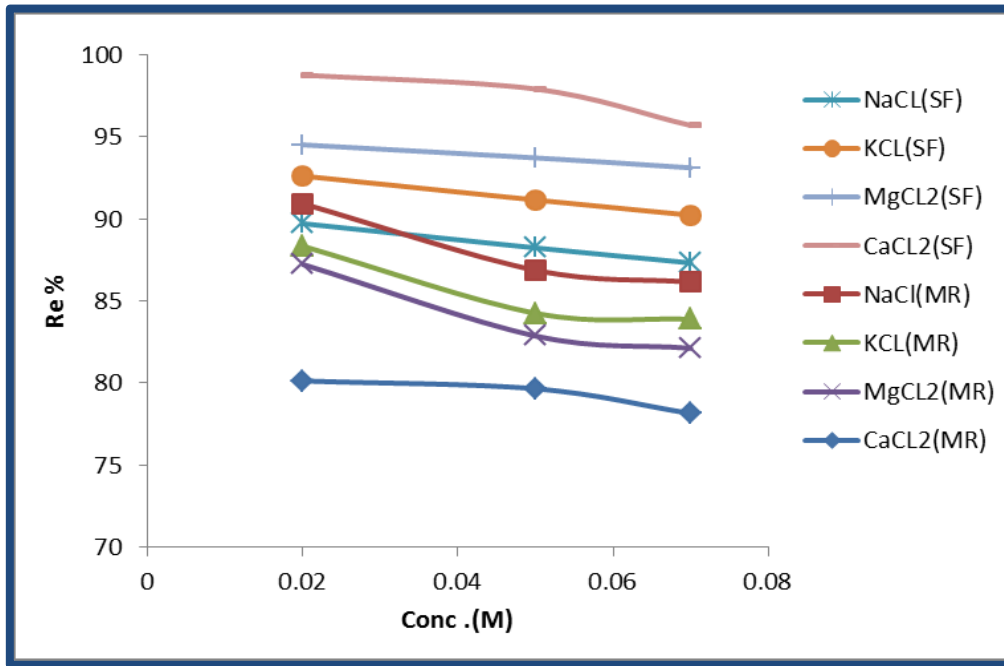
تشير نتائج دراسة تأثير الشدة الأيونية على امتزاز صبغتي MR و SF على صخور البورسيلينات العراقية المحورة الى نقصان سعة الامتزاز مع زيادة الشدة الأيونية والتي يمكن أن تعزى إلى ذوبانية الصبغة اعلى من ذوبانية الملح المستخدم في زيادة الشدة الأيونية وهذا العامل بدوره يجعل من منافسة ايونات الاملاح المستخدمة على الارتباط مع السطح اكثر مما هو للصبغة وبذا تقل سعة الامتزاز . وأيضاً اشارت نتائج الدراسة إلى اختلاف تأثير الأملاح المستخدمة المختلفة في الشحنة و الحجم على الصبغتين اذ نلاحظ أنه كلما يكون الايون أكبر شحنة وأكبر حجم يتداخل أكثر في الامتزاز مع صبغة MR حسب الترتيب التالي:



حيث تكون النسبة المئوية للإزالة الصبغة MR مع ملح كلوريد الصوديوم أعلى من النسبة المئوية مع ملح كلوريد الكالسيوم ، بينما يكون تأثير هذه الأملاح مع صبغة SF على العكس تماما من صبغة MR ويكون ترتيب تأثير الأيونات على النحو التالي :



ويكون تأثير تركيز هذه الأملاح على الصبغتين حيث كلما كانت زيادة في تركيز الملح يقابلها نقصان في النسبة المئوية للإزالة كما موضح في بيانات الدراسة في الشكل (16-3B) والجدول (9-3B).



شكل (16-3B) تأثير الشدة الأيونية في النسبة المئوية لإزالة صبغتي MR عند pH=4.4 و SF عند pH=8 وعند درجة حرارة 298K.

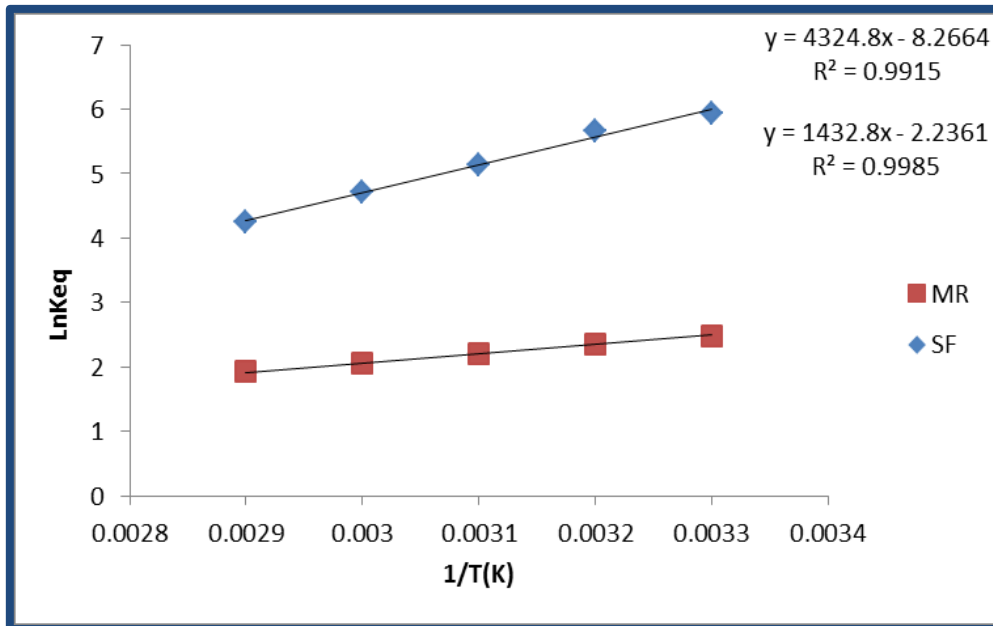
جدول (9-3B) تأثير الشدة الأيونية في النسبة المئوية لإزالة صبغتي MR عند pH=4.4 و SF عند pH=8 عند درجة حرارة 298 K.

| Adsorbate | تركيز الملح (M) | النسبة المئوية للإزالة | | | |
|------------|-----------------|------------------------|----------|-------------------|-------------------|
| | | NaCl | KCl | MgCl ₂ | CaCl ₂ |
| Methyl Red | 0.02 | 90.9211% | 88.3316% | 87.2245% | 80.1326% |
| | 0.05 | 86.8742% | 84.2551% | 82.8713% | 79.6569% |
| | 0.07 | 86.1501% | 83.8905% | 82.1224% | 78.1531% |
| Safranin | 0.02 | 89.7138% | 92.6112% | 94.5125% | 98.7621% |
| | 0.05 | 88.2378% | 91.1552% | 93.7178% | 97.9069% |
| | 0.07 | 87.3176% | 90.2281% | 93.1147% | 95.6932% |

Effect of Temperature

6.2.3B تأثير درجة الحرارة

إنّ لدراسة تأثير درجة الحرارة في عملية الامتزاز أهمية في تعيين قيم الدوال الترموديناميكية (طاقة كبس ΔG , الانتالبي ΔH , الانتروبي ΔS), العلاقة ($\ln K_{eq}$) مقابل ($1/T$) يجب أن تنتج خط مستقيم مع الميل $(-\Delta H / R)$ كما هو مبين في الشكل (17-3B)



شكل (17-3B) قيم $\ln K_{eq}$ مقابل $1/T(K)$ لامتزاز صبغة MR و صبغة SF على سطح صخور البورسيلينات العراقية المحورة PMFP.

جدول (10-3B) قيم ثابت التوازن لإزالة صبغتي MR و SF باستخدام سطح صخور البورسيلينات العراقية المحورة PMFP في درجات حرارة مختلفة.

| Ln K _{eq} Methyl Red | Ln K _{eq} Safranin | T (K) | 1/T (K ⁻¹) |
|----------------------------------|--------------------------------|-------|------------------------|
| 2.4893 | 5.9325 | 298 | 0.0033 |
| 2.3607 | 5.6731 | 308 | 0.0032 |
| 2.1965 | 5.1342 | 318 | 0.0031 |
| 2.0561 | 4.7117 | 328 | 0.0030 |
| 1.9252 | 4.2508 | 338 | 0.0029 |

ويبين الجدول (11-3B) الدوال الترموديناميكية الحرارية ΔG و ΔH و ΔS لإزالة صبغتي Methyl Red و Safranin من سطح البورسيلينات العراقية المحورة PMFP عند درجات حرارة مختلفة التي تم حسابها من خلال المعادلات المذكورة في الفقرة (6.2.3A).

جدول (11-3B) الدوال الترموديناميكية ΔG ، ΔH و ΔS لإزالة صبغتي Methyl Red و Safranin من محاليلها المائية باستخدام سطح صخور البورسيلينات العراقية المحورة PMFP في درجات حرارة مختلفة.

| Adsorbate | Temp. K | $-\Delta G$ (KJ/mol) | ΔH (KJ/mol) | $-\Delta S$ (KJ/mol.K) |
|------------|------------|-------------------------|------------------------|---------------------------|
| Methyl Red | 298K | 6.1674 | -11.9122 | 0.01927 |
| | 308K | 6.0450 | | 0.01904 |
| | 318K | 5.8072 | | 0.01919 |
| | 328K | 5.6069 | | 0.01922 |
| | 338K | 5.4100 | | 0.01923 |
| Safranin | 298K | 14.6981 | -35.9563 | 0.07133 |
| | 308K | 14.5271 | | 0.06957 |
| | 318K | 13.5740 | | 0.07038 |
| | 328K | 12.8487 | | 0.07045 |
| | 338K | 11.9453 | | 0.07103 |

نلاحظ من الجدول أعلاه ان قيم ΔG السالبة عند مدى درجات الحرارة (298-338K) يدل على أن امتزاز صبغتي Methyl Red و Safranin على السطح الماز PMFP هي عملية تلقائية وأن قيمة انثالبي الامتزاز ΔH لسطح البورسيلينات العراقية المحورة PMFP قيمة سالبة عند امتزاز صبغتي Methyl Red و Safranin التي تشير الى أن نوع الامتزاز باعث للحرارة Exothermic أما قيمة الانتروبي السالبة تشير إلى نقصان في العشوائية عند امتزاز صبغتي Methyl Red و Safranin على سطح PMFP .

3.3- مقارنة بين سطح مسحوق البورسيلينات العراقية وشكلها المحور (صخور البورسيلينات العراقية – ميلامين – فورمالديهايد) في ازالة صبغتي Methyl Safranin, Red من محاليلها المائية.

Comparison between Iraqi porcelanite Powder and modified form of this porcelanite (Iraqi porcelanite - melamine–Formaldehyde polymer) for removing Methyl Red and Safranin dyes from aqueous solution.

تمت دراسة إزالة صبغتي Methyl Red و Safranin على سطح البورسيلينات العراقية وشكلها المحور، بعدها تم المقارنة بين العوامل المؤثرة لعملية الامتزاز على أفضلية استخدام كلا السطحين لامتزاز صبغتي Methyl Red و Safranin وقد وجد أن امتزاز صبغتي MR و SF على الشكل المحور للبورسيلينات العراقية كانت أفضل من البورسيلينات العراقية وذلك من خلال استخدام زمن اتزان أقل بالنسبة للصبغتين وكمية السطح الماز المستخدمة أقل ويعطي نسبة إزالة أعلى لكلا الصبغتين مما يوفر ظروف اقتصادية أفضل مقارنة بسطح البورسيلينات العراقية كما موضح في الجدول (12-3B) .

جدول (12-3B) مقارنة بين سطح مسحوق البورسيلينات العراقية وشكلها المحور في ازالة صبغتي Methyl Red و Safranin من محاليلها المائية

| العوامل المؤثرة | سطح البورسيلينات العراقية | | الشكل المحور PMFP | |
|----------------------------------|--|--|--|--|
| | Methyl Red | Safranin | Methyl Red | Safranin |
| زمن الاتزان | 20 min | 20 min | 10 min | 10 min |
| وزن السطح الماز | 0.0200g | 0.0200g | 0.0100g | 0.0100g |
| الدالة الحامضية | 4.4 | 8 | 4.4 | 8 |
| الشدة الايونية | تقل سعة الامتزاز بزيادة تركيز و حجم وشحنة الايون | تزداد سعة الامتزاز بزيادة تركيز و حجم وشحنة الايون | تقل سعة الامتزاز بزيادة تركيز و حجم وشحنة الايون | تزداد سعة الامتزاز بزيادة تركيز و حجم وشحنة الايون |
| درجة الحرارة | التفاعل تلقائي باعث للحرارة | التفاعل تلقائي باعث للحرارة | التفاعل تلقائي باعث للحرارة | التفاعل تلقائي باعث للحرارة |
| ΔG at 298K (KJ/mol) | -3.7906 | -9.6132 | -6.1674 | -14.6981 |
| ΔH at 298K (KJ/mol) | -25.6071 | -24.0199 | -11.9122 | -35.9563 |
| ΔS at 298K (KJ/mol.K) | -0.0983 | -0.1128 | -0.0606 | -0.1699 |
| شكل الايزوثيرم | شكل S | شكل S | شكل S | شكل S |
| نموذج الايزوثيرم | فريندلش و لانكماير | فريندلش و لانكماير | فريندلش و لانكماير | فريندلش و لانكماير |
| أعلى نسبة ازالة | 75.3796% | 96.8631% | 95.9582% | 99.7353% |

Conclusion

4.3 - الاستنتاجات

استناداً إلى البيانات التجريبية للدراسة يمكن وضع الاستنتاجات الآتية :-

- 1- إمكانية استخدام سطح صخور البورسيلينات العراقية المتوفرة بكميات كبيرة اقتصادية وشكلها المحور في إزالة صبغتي Methyl Red و Safranin من محاليلها المائية.
- 2- كفاءة الإزالة للصبغتين Safranin و Methyl Red تتأثر بالعوامل (زمن الاتزان ، تركيز الصبغة ، كمية السطح الماز ، الدالة الحامضية ، الشدة الأيونية ، درجة الحرارة)
- 3- أظهرت بيانات الاتزان للصبغتين أنها تتفق بشكل جيد مع ايزوثيرمات فريندلش و لانكماير وشكل ايزوثيرم للصبغة يأخذ شكل حرف S₄ طبقاً لتصنيف جيلز.
- 4- من الدوال الترموديناميكية تبين إن عملية امتزاز صبغة Methyl Red و Safranin على سطح صخور البورسيلينات العراقية وشكلها المحور هي عملية تلقائية ، باعثة للحرارة وذلك من خلال قيم التغير في طاقة كبس ΔG والانتالبي ΔH . وإن قيمة ΔS السالبة تشير إلى نقصان في العشوائية عند التماس بين السطح والمحلول .
- 5- وجد أن امتزاز صبغتي Methyl Red و Safranin على الشكل المحور لصخور البورسيلينات العراقية كانت اعلى من صخور البورسيلينات العراقية.
- 6- وجد ان امتزاز صبغة SF اعلى كفاءة من صبغة MR

Recommendations

5.3 - التوصيات

- 1- نظراً لزيادة مستوى التلوث في العالم سوف يكون من المفيد إجراء دراسات بشكل واسع لقابلية إمتزاز صخور البورسيلينات العراقية وشكلها المحور المستعملة في البحث لكثير من الملوثات العضوية وغير العضوية التي تتواجد في مياه الأنهار ومخلفات المصافي والمعامل .
- 2- إن المياه الملوثة الخارجة من الوحدات الصناعية تحتوي على انواع اخرى من الاصباغ الملوثة لذا فإن دراسة إمتزاز الانواع الاخرى على سطح صخور البورسيلينات العراقية وشكلها المحور ستكون ذات أهمية في مجالات تنقية المياه.
- 3- يمكن استعمال صخور البورسيلينات العراقية وشكلها المحور في دراسة قابليتها لأمتزاز أيونات المعادن الثقيلة السامة وعمل مقارنة في إمتزاز صخور البورسيلينات العراقية وشكلها المحور لأيونات المعادن الثقيلة السامة.

المصادر

References

1. Kumar, M., & Tamilarasan, R. (2013). Modeling of experimental data for the adsorption of methyl orange from aqueous solution using a low cost activated carbon prepared from *Prosopis juliflora*. *Polish Journal of Chemical Technology*, 15(2), 29-39.
2. Heidari, F., Dabiri, F., & Heidari, M. (2017). Legal system governing on water pollution in Iran. *Journal of Geoscience and Environment Protection*, 5(09), 36-59.
3. Malik, D. S., Sharma, A. K., Sharma, A. K., Thakur, R., & Sharma, M. (2020). A review on impact of water pollution on freshwater fish species and their aquatic environment. *Advances in Environmental Pollution Management: Wastewater Impacts and Treatment Technologies*, 1, 10-28.
4. Ajibade, F. O., Adelodun, B., Lasisi, K. H., Fadare, O. O., Ajibade, T. F., Nwogwu, N. A., ... & Wang, A. (2021). Environmental pollution and their socioeconomic impacts. In *Microbe mediated remediation of environmental contaminants* (pp. 321-354). Woodhead Publishing.
5. AL-Shemary, R. Q., Ibrahim, H. K., Muneer, A., Kareem, E. T. (2020, November). Study the Azure A dye adsorption on the surface of the Snail shell modification. In *IOP Conference Series: Materials Science and Engineering* (Vol. 928, No. 5, p.21-52).
6. Rosales E, Pazos M, Sanroman M and Tavares T (2012) Application of zeolite- *Arthrobacter viscosus* system for the removal of heavy metal and dye: Chromium and Azure B. *Desalination*. 284:150-156.
7. Al-Abadi, S. I., Al-Da'amy, M. A., & Kareem, E. T. (2021, June). Thermodynamic Study For Removing Of Crystal Violet Dye On Iraqi Porcelanite Rocks Powder. In *IOP Conference Series: Earth and Environmental Science* (Vol. 790, No. 1, p. 12-55).
8. Kadhom, M., Albayati, N., Alalwan, H., & Al-Furaiji, M. (2020). Removal of dyes by agricultural waste. *Sustainable Chemistry and PHarmacy*, 16, 100-259.
9. Ambali A, Evbuomwan B, and Momoh Y (2015) Comparative Study On The Adsorption Capacity Of Snail And Perewinkle Shells For The Removalof Nickel (Ii) Ion From Aqueous Solution. *International Journal of Geology, Agriculture and Environmental Sciences* Sciences. 3: 2348-0254.

- 10.** Rajahmundry, G. K., Garlapati, C., Kumar, P. S., Alwi, R. S., & Vo, D. V. N. (2021). Statistical analysis of adsorption isotherm models and its appropriate selection. *Chemosphere*, 276, 130-176.
- 11.** Raad K. A., (2020) Study of removing Malachite Green and Methylene Blue dyes from their aqueous solutions using Snail Shell powder and its Modified form as low-cost adsorbent , B.Sc.Degree in Chemistry – University of Baghdad .
- 12.** Maron , S. H. and Lando, J. B., (1974), " Fundamentals of pPhysical Chemistry" Macmillan publishing Co., London.
- 13.** Mckay, G. (1983). The adsorption of dyestuffs from aqueous solutions using activated carbon. III. Intraparticle diffusion processes. *Journal of Chemical Technology and Biotechnology. Chemical Technology*, 33(4), 196-204.
- 14.** Czelej, K., Cwieka, K., & Kurzydowski, K. J. (2016). CO₂ stability on the Ni low-index surfaces: van der Waals corrected DFT analysis. *Catalysis Communications*, 80, 33-38.
- 15.** Muharrem, I. N. C. E., Ince, O. K. (2017). An overview of adsorption technique for heavy metal removal from water/wastewater: a critical review. *International Journal of Pure and Applied Sciences*, 3(2), 10-19.
- 16.** Ala'a, H., Al-Da'Amry, M. A. (2020, June). Equilibrium and Thermodynamic studies of Adsorption of Remazol Brilliant Blue dye on snail shell powder. In *IOP Conference Series: Materials Science and Engineering* (Vol. 871, No. 1, p. 012036). IOP Publishing.
- 17.** Al-Khafaji, F. R., & Al-Jabbawi, I. A. (2020). The Response Of Productive Broiler Chickens For Adding Nano-Zinc To Drinking Water Under High Temperatures In Iraq. *Plant Archives*, 20(1), 505-511.
- 18.** Mohammed, I. S., Jawad, A. E., Shihab, M. S., Maliek, H. A., Azzawi, M. M., Hamid, L. A., ... & Oleiwi, S. R. (2017). 1-Adsorption of Malachite Green onto Iraqi Bentonite and Surfactant SDS-Bentonite 1-10. *Journal of Iraqi Industrial Research* Vol, 4(1).
- 19.** Nagim, O .K . (2016) .(Kinetic and thermodynamic study for adsorption of some organic compounds on modified Iraqi clay), M.Sc., Thesis, , Baghdad University.

20. " كيمياء الحفر والسطوح .أ. د محمد مجدي واصل .دار النشر للجامعات 2004 – مصر "
21. Hofmann A. (2018). PHysical chemistry essentials (pp. 1-499). Springer International Publishing
22. Bellmann, C. (2008). Surface modification by adsorption of polymers and surfactants. In Polymer surfaces and interfaces (pp. 235-259). Springer, Berlin, Heidelberg.
23. Atkins, P.W. (PHysical Chemistry), 9th ed., Oxford University Press, Oxford, 2010.O.
24. ia, M., Chen, Z., Li, Y., Li, C., Ahmad, N. M., Cheema, W. A., & Zhu, S. (2019). Removal of Hg (II) in aqueous solutions through pPhysical and chemical adsorption principles. RSC advances, 9(36), 20941-20953.
25. Patrykiewicz, A., Sokołowski, S., & Binder, K. (2000). PHase transitions in adsorbed layers formed on crystals of square and rectangular surface lattice. Surface science reports, 37(6-8), 207-344.
26. Somerjei, G.A. " Principles of Surface Chemistry " Prentice – Hall , Engkewood cliffs , New Jersey , 1992.
- 27 . Metz, M. P., & Szalewicz, K. (2020). Automatic generation of flexible-monomer intermolecular potential energy surfaces. Journal of Chemical Theory and Computation, 16(4),2317-2339.
28. Bradshaw, A. M. "G. Wedler: Chemisorption: An Experimental Approach Butterworths, London. Boston 1976. 250 Seiten, Prets:£ 12.- (Übersetzt von DF Klemperer)." Berichte der Bunsengesellschaft für pPhysikalische Chemie 81.7 (1977): 705-705.
29. Job,G., Rüffle, R. (2016).” PHysical Chemistry from a Different Angle”, Springer Vieweg, p.390-400.
30. tuli, G.D., Bahl, A. and Bahl, B.S. (2012) (Essentials pPhysical chemistry) , S.Chand company LtD printed in India ,843-853.

- 31.** Guo, Y., Chen, Y., Cao, F., Wang, L., Wang, Z., & Leng, Y. (2017). Hydrothermal synthesis of nitrogen and boron doped carbon quantum dots with yellow-green emission for sensing Cr (VI), anti-counterfeiting and cell imaging. *RSC advances*, 7(76), 48386-48393.
- 32.** Murthy, S. K. (2007). Nanoparticles in modern medicine: state of the art and future challenges. *International journal of nanomedicine*, 2(2), 129.
- 33.** Annadurai, G., Juang, R. S., & Lee, D. J. (2001). Adsorption of rhodamine 6G from aqueous solutions on activated carbon. *Journal of Environmental Science and Health, Part A*, 36(5), 715-725.
- 34.** Schramke, J. A., MurpHy, S. F., Doucette, W. J., & Hintze, W. D. (1999). Prediction of aqueous diffusion coefficients for organic compounds at 25 C. *Chemosphere*, 38(10), 2381-2406.
- 35.** Bhatnagar, A., & Jain, A. K. (2005). A comparative adsorption study with different industrial wastes as adsorbents for the removal of cationic dyes from water. *Journal of Colloid and Interface Science*, 281(1), 49-55.
- 36.** Yu, Z., Deschamps, J., Hamon, L., Prabhakaran, P. K., & Pré, P. (2017). Hydrogen adsorption and kinetics in MIL-101 (Cr) and hybrid activated carbon-MIL-101 (Cr) materials. *International Journal of Hydrogen Energy*, 42(12), 8021-8031. *J. Chem. Eng. Data*, 46, 281-285.
- 37.** Rowsell, J. L., & Yaghi, O. M. (2006). Effects of functionalization, catenation, and variation of the metal oxide and organic linking units on the low-pressure hydrogen adsorption properties of metal-organic frameworks. *Journal of the American Chemical Society*, 128(4), 1304-1315.
- 38.** Tawfeeq, I. M., & Mohammed, A. J. (2009). Adsorption Ability and Kinetic of (Congo Red, Methyl Green) Dyes on Iraqi Siliceous Rocks.
- 39.** Hadi, M., Samarghandi, M. R., Azizian, S. A. E. E. D., Samadi, M. T., Shokoohi, R. E. Z. A., & Rahmani, A. L. I. R. E. Z. A. (2011). Using Thomas model to evaluate dye removal from aqueous solutions in fixed-bed columns of activated carbon. *Journal of Water and wastewater*, 1, 23-34

- 40.** Wang Y., Gao B.Y., Yue W.W. and Yue Q.Y., 2007. "Adsorption kinetics of nitrate from aqueous solutions onto modified wheat residue". *Colloids and Surfaces A: Physicochemical and Engineering Aspects*, 308 pp.1-5.
- 41.** Jiuhui, Q. U. (2008). Research progress of novel adsorption processes in water purification: a review. *Journal of environmental sciences*, 20(1), 1-13.
- 42.** Hyung, H., & Kim, J. H. (2008). Natural organic matter (NOM) adsorption to multi-walled carbon nanotubes: effect of NOM characteristics and water quality parameters. *Environmental science & technology*, 42(12), 4416-4421.
- 43.** AL-Da'amy, M. A., AL-Khazali, N. A., & AL-Rubaeey, E. T. (2015). Removal of Malachite Green from Aqueous Solution by Iraqi Porcelanite Rocks. *Journal of Global PHarma Technology*, 10, 150-156.
- 44.** Juang R.S., Tseng R.L. and Wu F.C., 2001. "Role of microporosity of activated carbons on their adsorption abilities for phenols and dyes". *Adsorption*, 7 pp.65-72.
- 45.** Skoog, D. A., Holler, F. J., & Crouch, S. R. (2017). Principles of instrumental analysis. Cengage learning, IOP Publishing.
- 46.** Kaur, S., Rani, S., & Mahajan, R. K. (2013). Adsorption kinetics for the removal of hazardous dye congo red by biowaste materials as adsorbents. *Journal of Chemistry*, 2013.
- 47.** Reddad, Z., Gerente, C., Andres, Y., & Le Cloirec, P. (2002). Adsorption of several metal ions onto a low-cost biosorbent: kinetic and equilibrium studies. *Environmental science & technology*, 36(9), 2067-2073.
- 48.** Nakai, S., Li-Chan, E., & Arteaga, G. E. (1996). Measurement of surface hydrophobicity. *Methods of testing protein functionality*, 17, 226-259.
- 49.** Krishnan, A., Siedlecki, C. A., & Vogler, E. A. (2003). Traube-Rule Interpretation of Protein Adsorption at the Liquid-Vapor Interface. *Langmuir*, 19(24), 10342-10352.

- 50.** Al-Mosawe, A.H.,2011(Seath leef powder of Iraqi data plam- New surface for Removal of Lithium(I), Iron(III),and P-ChloropHenol from their Aqueous Solutions).M.S.c.,Thesis,Baghdad university,P7
- 51.** Allen, S.J., Mckay, G. and Porter, J.F., 2004. Adsorption isotherm models for basic dye adsorption by peat in single and binary component systems. *Journal of colloid and interface science*, 280(2), pp.322-333.
- 52.** Adamson A.W. and Gast A.P., 2001."PHysical chemistry of Surfaces". 6th ed. John Wiley and Sons . Inc. New York .
- 53.** Langmuir I., 1918."The adsorption of gases on plane surfaces of glass, mica and platinum". *Journal of the American Chemical society*, 40 pp.1361-1403.
- 54.** Freundlich H., 1907."Über die adsorption in lösungen". *Zeitschrift für pHysikalische Chemie*, 57 pp.385-470.
- 55.** Temkin M.J. and Pyzhev V., 1940."Recent modifications to Langmuir
- 56.** Redlich O.J.D.L. and Peterson D.L., 1959."A useful adsorption isotherm" isotherms". *Acta PHysicochim. URSS*. 12 pp217-225.. *Journal of PHysical Chemistry*, 63 pp.1024-1024.
- 57.** Toth J., 1971."State equation of the solid-gas interface layers". *Acta chim. hung.*, 69 pp.311-328.
- 58.** J. Robinson, S. Lipschutz., (2009). "Holistic Health care for people and Animals", 1st ed, McGraw-Hill, New York.
- 59.** Crini, G., Peindy, H. N., Gimbert, F., & Robert, C. (2007). Removal of CI Basic Green 4 (Malachite Green) from aqueous solutions by adsorption using cyclodextrin-based adsorbent: Kinetic and equilibrium studies. *Separation and purification Technology*, 53(1), 97-110.
- 60.** Jaism, L., Radhy, N., & Kmal, R. (2015). A study of Adsorption of Azure B and C from Aqueous Solutions on Poly (Acryl amide-coCrotonic acid) Hydro gels Surface. *Chem. and Pro. Eng. Research*, 32, 62-69.
- 61.** Khattri, S. D., & Singh, M. K. (2000). Colour removal from synthetic dye wastewater using a bioadsorbent. *Water, Air, and Soil Pollution*, 120(3-4), 283-294.

- 62.** Rudzinski, W., & Everett, D. H. (2012). Adsorption of gases on heterogeneous surfaces. Academic Press.
- 63.** Proctor, A., & Toro-Vazquez, J. F. (1996). The Freundlich isotherm in studying adsorption in oil processing. *Journal of the American Oil Chemists' Society*, 73(12), 1627-1633.
- 64.** Khenifi, A., Bouberka, Z., Sekrane, F., Kameche, M., & Derriche, Z. (2007). Adsorption study of an industrial dye by an organic clay. *Adsorption*, 13(2), 149-158.
- 65.** Hameed, B. H., Mahmoud, D. K., & Ahmad, A. L. (2008). Equilibrium modeling and kinetic studies on the adsorption of basic dye by a low-cost adsorbent: Coconut (*Cocos nucifera*) bunch waste. *Journal of hazardous materials*, 158(1), 65-72.
- 66.** Al-Shmery, A. Y. H. (2013). Estimation of some heavy metals in clams, sediments and water from Shatt Al-Arab and treatment by porcellanite rocks (Doctoral dissertation, M. Sc. Thesis, Chemistry depart., College Of Education For Pure Science, Unive. Basrah).
- 67.** Deere, D. U., & Miller, R. P. (1966). Engineering classification and index properties for intact rock. Illinois Univ At Urbana Dept Of Civil Engineering.
- 68.** Al-Bassam K.S. and Al- Saadi. N., (A New Discovery of Montmorillonitic clay Deposit in Iraq), *J. Geo. Soc. Iraq*, 18, 218-228, 1985.
- 69.** Al-Bassam, K. S., Tamar-Agha, M., & Jabboory, W. (2000). The Upper Cretaceous porcelanites from the Western Desert of Iraq: Geology, Mineralogy, Chemistry and Uses. *Iraqi Jour. Sci*, 41, 115-130.
- 70.** Jassim, S. Z., & Goff, J. C. (Eds.). (2006). *Geology of Iraq*. DOLIN, sro, distributed by Geological Society of London.
- 71.** Deere, D. U., & Miller, R. P. (1966). Engineering classification and index properties for intact rock. Illinois Univ At Urbana Dept Of Civil Engineering.

- 72.** Annadurai G., Juang R.S. and Lee D.J., 2001."Adsorption of rhodamine 6G from aqueous solutions on activated carbon". *Journal of Environmental Science and Health, Part A*, 36 pp.715-725.
- 73.** Hossain, M. A., & Hossain, M. L. (2014). Kinetic study of Malachite Green adsorption on used black tea leaves from aqueous solution. *Int. J. Adv. Res*, 2(4), 360-374
- 74.** Buthelezi, S. P., Olaniran, A. O., & Pillay, B. (2012). Textile dye removal from wastewater effluents using biofloculants produced by indigenous bacterial isolates. *Molecules*, 17(12), 14260-14274.
- 75 .** Fabryanty, R., Valencia, C., Soetaredjo, F. E., Putro, J. N., Santoso, S. P., Kurniawan, A., ... & Ismadji, S. (2017). Removal of crystal violet dye by adsorption using bentonite–alginate composite. *Journal of Environmental Chemical Engineering*, 5(6), 5677-5687
- 76.** Forgacs, E., Cserhati, T., & Oros, G. (2004). Removal of synthetic dyes from wastewaters: a review. *Environment international*, 30(7), 953-971.
- 77.** Gupta, V. K., Ali, I., & Mohan, D. (2003). Equilibrium uptake and sorption dynamics for the removal of a basic dye (basic red) using low-cost adsorbents. *Journal of Colloid and Interface Science*, 265(2), 257-264.
- 78.** Hameed, B. H., Din, A. M., & Ahmad, A. L. (2007). Adsorption of methylene blue onto bamboo-based activated carbon: kinetics and equilibrium studies. *Journal of hazardous materials*, 141(3), 819-825.
- 79.** Bharathi, K. S., & Ramesh, S. T. (2013). Removal of dyes using agricultural waste as low-cost adsorbents: a review. *Applied Water Science*, 3(4), 773-790.
- 80.** Ravi, V. P., Jasra, R. V., & Bhat, T. S. (1998). Adsorption of pHenol, cresol isomers and benzyl alcohol from aqueous solution on activated carbon at 278, 298 and 323 K. *Journal of Chemical Technology & Biotechnology: International Research in Process, Environmental AND Clean Technology*, 71(2), 173-179.

- 81.** Ahmad, M. A., Ahmed, N. A. B., Adegoke, K. A., & Bello, O. S. (2019). Sorption studies of methyl red dye removal using lemon grass (*Cymbopogon citratus*). *Chemical Data Collections*, 22, 100-249.
- 82.** Mahmoud, N. A., Nassef, E., & Husain, M. (2020). Use of spent oil shale to remove methyl red dye from aqueous solutions. *AIMS Materials Science*, 7(3), 338-353.
- 83.** Schorger, A. W. (1923). Preparation of Methyl Red. *Industrial & Engineering Chemistry*, 15(7), 742-743.
- 84.** Manjunatha, A. S., & Sukhdev, A. (2018). spectrophotometric oxidative decolorization of methyl red with chloramine-T and bromamine-T: comparative kinetic modeling and mechanistic study. *Russian Journal of Physical Chemistry A*, 92(13), 2647-2655.
- 85.** Rosenberg, L. (1971). Chemical basis for the histological use of safranin O in the study of articular cartilage. *JBJS*, 53(1), 69-82.
- 86.** Shaban, M., Abukhadra, M. R., Mohamed, A. S., Shahien, M. G., & Ibrahim, S. S. (2018). Synthesis of mesoporous graphite functionalized by nitrogen for efficient removal of safranin dye utilizing rice husk ash; equilibrium studies and response surface optimization. *Journal of Inorganic and Organometallic Polymers and Materials*, 28(1), 279-294.
- 87.** El-Berry, M. F., Sadeek, S. A., Abdalla, A. M., & Nassar, M. Y. (2021). Microwave-assisted fabrication of copper nanoparticles utilizing different counter ions: An efficient photocatalyst for photocatalytic degradation of safranin dye from aqueous media. *Materials Research Bulletin*, 133, 111048.
- 88.** El Haddad, M., Regti, A., Slimani, R., & Lazar, S. (2014). Assessment of the biosorption kinetic and thermodynamic for the removal of safranin dye from aqueous solutions using calcined mussel shells. *Journal of Industrial and Engineering Chemistry*, 20(2), 717-724.
- 89.** Kouadio, D. L., Dalogo, K. A. P., Vroh, B. T. P., Diarra, M., Dongui, B. K., Mamadou, K., & Traore, K. S. (2021). Experimental Study Of The Adsorption Of Methyl Red On Coal From The Shell Of The Cocoa Pod. *Environmental Engineering & Management Journal (EEMJ)*, 20(7).

- 90.** Rajoriya, S., Saharan, V. K., Pundir, A. S., Nigam, M., & Roy, K. (2021). Adsorption of methyl red dye from aqueous solution onto eggshell waste material: Kinetics, isotherms and thermodynamic studies. *Current Research in Green and Sustainable Chemistry*, 4, 100-180.
- 91.** Ali, D. A., Shawky, M. S., & Elsayy, H. A. (2021). Kinetics, Isotherm and Optimum Condition for the Adsorption of Methyl Red Dye Using Hydroxyapatite. *International Journal*, 10(4).
- 92.** Romdhane, D. F., Satlaoui, Y., Nasraoui, R., Charef, A., & Azouzi, R. (2020). Adsorption, modeling, thermodynamic, and kinetic studies of methyl red removal from textile-polluted water using natural and purified organic matter rich clays as low-cost adsorbent. *Journal of Chemistry*, 2020
- 93.** Omokpariola, D. O., & Otuosorochi, J. N. (2020). Batch adsorption studies on rice husk with methyl violet dye. *World News of Natural Sciences*, 33, 48-63.
- 94.** Xiang, P., Deng, C., Liu, L., & Huang, Y. (2020, March). Study on the Adsorption of Methyl Red by Bentonite/Chitosan Composites. In *IOP Conference Series: Materials Science and Engineering* (Vol. 782, No. 2, p. 22-79)
- 95.** Shiferaw, Y., Yassin, J. M., & Tedla, A. (2019). Removal of organic dye and toxic hexavalent chromium ions by natural clay adsorption. *Desalin. Water Treat*, 165, 222-231.
- 96.** Sari, I. P., & Simarani, K. (2019). Decolorization of selected azo dye by *Lysinibacillus fusiformis* W1B6: Biodegradation optimization, isotherm, and kinetic study biosorption mechanism. *Adsorption Science & Technology*, 37(5-6), 492-508.
- 97.** Ahmad, M. A., Ahmed, N. A. B., Adegoke, K. A., & Bello, O. S. (2019). Sorption studies of methyl red dye removal using lemon grass (*Cymbopogon citratus*). *Chemical Data Collections*, 22, 100-249
- 98.** Mozaffari, M., Emami, M. R. S., & Binaeian, E. (2019). A novel thiosemicarbazide modified chitosan (TSFCS) for efficiency removal of Pb (II) and methyl red from aqueous solution. *International journal of biological macromolecules*, 123, 457-467.

- 99.** Bekele, B. A., & Demelash, M. A. B. F. B. (2018). Adsorption of Methyl Red on Coal Fly Ash from Aqueous Solution. *Adsorption*, 10(4).
- 100.** Enenebeaku, C. K., Okorochoa, N. J., Uchechi, E. E., & Ukaga, I. C. (2017). Adsorption and equilibrium studies on the removal of methyl red from aqueous solution using white potato peel powder. *International Letters of Chemistry, Physics and Astronomy*, 52- 72
- 101.** Abdulhussein, H. A., & Hassan, A. A. (2015). Methyl red dye removal from aqueous solution by adsorption on rice hulls. *Babylon Univ. Sci*, 23, 627-637.
- 102.** Vidovix, T. B., Quesada, H. B., Bergamasco, R., Vieira, M. F., & Vieira, A. M. S. (2021). Adsorption of Safranin-O dye by copper oxide nanoparticles synthesized from *Punica granatum* leaf extract *Environmental Technology*, 1-17.
- 103.** Kamel, M. M., Alshaimi, I. H., Alhumaimess, M. S., Hassan, H., Alshammari, M. S., & El-Sayed, M. Y. (2021). A glassy polyvinyl alcohol/silica gel hybrid composite for safranin removal: Adsorption, kinetic and thermodynamic studies. *Research on Chemical Intermediates*, 47(3), 925-944 .
- 104.** Suleman, M., Zafar, M., Ahmed, A., Rashid, M. U., Hussain, S., Razzaq, A., Park, Y. K. (2021). Castor Leaves-Based Biochar for Adsorption of Safranin from Textile Wastewater. *Sustainability*, 13(12), 26-69
- 105.** Bensalah, J., Habsaoui, A., Dagdag, O., Lebkiri, A., Ismi, I., Rifi, E. H., Zarrouk, A. (2021). Adsorption of a cationic dye (Safranin) by artificial cationic resins Amberlite[®]IRC-50: Equilibrium, kinetic and thermodynamic study. *Chemical Data Collections*, 35, 100-756.
- 106.** Jain, P., Shrivastava, P., Malviya, V., Rai, B., & Dwivedi, M. K. (2021, September). Thermodynamic and kinetic studies for the removal of safranin dye from aqueous solution using nap zeolite synthesized from coal fly ash. In *AIP Conference Proceedings* (Vol. 2369, No. 1, p. 20-92). AIP Publishing LLC.

- 107.** Heydari, S., Shirmohammadi Aliakbarkhani, Z., & Hosseinpour Zaryabi, M. (2021). PHoto catalytic Degradation of Safranin Dye from Aqueous Solution Using Nickel Nanoparticles Synthesized by Plant Leaves. *International Journal of Nano science and Nanotechnology*, 16(3), 153-165 .
- 108.** Elsherif, K. M., El-Dali, A., Ewlad-Ahmed, A. M., Treban, A., & Alttayib, I. (2021). Removal of Safranin Dye from Aqueous Solution by Adsorption onto Olive Leaves Powder.
- 109.** Januário, E. F. D., Vidovix, T. B., Araújo, L. A. D., Bergamasco Beltran, L., Bergamasco, R., & Vieira, A. M. S. (2021). Investigation of *Citrus reticulata* peels as an efficient and low-cost adsorbent for the removal of safranin orange dye. *Environmental Technology*, 1-15.
- 110.** Hussain, A. F. A., & Halboos, M. H. (2020, November). Adsorption of safranin dye from their aqueous solutions by using CA and Nano FeO/CA. In *Journal of PHysics: Conference Series* (Vol. 1660, No. 1, p. 12-80). IOP Publishing
- 111.** Abukhadra, M. R., & Mohamed, A. S. (2019). Adsorption removal of safranin dye contaminants from water using various types of natural zeolite. *Silicon*, 11(3), 1635-1647.
- 112.** Alhumaimess, M. S. (2019). Adsorption, kinetic and thermodynamic studies of safranin and methylene blue on a novel adsorbent based on pHospHorylated sawdust. *Desalin Water Treat*, 151, 199-211.
- 113.** Ikhlaiq, A., Anwar, H. Z., Javed, F., & Gull, S. (2019). Degradation of safranin by heterogeneous Fenton processes using peanut shell ash based catalyst. *Water Science and Technology*, 79(7), 1367-1375.
- 114.** Abukhadra, M. R., & Shaban, M. (2019). Recycling of different solid wastes in synthesis of high-order mesoporous silica as adsorbent for safranin dye. *International Journal of Environmental Science and Technology*, 16(11), 7573-7582.
- 115.** Mohamed, F., Abukhadra, M. R., & Shaban, M. (2018). Removal of safranin dye from water using polypyrrole nanofiber/Zn-Fe layered double hydroxide nanocomposite (Ppy NF/Zn-Fe LDH) of enhanced adsorption and pHotocatalytic properties. *Science of the Total Environment*, 640, 352-363.

- 116.** Shaban, M., Abukhadra, M. R., Mohamed, A. S., Shahien, M. G., & Ibrahim, S. S. (2018). Synthesis of mesoporous graphHite functionalized by nitrogen for efficient removal of safranin dye utilizing rice husk ash; equilibrium studies and response surface optimization. *Journal of Inorganic and Organometallic Polymers and Materials*, 28(1), 279-294.
- 117.** Heydari, S., Hosseinpoor Zaryabi, M., & Ghiassi, H. (2019). Statistical optimization of removal of safranin dye from aqueous system using biosorbent obtained from leaves of *pHlomis cancellata bunge* by response surface methodology. *Analytical and Bioanalytical Chemistry Research*, 6(2), 271-287.
- 118.** Zaheer, Z., Aisha, A. A., & Aazam, E. S. (2019). Adsorption of methyl red on biogenic Ag@ Fe nanocomposite adsorbent: Isotherms, kinetics and mechanisms. *Journal of Molecular Liquids*, 283, 287-298
- 119.** Noor, A., Muneer, A., (2017). Removal of Remazol Brilliant Blue from Aqueous Solution by Iraqi Porcelanite rocks. *International Journal of Chem Tech Research*, 9, 731-738.
- 120.** Mousa, S. I. (2021) Removal of Coomassie Brilliant Blue -G 250 and crystal violet dye from aqueous solution by adsorption on Iraqi Porcelanite Rocks and Modified Form. B.Sc. Degree in Chemistry University of Al- Qadisiyah .
- 121.** Noor, A., (2017) Study Removal of Remazol Brilliant blue and Malachite green dye from aqueous solution by adsorption on Iraqi Porcelanite Rocks and Modified Form . B.Sc. Degree in Chemistry University of Kerbala
- 122.** Karaj, I. R. A. N. (2016). Raw and modified rice husk performance in removal of Basic Blue 41 from aqueous solutions. *Journal of Occupational and Environmental Health*, 1(1), 41-9.
- 123.** Chikwe, T. N., Ekpo, R. E., & Okoye, I. (2018). Competitive adsorption of organic solvents using modified and unmodified calcium bentonite clay mineral. *Chemistry International*, 4(4), 230-239.
- 124.** Buonomenna M.G., Gordano A., Golemme G. and Drioli E., 2009. "Preparation, characterization and use of PEEKWC nanofiltration membranes for removal of Azur B dye from aqueous media". *Reactive and Functional Polymers*, 69 pp.259-263.

- 125.** Shih, N. F., Young, S. L., Chen, B. J., Yao, P. C., Lin, T. T., & Kung, C. Y. (2014). Properties of as-deposited AZO films made by RF magnetron sputtering. *Innovation, Communication and Engineering*, 95.
- 126.** Bagheri, G. A., & Mirjani, K. Z. (2015). Template synthesis and characteristics of nanoparticle MgO.
- 127.** Wilson, R. A., & Bullen, H. A. (2006). Introduction to Scanning Probe Microscopy (SPM): Basic Theory Atomic Force Microscopy (AFM). Creative Commons Attribution-Noncommercial-Share Alike, 2.
- 128.** Al-Haidari, A. M., Al-Taweel, S. S. J., & Jassim, L. S. (2013). Wheat Chaff and Waste of Molasses Dates Production-New Surfaces for Removal of Biological Pollutants from Aqueous Solutions. *Journal of Chemistry and Chemical Engineering*, 7(1),40
- 129.** Belaroussi, A., Labed, F., Khenifi, A., Akbour, R. A., Bouberka, Z., Kameche, M., & Derriche, Z. (2018). A novel approach for removing an industrial dye 4GL by an Algerian Bentonite. *Acta Ecologica Sinica*, 38(2), 148-156.
- 130.** Bhatnagar, A., Jain, A. K., Gupta, V. K., Jain, S., & Suhas, S. (2003). A comparative assessment of adsorbents prepared from industrial wastes for the removal of cationic dye. *Journal of the Indian Chemical Society*, 80, 267-270.
- 131.** Hu, X. J., Wang, J. S., Liu, Y. G., Li, X., Zeng, G. M., Bao, Z. L., & Long, F. (2011). Adsorption of chromium (VI) by ethylenediamine-modified cross-linked magnetic chitosan resin: isotherms, kinetics and thermodynamics. *Journal of hazardous materials*, 185(1), 306-314.
- 132.** Rosenthal H.L., Berger R.A., Tyler A.N. and Moore, B.W., 1988. "Isolation of a component from commercial Coomassie Brilliant Blue R-250 that strains rubropHilin and other proteins red on polyacrylamide gels". *Biochimica et Biophysica Acta (BBA)-General Subjects*, 965 pp.106-113.
- 133.** Aridi, M. R. (2011). Tarification d'option de change en présence de corrélation stochastique (Doctoral dissertation, HEC Montréal).

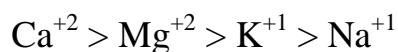
134. Gaikwad, R. W. (2004). Removal of Cd (II) from aqueous solution by activated charcoal derived from coconut shell. *Electron J Environ Agric Food Chem*, 3(4), 702-709.

135. Sangeetha, V., Kanagathara, N., Sumathi, R., Sivakumar, N., & Anbalagan, G. (2013). Spectral and thermal degradation of melamine cyanurate. *J. Mater*, 2013, 262094.

136. Chakraborty, T., Chen, B., Daetwyler, S., Chang, B. J., .(2020). Converting lateral scanning into axial focusing to speed up three-dimensional microscopy. *Light: Science & Applications*, 9(1), 1-12.

Abstract:-

This thesis included a study of the adsorption of Safranin and Methyl Red dyes on the surface of Iraqi porcelain rock powder and its axis shape. Iraqi porcelanite rock powder was treated with melamine to prepare the porcelain-melamine complex, then the polymerization process of the complex with formaldehyde was carried out to prepare the Iraqi porcelain-melamine-formaldehyde-formaldehyde polymer. The axis was formed using infrared techniques (FT-IR), X-ray diffraction (XRD), and the external appearance was determined using scanning electron microscopy (SEM), in addition to the diagnosis by atomic force microscopy (AFM) of the surface. A series of experiments were conducted and several experimental variables were studied, including: equilibrium time, adsorbing surface weight, PH, the effect of ionic intensity, and the effect of temperature (isotherms). The results showed that equilibrium was obtained for Methyl Red dye at an equilibrium time of 20 min. The adsorbing surface weight was 0.0200 g and the acid function $\text{PH} = 4.4$ for Iraqi porcelain rocks, while the equilibrium time was 10 min and the adsorbing surface weight was 0.0100g at $\text{PH} = 4.4$ for the axial shape of Iraqi porcelain rocks. As for Safranin dye, the results showed that equilibrium occurs at a time of 20 minutes. The weight of the adsorbing surface was 0.0200 g and the acid function $\text{PH}=8$ for Iraqi porcelain rocks, while the equilibrium time was 10 min, and the adsorbing surface weight was 0.0100g at $\text{PH} = 8$ for the axial shape of Iraqi porcelain rocks. As for the ionic strength, the results of the study of the effect of ionic strength on the adsorption of Safranin and Methyl Red dyes on Iraqi and modified porcelain rocks indicate a decrease in the adsorption capacity with an increase in ionic strength. The greater the charge and the larger the volume interferes more in the adsorption with Methyl Red dye in the following order:



Where the percentage of removal of Methyl Red dye with sodium chloride salt is higher than the percentage with calcium chloride salt, while the effect of these salts with Safranin dye is completely opposite to that of Methyl Red dye, and the order of effect of ions is as follows:

$\text{Na}^{+1} > \text{K}^{+1} > \text{Mg}^{+2} > \text{Ca}^{+2}$ The effect of the concentration of these salts on the dyes Safranin and Methyl Red, whereby the increase in the salt concentration corresponds to a decrease in the percentage of removal.

The values of thermodynamic functions (ΔG , ΔH , ΔS) were calculated it was found that the adsorption process of Methyl Red and Safranin dyes on the surface of Iraqi porcelain rock powder and its axis shape is spontaneous, emitting heat and a decrease in randomness through negative values of compression energy and negative values of change in enthalpy and entropy. The removal of two dyes, Methyl Red, Safranin, on the surface of Iraqi porcelain rocks powder, and their axis shape as adsorbent surfaces at different temperatures (298-338k) was studied to determine the adsorption isotherms and thermodynamic functions.

The models of Langmuir and Freundlich isotherms were used and were to describe the empirical isotherms and the isotherms constants. The equilibrium data of the two dyes Methyl Red and Safranin showed that they agree with the hypothesis of Freundlich and Langmuir isotherms well on the surface of Iraqi porcelain rock powder and its axis shape. The isotherm form of a dye takes the shape of the letter S, according to Giles' classification. A comparison was made between the use of both surfaces for the adsorption of Safranin and Methyl Red dyes, and it was found that the adsorption of Safranin and Methyl Red dyes on the Modified surface of Iraqi porcelain (PMFP) rocks was better than using the surface of pure Iraqi porcelain rocks.

**Republic of Iraq
Ministry of Higher Education &
Scientific Research
University of Kerbala
College of Education for pure science
Department of Chemistry**



**Study Removal Methyl Red and Safranin dye from aqueous
solution by adsorption on Iraqi Porcelanite Rocks and
Modified Form**

A Thesis Submitted to
The Council of College of Education for pure Science – University of
Kerbala /In Partial Fulfillment of the Requirements for the Degree of
Master in Chemistry Science

By

Ali Hussein Chafat

B.Sc. in Chemistry – University of Karbala - 2017

Supervisor

Prof. Dr. Muneer Abdulaly Abbas AL- Da'amy

2022 A.D

1443 A.H